

959



ОБЪЕДИНЕННЫЙ ИНСТИТУТ ЯДЕРНЫХ ИССЛЕДОВАНИЙ  
Лаборатория ядерных проблем

---

959

МАТЕРИАЛЫ  
ЧЕТВЕРТОГО СОВЕЩАНИЯ  
ПО ЯДЕРНОЙ СПЕКТРОСКОПИИ  
НЕЙТРОНДЕФИЦИТНЫХ ИЗОТОПОВ  
И ТЕОРИИ ЯДРА  
(20-24 июня 1961 года)

是の如きは、既に前回の「新編 朝鮮風俗圖考」(1907年)に於て、その存在が記載され、當時の朝鮮では、この種の書物は、必ずしも「禁書」として取扱われてゐたのである。

1. *Wetenschappelijke methoden en technieken in de psychologie*

०.६.४८२२६०. अ.३. अप्रैल. १९७०।

858

1. *Constitutive* *proteins* *in* *the* *cell* *cycle* *and* *cell* *division* *processes* *in* *higher* *eukaryotes*

В АПОЛЛОНОВОМ СОСТАВЕ БЫЛО ПОСЛЕДНЕЕ  
СВЯТОЕ ВОЩЕНИЕ С ВСЕЙ ЦАРСКОЙ СЕМЬЕЙ

МАТЕРИАЛЫ  
ЧЕТВЕРТОГО СОВЕЩАНИЯ  
ПО ЯДЕРНОЙ СПЕКТРОСКОПИИ  
НЕЙТРОНДЕФИЦИТНЫХ ИЗОТОПОВ  
И ТЕОРИИ ЯДРА  
(20-24 июня 1981 года)

СОВЕРШЕННО КИЕВО-ПАВЛОВСКИЙ СОСТАВ ОБРАЗОВАНИЯ  
УЧЕБНОГО ПРОЦЕССА

3. *Chlorophytum Topiarium*. D. C. *Chlorophytum* L. *Topiarium* L. *Topiarium* L. *Topiarium* L.

（三）在於此處，我們要指出的是：在於此處，我們要指出的是：

W. H. BROWN, VANCE CITY, PENNSYLVANIA.

**Объединенный институт  
глубоких исследований СО РАН** г. Новосибирск

БИБЛИОТЕКА УЧЕБНО-ПРАКТИЧЕСКОГО МАГИСТРАЖНОГО УЧЕБНОГО ЦЕНТРА  
УЧЕБНО-ПРАКТИЧЕСКОГО МАГИСТРАЖНОГО УЧЕБНОГО ЦЕНТРА

Дубна 1962 год

ОГЛАВЛЕНИЕ

Стр.

|   |     |
|---|-----|
| I. Джелепов Б.С., Подкопаев Д.Н., Тоболина Л. Н.<br>"Исследование спектра конверсионных электронов Та - фракции в области энергий 2300-3500 Кэв"                                  | 5   |
| 2. Джелепов Б.С., Рожин Е.Н., Сергиенко В.А.<br>"Совпадения конверсионных электронов при распаде $Lu^{174}$ ".  | 9   |
| ✓ 3. Громов К.Я., Меднис И.В., Пелекис Л., Пеликис З.<br>"О распаде $Tm^{167}$ ".   | 17  |
| 4. Григорьев Е.П., Карпов Б.Н., Сергеев В.О.,<br>"К распаду $Tm^{166}$ ".   | 25  |
| ✓ 5. Громов К.Я., Джелепов Б.С., Желев Ж., Звольска В.,<br>Скальский А.А.<br>"Предварительное сообщение о конверсионном спектре $Tm^{163}$ в области энергии 570-1860 Кэв"        | 31  |
| ✓ 6. Громов К.Я., Джелепов Б.С., Звольска В.<br>"Поиски $Tm^{142}$ в тулевской фракции"   | 36  |
| 7. Джелепов Б.С., Звольска В., Звольский И.,<br>Калинников В.А.<br>"О спектре конверсионных электронов диспрозиевой фракции"  | 44  |
| 8. Стригачев А.Т., Сорокин А.А., Шпинель В.С.<br>"Исследование фракции $Tb^{166}$ ".  | 54  |
| 9. Чанагулян А.С.<br>"Исследование спектра конверсионных электронов гадолиниевой фракции"   | 69  |
| ✓ 10. Громов К.Я., Джелепов Б.С., Желев Ж., Звольска В.<br>"О мультипольности перехода 22 Кэв в ядре $Sm^{149}$ "   | 72  |
| II. Джелепов Б.С., Медведев А.И., Москвин Л.М.,<br>Учеваткин И.Ф., Шестопалова С.А.<br>"Исследование спектра конверсионных электронов $Te^{119}$ в области энергий выше 600 Кэв." | 76  |
| ✓ 12. Зайцева Н.Г., Ким Хон Сил<br>"Радиохимическое выделение теллура без носителя"   | 86  |
| 13. Драницына Г.Ф.<br>"Массы ядер в области редких земель"  | 88  |
| 14. Лаврухина А.К., Колесов Г.М.<br>"Изучение выходов изотопов редкоземельных элементов, образующихся при облучении самария протонами с энергией 660 Мэв."                        | 106 |

Четвертое совещание по ядерной спектроскопии нейтроно-дефицитных изотопов и теории ядра проходило в г.Дубне с 20 по 24 июня 1961 года. На совещании обсуждались работы, выполненные за год, прошедший со времени третьего совещания.

На обсуждении было представлено 52 доклада, из них в настоящем сборнике печатается 14 работ, остальные публикуются в периодической печати.

Настоящий том подготовлен к печати канд. хим. наук  
Н.Г. Зайцевой и А.С. Басиной.

ПРЕДСЕДАТЕЛЬ ОРГКОМИТЕТА 4-ГО СОВЕЩАНИЯ  
ЧЛЕН КОРРЕСПОНДЕНТ АН СССР  
ПРОФЕССОР -

/Б.С.ДЖЕЛЕПОВ /

## Предварительное сообщение

Б.С. Джелепов, Ю.Н. Подкопаев, Л.Н. Тоболина

### ИССЛЕДОВАНИЕ СПЕКТРА КОНВЕРСИОННЫХ ЭЛЕКТРОНОВ Ta - ФРАКЦИИ В ОБЛАСТИ ЭНЕРГИЙ 2300 - 3500 КЭВ

С помощью спектрометра -  $\beta$  - гаммоскопа НИФИ ЛГУ исследован спектр конверсионных электронов Та-фракции в области энергий 2300-3500 кэв.

Та-фракция была выделена из золотой мишени, облученной протонами с энергией 660 Мэв, через 12 часов после облучения, экстракционным методом. Толщина источника составляла приблизительно 0,05 мм.

С препаратом было проведено две серии измерений при значении магнитного поля  $H=990$  э. Результат первой серии измерений представлен на рис. I.

Разложение спектра на компоненты с учетом зависимости приборной формы линии от  $E_e$  и  $H$  позволило выделить семь конверсионных линий, сведения о которых приведены в таблице.

| $E_e$<br>$K + L$<br>(Мэв) | $h\nu$<br>перехода<br>(Мэв) | Относительн.<br>интенс. конверс.<br>линий | $K + L$ - линии<br>прибором не<br>разрешаются |
|---------------------------|-----------------------------|---|---|
| $2,32 \pm 0,03$           | 2,40                        | -   | <sup>*</sup> )                                |
| $2,48 \pm 0,04$           | 2,55                        | 1,00                                      |   |
| $2,58 \pm 0,04$           | 2,64                        | 0,70                                      |   |
| $2,72 \pm 0,04$           | 2,78                        | 1,0                                       |   |
| $2,82 \pm 0,05$           | 2,89                        | 0,5                                       |   |
| $3,05 \pm 0,06$           | 3,12                        | 0,1                                       |   |
| $3,19 \pm 0,06$           | 3,25                        | 0,07                                      |   |

По спаданию интенсивности каждой из линий первой и второй серий измерений определено  $T_{1/2} = 8 \pm 1,5$  час.

Из имеющихся литературных источников известно, что  $Ta^{176}$  распадается с  $T_{1/2}=8$  час в  $Hf^{176}$  [1], в ядре которого происходят переходы с энергиями вплоть до 2800 кэв [2,3]. По данным таблиц Камерона разность масс  $Ta^{176} - Hf^{176}$  порядка 3,5 мэв [4].

Результаты наших исследований подтверждают выводы работ [2,5], уточняют значения энергий переходов в области 2300-2800 кэв и дополняют имеющиеся сведения о распаде  $Ta^{176}$  новыми переходами  $\hbar\nu = 3,12$  и 3,25 мэв.

Авторы приносят глубокую благодарность Б.А.Хотину за предоставление фракции тантала, выделенной из золотой мишени.

Научно-исследовательский Физический  
институт Ленинградского Государствен-  
ного Университета

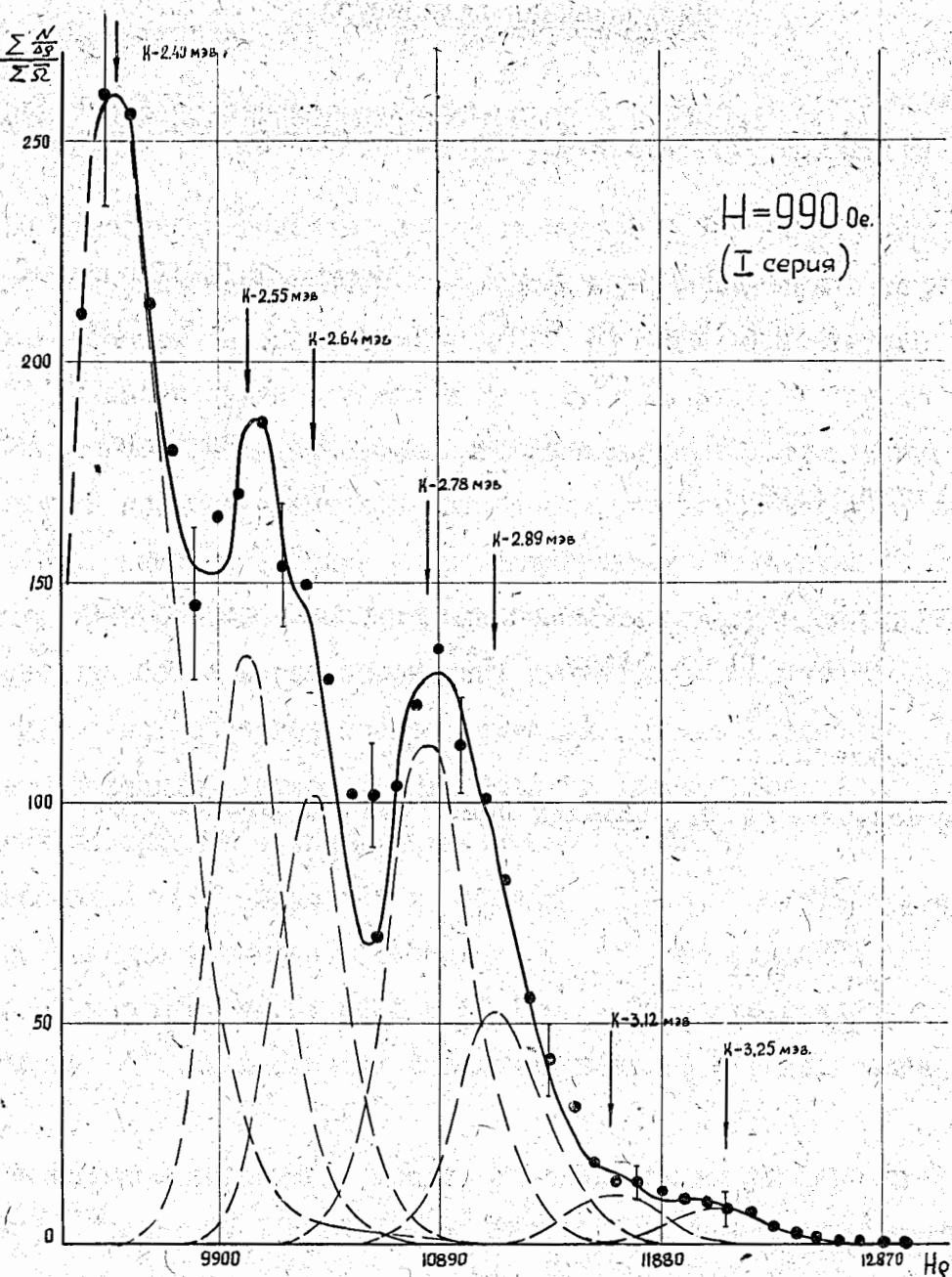


Рис. 1.

Цитированная литература

1. Wilkinson G., Phys.Rev., 80, 495, (1950).
2. Григорьев Е.П., Ларионов О.В., Никитин М.К., Сахаров С.А., Сергеев В.О. Изв. АН СССР, сер. физ., 24, 845, (1960).
3. Harmatz B., Handley T.H., Mihelich J.W., Phys.Rev., 119, 1345, (1960).
4. Cameron A.G.W., Revised Semi-Empirical Atomic Mass Formula. Chalk River, (1957).
5. Rasmussen J.O., Shirley D.A., UCRL - 8618 (1959).

Б.С. Джелепов, Е.Н. Рожин, В.А. Сергиенко

"СОВПАДЕНИЯ КОНВЕРСИОННЫХ ЭЛЕКТРОНОВ ПРИ РАСПАДЕ  $Lu^{174*}$ "

На сдвоенном линзовом  $\beta$ -спектрометре [1] мы изучали совпадения между конверсионными электронами, возникающими при разрядке изомерного состояния  $Lu^{174*}$  [ $T_{1/2} \approx 170$  дн.].  $Lu^{174*}$  был получен в реакции  $Ta + P/660$  Мэв/. При коротком облучении  $Lu^{174*}$  получается в малом количестве. Для того, чтобы получить препарат заметной активности, мы изготовили его из остатков лютесиевых фракций непродолжительных облучений. Повторное отделение изотопов  $Lu$  от изотопов  $Yb$ , накопившихся в результате распада более короткопериодных изотопов  $Lu$ , было произведено спустя примерно год после облучения. Активное вещество было собрано на тонкую слегка алюминированную пленку. Кроме  $Lu^{174}$  источник содержал в большом количестве  $Lu^{173}$ .

Распад  $Lu^{174*}$  изучался в работах [2,3,4]. Установлено, что при распаде изомерного состояния  $Lu^{174*}$  испускается три  $\gamma$ -кванта с энергиями 44,6; 59,1 и 67,1 Кэв. Схема возбужденных уровней  $Lu^{174}$ , предложенная Михеликом и др. [4], изображена на рис. I.

Мы изучали совпадения между  $L$ -электронами от переходов 44,6 и 59,1 Кэв; 59,1 и 67,1 Кэв. Результаты изображены на рис. I. Верхняя кривая — участок спектра конверсионных электронов смеси изотопов  $Lu^{174}$  и  $Lu^{173}$ , снятый на одиночном спектрометре.

Относительные интенсивности конверсионных электронов от этих переходов по данным работы [4] изображены в виде заштрихованных столбиков. Положение фиксированного спектрометра при

измерении совпадений отмечено треугольниками. Кривая 1 - спектр совпадений электронов  $L_{44,6}$ ; кривая 2 - спектр совпадений электронов  $L - 59,I$ . Поскольку фиксированным спектрометром регистрировались также электроны  $Lu^{173}$  и K-Оже - электроны, которые могли давать совпадения в области расположения  $L$ -электронов от переходов  $44,6; 59,I$  и  $67,I$  Кэв, мы измерили спектр совпадений электронов  $K - 100,7 + (K - LL)$ . Из сопоставления спектров совпадений электронов  $L - 44,6$  и  $L - 59,I$  со спектром совпадений электронов  $K - 100,7 + (K - LL)$  отчетливо видно:

- 1) Существуют интенсивные совпадения между электронами  $L_{44,6}$  и  $L_{59,I}$ ;  $L_{44,6}$  и  $M_{59,I} + L_{67,I}$ .
- 2) Наблюдаются совпадения электронов  $L_{59}$  с электронами  $L_{67,I}$ . Наши данные подтверждают предположение Михелика и др. [4] о том, что переходы  $44,6; 59,I$  и  $67,I$  образуют тройной каскад.

Авторы выражают благодарность Г.С.Новикову за приготовление источника. В измерениях принимали участие Л.Попеко, А.Совестов и В.Самойлов.

Научно-исследовательский Физический институт  
Ленинградского Государственного Университета

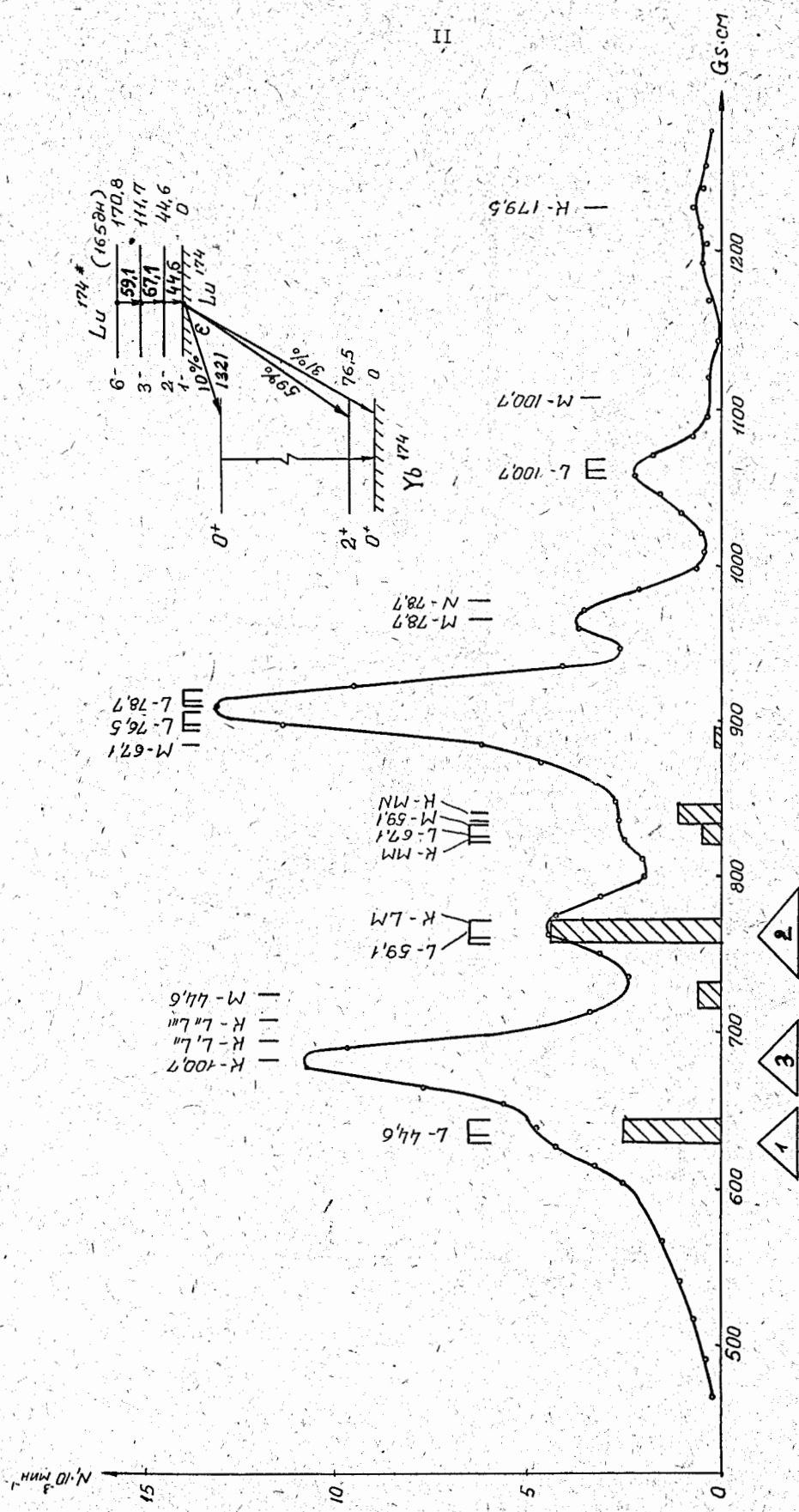


Рис. 1. Сопадение конверсионных электронов при распаде  $1d^{174}*$ .

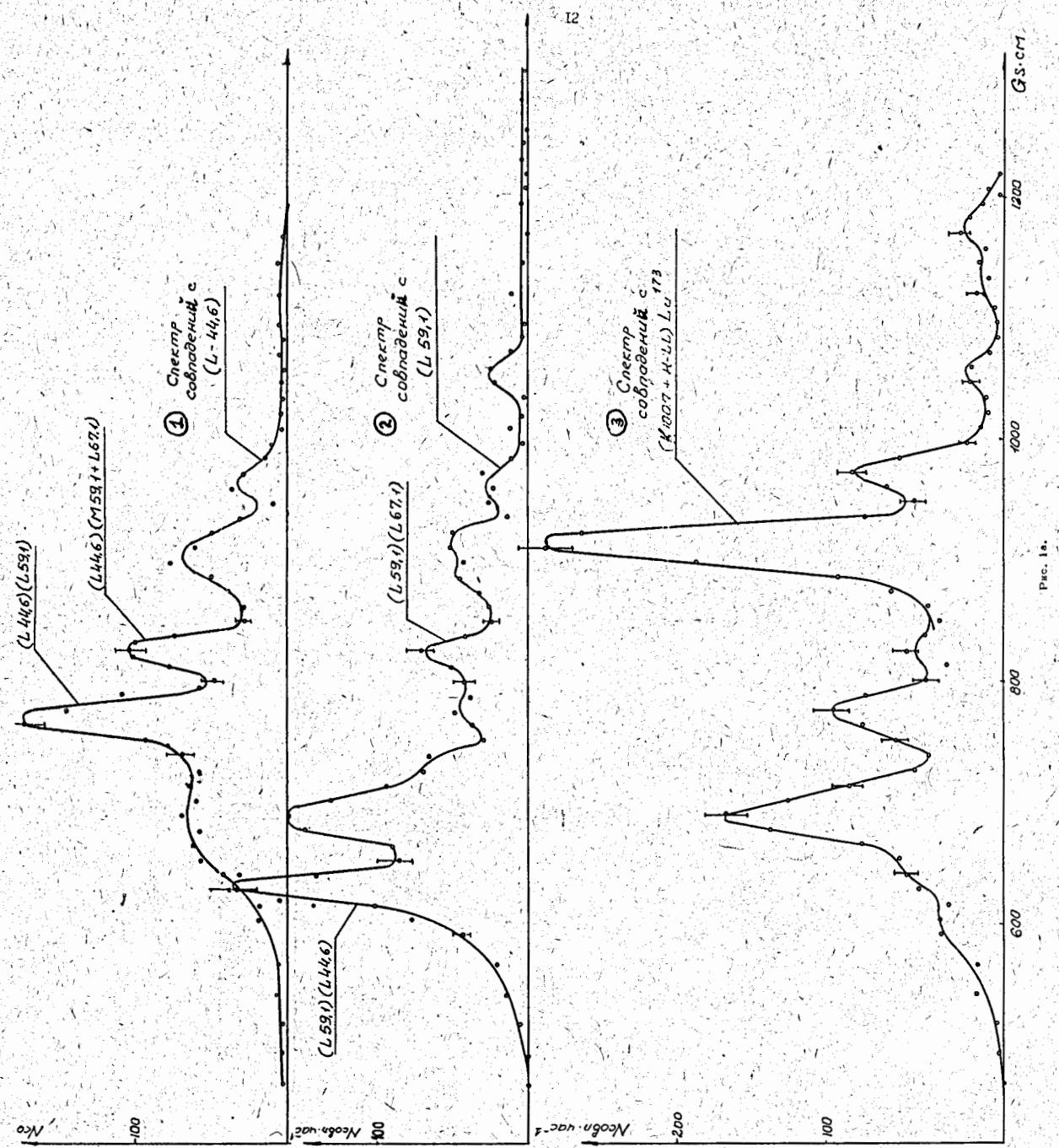
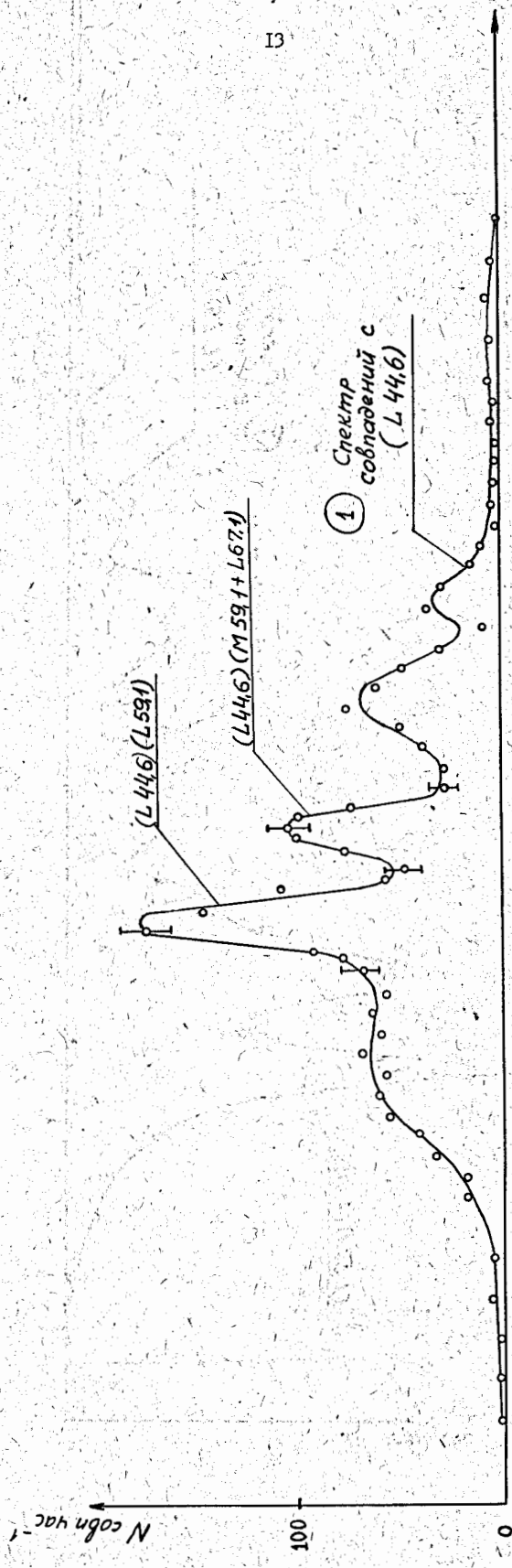


Рис. 16.



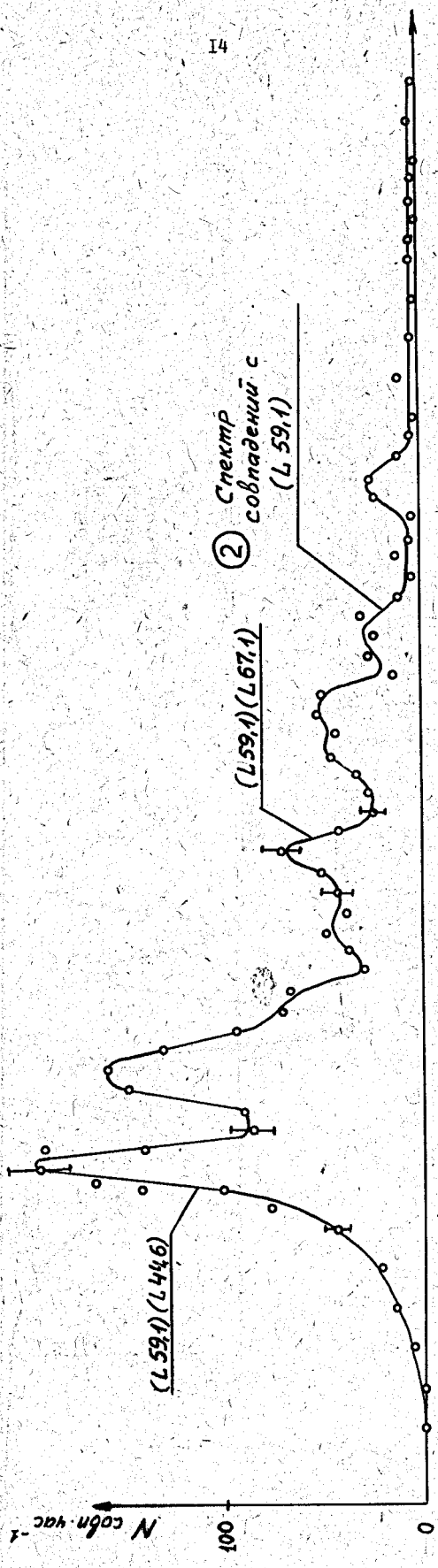
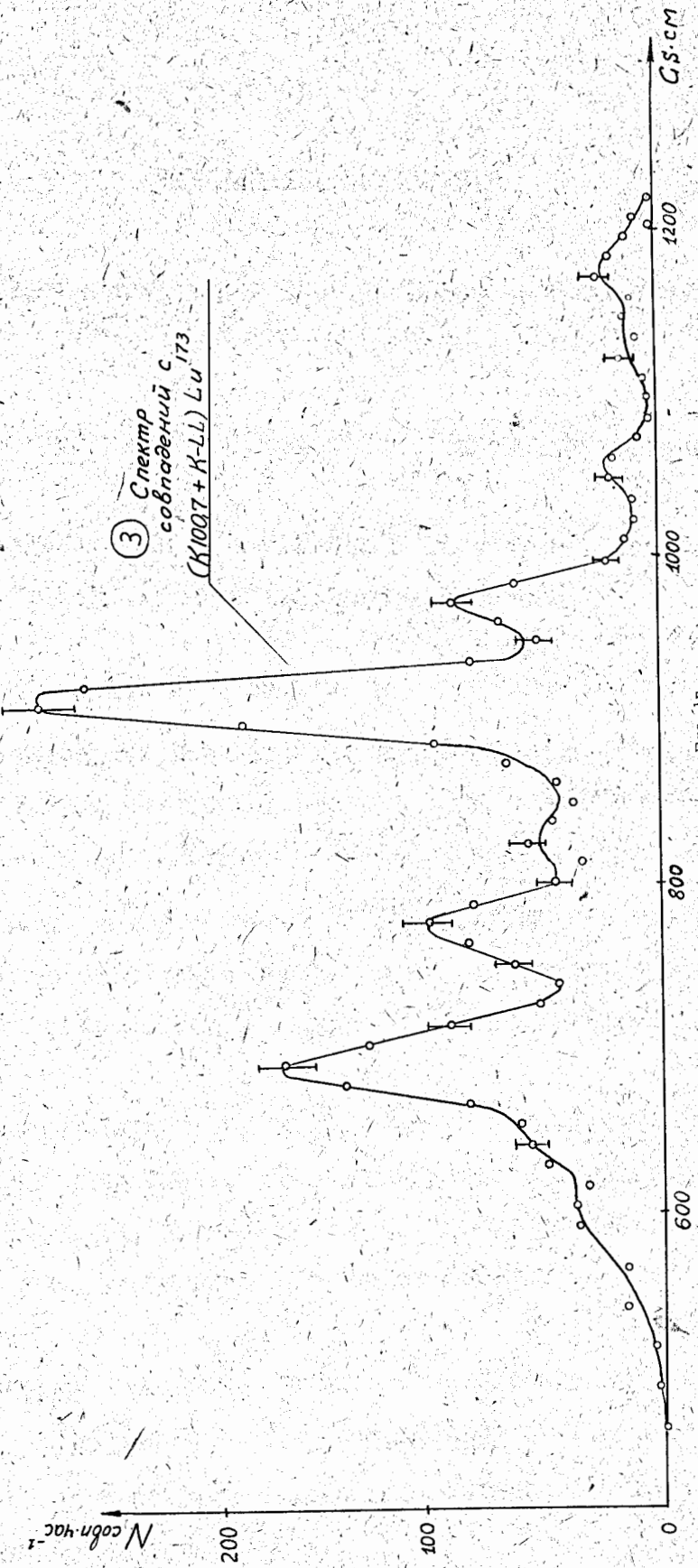


Рис.1в.



Цитированная литература

1. В.А.Сергиенко. Известия АН СССР серия физическая 22,I98,  
(I958)
2. В.А.Романов, М.Г.Иодко, В.В.Тучкевич. ЖЭТФ. 38, I019,(I960).
3. В.А.Романов. Материалы II совещания по нейтронодефицитным  
изотопам, лютениевая фракция. Дубна  
I08 (I959)
4. B.Harmatz, T.H.Handley and I.W.Mihelich. Physical Review  
119, 1345 (1960).

К. Я. Громов, И. В. Меднис, Л. Л. Пелекис, З. Э. Пелекис

О РАСПАДЕ  $Tm^{167}$

Подробный обзор имеющихся данных о распаде  $Tm^{167}$  ( $T_{1/2} = 9.6$  дня) сделан в работах /1,2/. В настоящей работе исследовался  $\gamma$ -спектр  $Tm^{167}$  с целью уточнения расположения  $\gamma$ -перехода 532 Кэв в схеме распада. Переход 532 Кэв обнаружен в ряде работ и его принадлежность к  $Tm^{167}$  можно считать установленной. Существуют два мнения о положении  $\gamma$ -перехода 532 Кэв:

1. Указанный переход идет на уровень 265 Кэв /1/ (рис. Ia);  
 2. Указанный переход идет на уровень 208 Кэв /3/ (рис. Ib)  
 или в основное состояние  $Tm^{167}$  /4/ (рис. Ib) /4/.

Исследованный препарат  $Tm^{167}$  получен при двухчасовом облучении тантала быстрыми протонами на синхроциклотроне в Дубне с последующим хроматографическим разделением элементов редких земель.

Исследования  $\gamma$ -спектра  $Tm^{167}$  выполнялись при помощи 4П-сцинтилляционного  $\gamma$ -спектрометра с кристаллом  $NaJ(Tl)$  диаметром 40 мм, высотой 50 мм с колодцем диаметром 12 мм, глубиной 30 мм. Полуширина  $\gamma$ -линии 660 Кэв  $Cs^{137}$  составляла 10%.

Измерения начались спустя 20 дней после выделения фракции туния из облученной мишени, когда коротко живущие изотопы уже распались. В препарате в небольшом количестве присутствовал долгоживущий изотоп  $Tm^{168}$ .

В  $\gamma$ -спектре препарата, снятом на расстоянии источник-кристалл 10 см, наблюдались следующие линии: 53, 210, 530, 730 и 830 Кэв. Последние две слабые линии в основном можно отнести  $Tm^{168}$ . Относительные интенсивности  $\gamma$ -лучей 208 и 532 Кэв 100 и  $5 \pm 2$ , соответственно.

Для решения вопроса о положении  $\gamma$ -перехода с энергией 532 Кэв в схеме распада  $Tm^{167}$  были выполнены два опыта:

1. Снимался  $\gamma$ -спектр  $Tm^{167}$  в области 300-900 Кэв. Источник помещался в колодце кристалла 4П-сцинтилляционного спектрометра. В одном случае источник был окружен фильтром: Pb - 1,25 мм, Cd - 0,55 мм и Cu - 0,25 мм. В другом случае источник находился в держателе из оргстекла толщиной 2мм. Результаты этих измерений изображены на рис.2. В случае, если  $\gamma$ -переход с энергией 532 Кэв идет на уровень 265 Кэв, следует ожидать возникновения двух пиков суммирования: 1) сумма 532 Кэв + X-лучи и 532 Кэв + 57 Кэв (580 Кэв), 2) сумма 532 Кэв + X-лучи + 57 Кэв (640 Кэв). Как видно из рис. 2, уширение пика  $\gamma$ -лучей 532 Кэв действительно наблюдается. При разложении суммарного пика на компоненты с энергиями 532 Кэв, 580 Кэв и 640 Кэв получены их относительные интенсивности I : (I  $\pm$  0,2) : < 0,05, соответственно.

2. Источник в держателе из оргстекла (без фильтра) помещался в колодец кристалла 4П - спектрометра. Снимался спектр совпадений между импульсами 4П - спектрометра (анализирующий канал) и сцинтилляционного  $\gamma$ -спектрометра (неподвижный канал)<sup>/6/</sup> установленного на  $\gamma$ -лучи 530 Кэв. Анализирующим каналом снят спектр

совпадений от 20 Кэв до 225 Кэв. Результаты этого опыта изображены на рис.3. На этом же рисунке изображен спектр в анализирующем канале. В случае наличия каскада  $\gamma$  532 Кэв и  $\gamma$  57 Кэв в спектре совпадений должен появиться пик суммы  $\gamma$  57 Кэв с X-лучами ( $\sim$  110 Кэв). Как видно из рис.3, такой пик наблюдается в спектре анализирующего канала. В спектре совпадений пик при энергии 110 Кэв не обнаружен. Интенсивность этого пика не больше трех процентов от интенсивности пика X-лучей и  $\gamma$ -лучей с энергией 57 Кэв.

Попытаемся проанализировать результаты опытов количественно. Для сокращения записей в дальнейших расчетах введем обозначения

$$\alpha = \frac{\kappa}{1 + \lambda_{\text{полн.}}}$$

$$\text{и} \quad \beta = \kappa w_k \omega,$$

где К-эффективность регистрации рентгеновских лучей используемой установки. По нашим оценкам  $K=0,84$ . Эффективность регистрации  $\gamma$ -лучей с энергией 57 Кэв с хорошей точностью равна  $K=0,84$ .

$\lambda_{\text{полн.}}$  - полный коэффициент конверсии  $\gamma$ -лучей 57 Кэв. Используя результаты работы /2/, мы принимаем  $\lambda_{\text{полн.}}=4$ .  $w_k$  - доля К-захватов на уровень, с которого идет  $\gamma$ -переход с энергией 532 Кэв.  $\omega = 0,93$ , выход флюресценции для К-X-лучей эрбия /5/.

Допустим, что каскад  $\gamma$ -лучей с энергией 532 Кэв и 57 Кэв существует. Тогда отношение интенсивности пика суммы X-лучей с  $\gamma$ -лучами 57 Кэв (110 Кэв) к пику X-лучей и  $\gamma$ -лучей ( $\sim 53$  Кэв) во втором опыте (рис.3) можно вычислить по формуле:

$$\frac{J_{57+x}}{J_{57};x} = \frac{\alpha \beta}{\alpha + \beta - 2\alpha \beta} = \frac{0,13 w_k}{0,17 + 0,52 w_k}$$

Используя экспериментальное значение верхнего предела этого отношения  $\frac{J_{53}+x}{J_{57}; x} < 0,03$ , можно подсчитать верхний предел значения  $w_k$ . Оказывается, что  $w_k < 0,045$ . Таким образом, если искомый каскад (532-57) существует, для объяснения второго опыта необходимо, чтобы уровень 796 Кэв, схемы рис. I) заселялся почти исключительно (на 95%)  $L$ -захватом. Предположим, что доля K-захватов на уровень 796 Кэв схемы рис. Ia равна  $w_k = 0,045$  и подсчитаем отношения интенсивностей компонент суммарного пика в первом опыте. Эти отношения очевидно равны

$$J_{640} : J_{530} : J_{532} = \alpha\beta : (\alpha + \beta - 2\alpha\beta) : \\ : (1 - \alpha - \beta - \alpha\beta) =$$

$$= 0,13 w_k : (0,17 \pm 0,52 w_k) : (0,83 - 0,67 w_k) = 0,006 : 0,194 : \\ : 0,80 \text{ или}$$

$$J_{640} : J_{580} : J_{532} = 0,007 : 0,24 : I.$$

Экспериментальные значения этих же отношений, как указано выше, равны

$$J_{640} : J_{580} : J_{532} = 0,05 : (I \pm 0,2) : I.$$

Видно, что расчетное значение отношения  $J_{580} : J_{532}$  находится в явном противоречии с экспериментальным значением этого отношения. Следовательно каскад  $\gamma$ -лучей 532 Кэв и 57 Кэв не существует и осуществляется один из вариантов схемы рис. Ib или рис. Iv.

Нетрудно убедиться, что результаты наших опытов хорошо согласуются с расчетами, если каскада (532 Кэв-57 Кэв) нет. Действительно в этом случае в спектре совпадений рис.3 суммарный пик (57 Кэв + X  $\cong$  110 Кэв) не должен наблюдаться. В спектре рис.2 пик при энергии около 550 Кэв должен состоять из двух компонент 532 Кэв и 580 Кэв. Относительные интенсивности этих компонент можно рассчитать по формуле:

$$\frac{J_{580}}{J_{532}} = \frac{\epsilon}{1-\epsilon} = \frac{0,78 w_K}{1 - 0,78 w_K} .$$

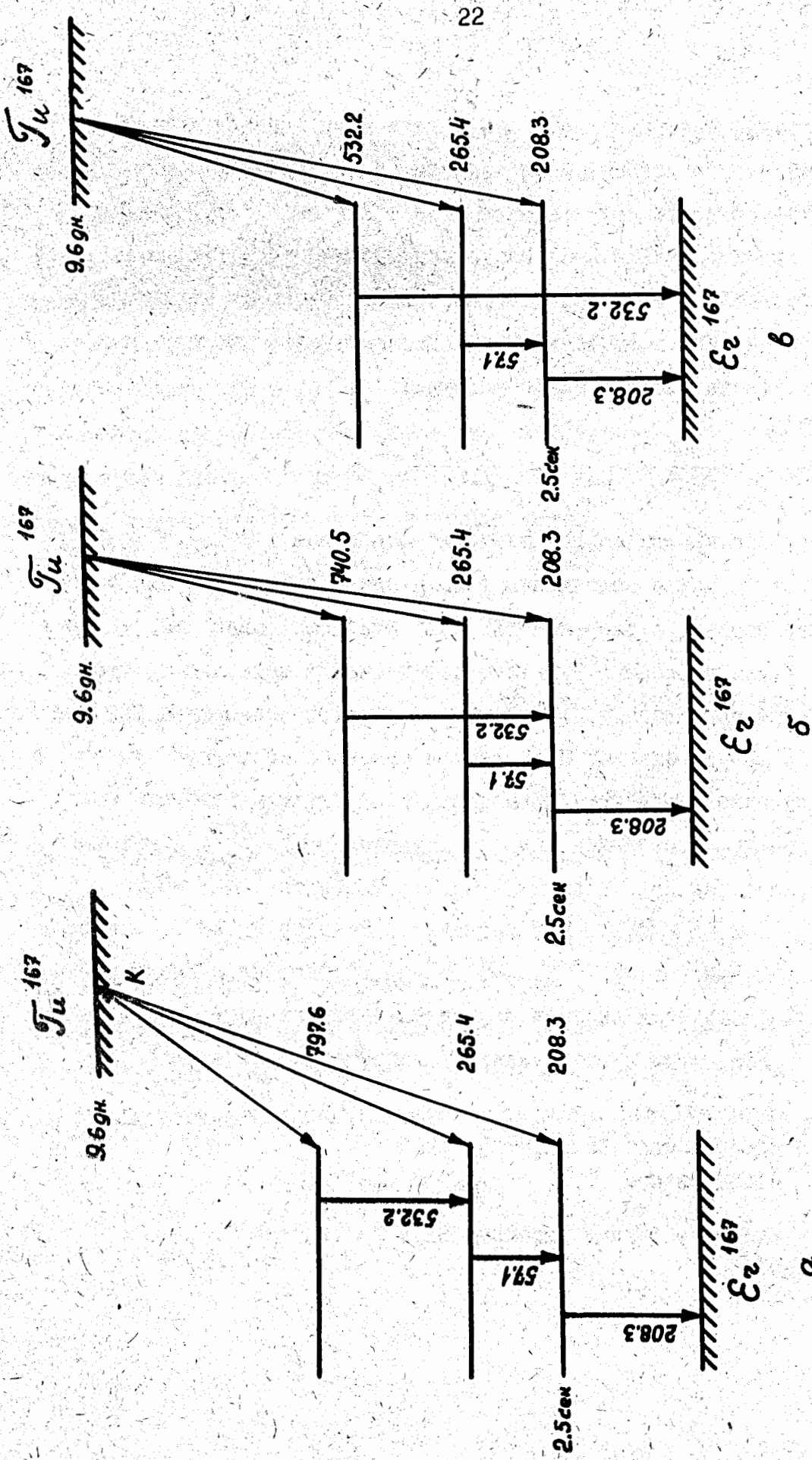
Используя экспериментальное значение отношения  $J_{580} : J_{532} = (I+0,2) : I$ , можно подсчитать долю K-захватов на уровень, с которого идет переход с энергией 532 Кэв. Эта доля равна  $w_K = 0,64 \pm 0,06$ . Таким образом результаты наших опытов доказывают, что возникающий при распаде  $Tm^{167}$   $\gamma$ -переход с энергией 532 Кэв идет либо на уровень 208 Кэв, либо в основное состояние  $Er^{167}$ .

Полученное значение  $w_K$  позволяет определить разность масс между основным состоянием  $Tm^{167}$  и уровнем  $Er^{167}$ , с которого идет переход 532 Кэв. Если  $w_K = 0,64 \pm 0,06$ , то  $w_L = 0,36 \pm 0,6$  и  $w_L/w_K = 0,56 \pm 0,17$ . При значении отношения числа L-захватов к числу K-захватов  $w_L/w_K = 0,56 \pm 0,17$  энергия распада равна  $100 \pm \frac{12}{6}$  Кэв, если переход разрешенный или первого запрещения и  $164 \pm \frac{40}{16}$  Кэв, если переход первого запрещения уникальный.

Объединенный институт ядерных  
исследований

Институт Физики Академии Наук Латвийской ССР

Рис. I. Возможные варианты размещения  $\gamma$ -перехода с энергией 532,2 КэВ в схеме распада  $T_{\text{m}}^{167}$ .



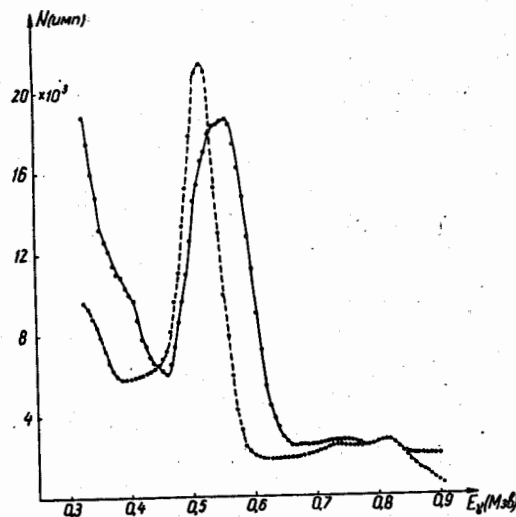


Рис.2  $\gamma$ -спектр  $Tm^{167}$  в области 300-900 КэВ снятый с помощью 4П-сцинтилляционного спектрометра. В спектре изображенном сплошной линией (источник без фильтра) наблюдается суммирование  $\gamma$ -лучей с энергией 532 КэВ и и  $\gamma$ -и X-лучей. Для сравнения изображен спектр снятый с источником, окруженным фильтром(штриховая линия).

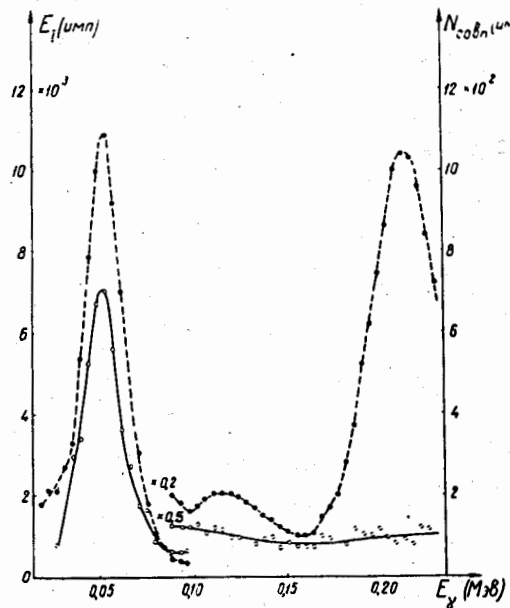


Рис.3 Спектр совпадений  $\gamma$ -лучей с энергией 532 КэВ (неподвижный канал) с импульсами в 4П-сцинтилляционном спектрометре (анализирующий канал).Штриховой линией изображен спектр импульсов в анализирующем канале.

## Л и т е р а т у р а

1. К. Я. Громов, Б. С. Джелепов, А. Г. Дмитриев, М. К. Никитин, К. И. Яковлев. Материалы III совещания по нейтронодефицитным изотопам, т. III, стр. I24, Дубна, 1960 г.
2. Б. С. Джелепов, И. М. Рогачев. Материалы III совещания по нейтронодефицитным изотопам, т. III, стр. I35, Дубна, 1960 г.
3. С. Хойнацкий, А. Ясинский, В. Куш, Я. Ковнацкий, Г. Ланцман, И. Йтландов. Материалы III совещания по нейтронодефицитным изотопам, т. III, стр. I3I, Дубна, 1960.
4. H. Narasimhaian, M. L. Pool. Nucl. Phys. 21, 340, 1960.
5. A. X. Вапстра, Г. К. Ниих, Р. Ван Лишут. Таблицы по ядерной спектроскопии, 1960, стр. I7I.
6. Л. Л. Пелекис, З. Э. Пелекис. Изв. АН Латв. ССР, № I0, стр. I09, 1958.

Е.П.Григорьев, Б.Н.Карпов, В.О.Сергеев

К РАСПАДУ Т<sub>m</sub> I<sup>166</sup>

Наиболее высокие из известных к настоящему времени возбужденных уровней Ег<sup>166</sup> имеют энергию 2134,6 и 2161,7 Кэв /I/, причем, однако, судя по границе  $\beta^+$ -спектра и  $\beta^+ - \gamma$ -совпадениям, энергия распада Т<sub>m</sub> I<sup>166</sup> достаточно велика, чтобы могли возбуждаться уровни Ег<sup>166</sup> почти до 3 Мэв. Мы предприняли поиски более жестких  $\gamma$ -переходов, чем обнаруженные до сих пор переходы с энергией 2054 и 2080 Кэв с указанных выше уровней. Измерения

$\gamma$ -спектра производились на сцинтилляционном  $\gamma$ -спектрометре с использованием методики совпадений. Особое внимание было обращено на чистоту препарата. При хроматографическом разделении редких земель возможно загрязнение фракций иттербия и тулия лютием. Изотоп Lu<sup>170</sup> ( $T=2$  дня) имеет довольно интенсивный жесткий спектр, который по периоду полураспада трудно отличить от спектра Уг<sup>166</sup> ( $T=58$  час); его примесь особенно опасна, так как обычно для исследования распада Т<sub>m</sub> I<sup>166</sup> применяются препараты Уг<sup>166</sup>. Мы измеряли  $\gamma$ -спектр препарата Т<sub>m</sub> I<sup>166</sup>, выделенного из Уг<sup>166</sup>, который был предварительно очищен от Lu. После распада семичасового Т<sub>m</sub> I<sup>166</sup> в жесткой части спектра не было обнаружено  $\gamma$ -линий, которые распадались бы с большим периодом.

На рис. I показана часть  $\gamma$ -спектра Т<sub>m</sub> I<sup>166</sup>. За интенсивной линией от переходов (2054 + 2080) Кэв видна значительно более

слабая  $\gamma$ -линия с энергией  $2330 \pm 50$  Кэв. Ее интенсивность составляет 3% от линии ( $2054 + 2080$  Кэв) и спадает с периодом полураспада  $T_{1/2}^{I66}$ . Не исключено, что она также является сложной линией.

Линия 2330 Кэв не может быть вызвана сложением  $\gamma$ -лучей, образующихся одновременно при распаде  $T_{1/2}^{I66}$ . Во-первых, эту линию в сумме с сильными  $\gamma$ -лучами 2060 Кэв должны давать  $\gamma$ -лучи с энергией 270 Кэв. В  $\gamma$ -спектре  $T_{1/2}^{I66}$  нет интенсивной линии с такой энергией. Во-вторых, эта линия с такой же относительной интенсивностью наблюдалась Барановским и Никитиным с помощью сцинтилляционного  $\gamma$ -спектрометра в иных геометрических условиях. В-третьих, спектр совпадений с линией 2330 Кэв исключает возможность того, что эта линия является суммарной.

Нами были проведены измерения  $\gamma - \gamma$ -совпадений. В спектре совпадений с жесткими линиями 2054 и 2080 Кэв проявились помимо рентгеновских лучей также линии 80 Кэв и 130 Кэв (рис.2а). По схеме распада, приведенной в работе /1/,  $\gamma$ -переходы с энергиями 2054 и 2080 Кэв идут на уровень 80 Кэв ( $2^+$ ) Ег  $I66$  и наличие совпадений ( $\gamma - 2054 + 2080$ ) ( $\gamma 80$ ) объясняется схемой распада. Наблюдаемые совпадения с линией 180 Кэв требуют дополнительных объяснений. Их трудно объяснить рассеянием  $\gamma$ -лучей из одного кристалла в другой, так как линия ( $2054 + 2080$ ) Кэв является самой жесткой линией с большой интенсивностью. Найденная линия  $h\nu = 2330$  Кэв совпадает с рентгеновским К-излучением и  $\gamma$ -лучами  $h\nu = 80$  и 180 Кэв (рис.2б). Отсюда можно сделать заключение, что при распаде  $T_{1/2}^{I66}$  заселяются уровни Ег  $I66$  с энергией  $\sim 2,6$  Мэв. Учитывая, что суммарная интенсивность переходов с

энергией (2054 + 2080 кэв) составляет 25% числа распада /I/, получаем, что на уровень 2,6 Мэв идет  $\sim 1\%$  распадов. При энергии распада 400 Кэв  $\lg f\tau$  для электронного захвата равен 6,5.

Авторы благодарны Б.С.Джелепову за обсуждение работы, К.Я.Громову за содействие в получении препарата и Г.С.Новикову за химическое выделение чистого туния.

Научно-исследовательский Физический институт  
Ленинградского Государственного Университета

ДОЛ

не опубликовано в научных журналах

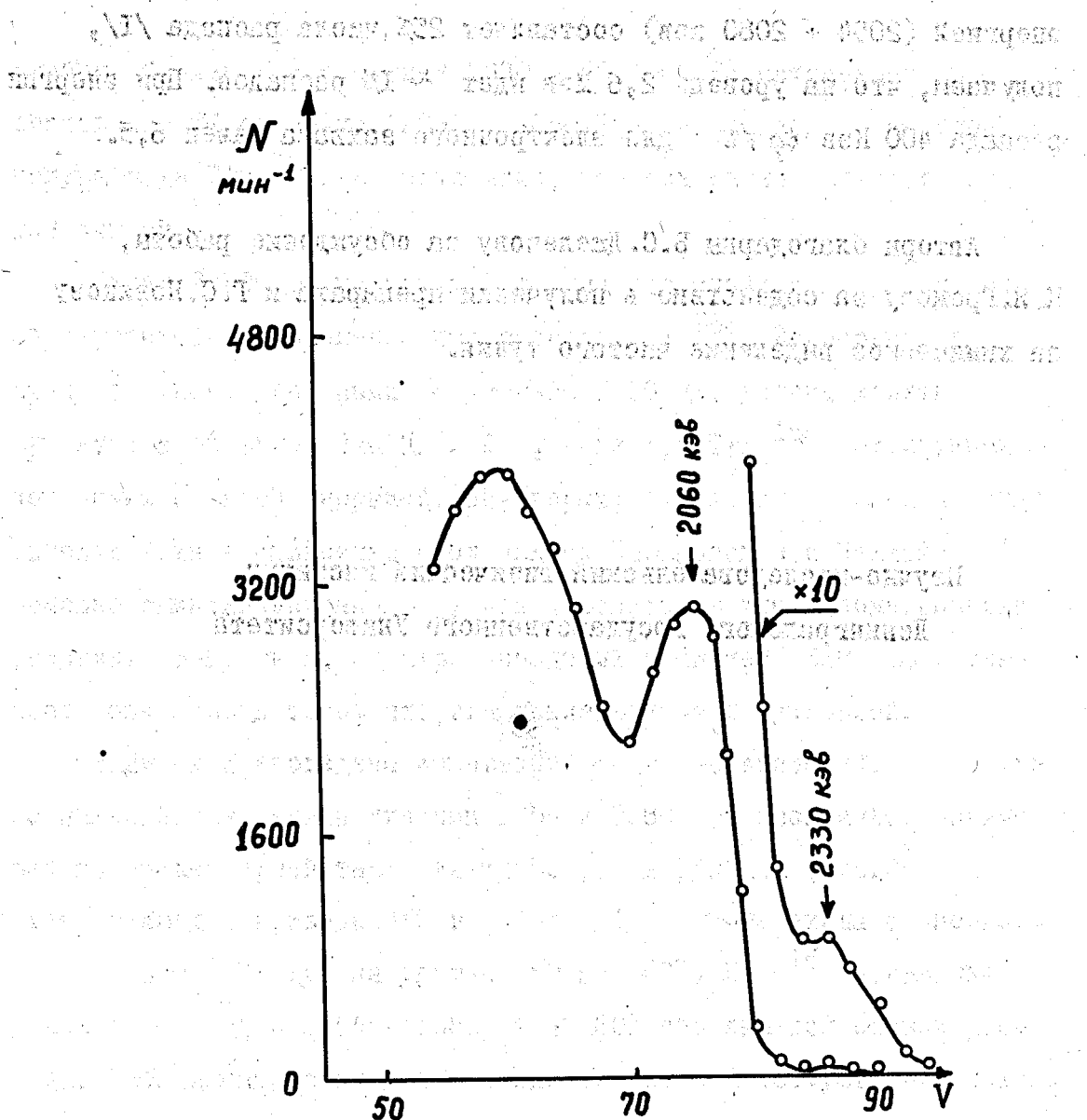


Рис. I Жесткая часть  $\gamma$ -спектра  $Tm^{166}$ .

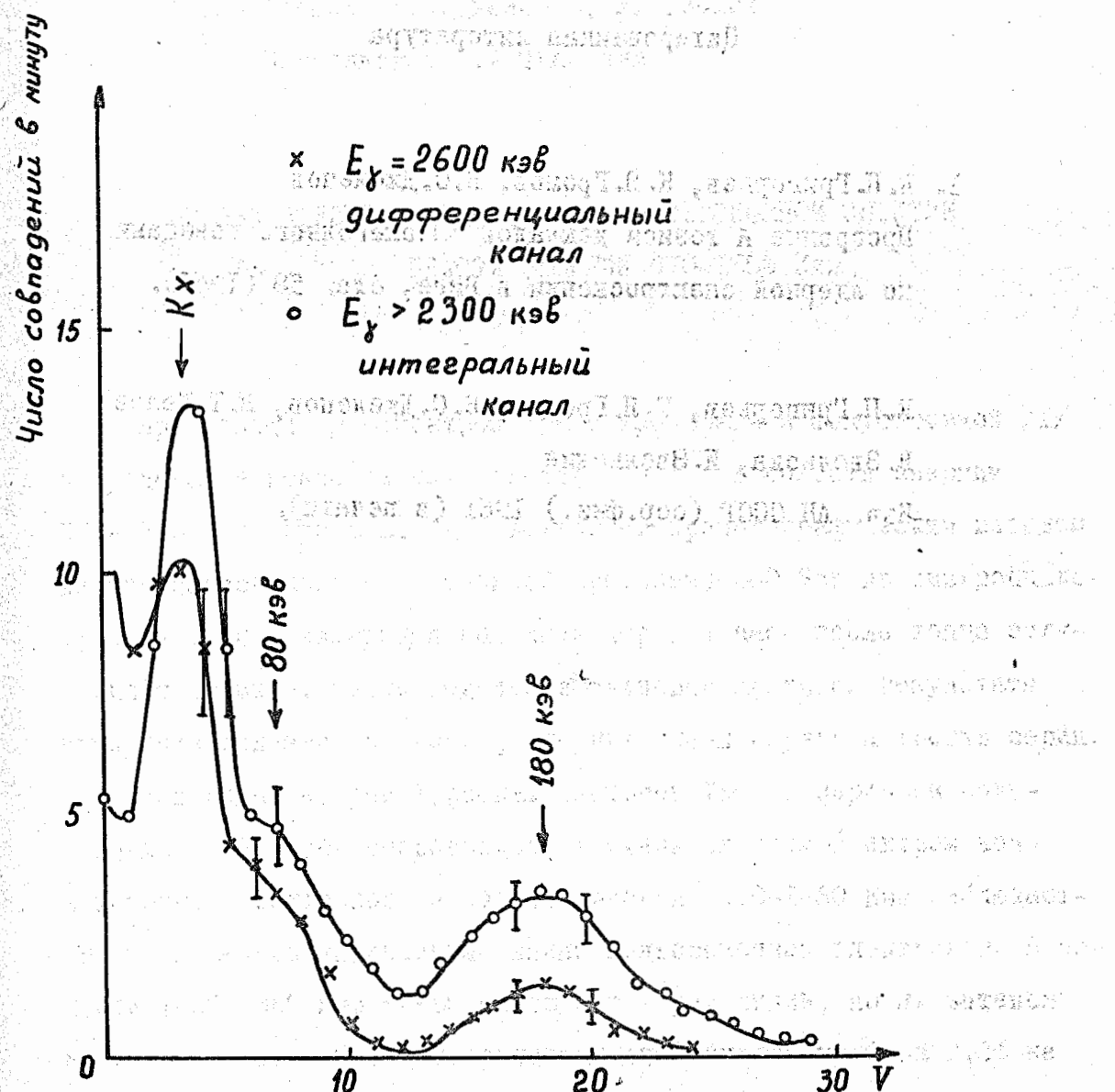


Рис.2  $\times$  — спектр совпадений с линиями 2054 + 2080 кэВ.

$\circ$  — Спектр совпадений с участком  $\gamma$ -спектра с энергией больше 2330 кэВ.

### Цитированная литература

I. Е. П. Григорьев, К. Я. Громов, Б. С. Джелепов

Программа и тезисы докладов XI ежегодного совещания по ядерной спектроскопии в Риге, стр. 58 (1961).

Е. П. Григорьев, К. Я. Громов, Б. С. Джелепов, Ж. Т. Желев,  
В. Звольска, И. Звольский

Изв. АН СССР (сер. физ.) 1961 (в печати).

К. Я. Громов, Б. С. Джелепов, Ж. Т. Желев

В. Звольска, А. А. Скабский

ПРЕДВАРИТЕЛЬНОЕ СООБЩЕНИЕ О КОНВЕРСИОННОМ СПЕКТРЕ

$Tm^{163}$  В ОБЛАСТИ ЭНЕРГИИ 570-1860 Кэв

При помощи  $\beta$ -спектрометра с трехкратной фокусировкой /1/ исследовался конверсионный спектр  $Tm^{163}$  в области энергии 570-1860 Кэв. Препарат  $Tm$  выделялся хроматографическим методом из tantalовой мишени, облученной протонами 660 Мэв на синхроциклоне в Дубне. Измерения начались через 4 часа после конца облучения и 20 минут после выделения тулиевой фракции. Результаты измерения показаны на рис. I, где приведены первая и третья серии.

Как видно из рис. I, распад изотопов  $Tm$  с периодом полу-распада  $< 7$  часов сопровождается очень сложным спектром конверсионных электронов. В области энергии 570-1460 Кэв наблюдаются сравнительно интенсивные линии конверсионных электронов. В области 1460-1860 Кэв также наблюдается ряд линий, но их интенсивность в 5-10 раз меньше. Разрешающая способность прибора 2,3% не позволяет провести детальный анализ этого сложного спектра. Оценка периода полураспада по ряду точек спектра рис. I ( $T_{1/2} \sim 2$  часа) позволяет считать, что приведенный спектр возникает при распаде  $Tm^{163}$  ( $T_{1/2} = 122 \pm 15$  мин) /2/.

В таблице I перечислены энергии конверсионных линий, которые мы считаем возможным приписать  $T_{\text{m}}^{163}$ . Там же приводится их предположительная идентификация.

Настоящие результаты являются предварительными и будут уточнены в измерениях на  $\beta$ -спектрометре с более высокой разрешающей способностью.

Авторы выражают благодарность А. В. Кудрявцевой за помощь в измерениях, В. А. Халкину за химическое выделение препарата.

**Объединенный институт ядерных исследований**

Института ядерной физики Академии наук ССР, г.

Московский институт радиотехники и электроники им. Б. В. Соколовского

и Института ядерной химии Академии наук ССР, г.

Москва, 1970 г. Ученый секретарь Института ядерной химии Академии наук ССР

А. В. Кудрявцева, В. А. Халкин, А. А. Григорьев, А. А. Григорьев

и А. В. Кудрявцева, В. А. Халкин, А. А. Григорьев

и А. В. Кудрявцева, В. А. Халкин, А. А. Григорьев

и А. В. Кудрявцева, В. А. Халкин, А. А. Григорьев

и А. В. Кудрявцева, В. А. Халкин, А. А. Григорьев

и А. В. Кудрявцева, В. А. Халкин, А. А. Григорьев

и А. В. Кудрявцева, В. А. Халкин, А. А. Григорьев

и А. В. Кудрявцева, В. А. Халкин, А. А. Григорьев

и А. В. Кудрявцева, В. А. Халкин, А. А. Григорьев

и А. В. Кудрявцева, В. А. Халкин, А. А. Григорьев

и А. В. Кудрявцева, В. А. Халкин, А. А. Григорьев

и А. В. Кудрявцева, В. А. Халкин, А. А. Григорьев

и А. В. Кудрявцева, В. А. Халкин, А. А. Григорьев

и А. В. Кудрявцева, В. А. Халкин, А. А. Григорьев

и А. В. Кудрявцева, В. А. Халкин, А. А. Григорьев

и А. В. Кудрявцева, В. А. Халкин, А. А. Григорьев

и А. В. Кудрявцева, В. А. Халкин, А. А. Григорьев

и А. В. Кудрявцева, В. А. Халкин, А. А. Григорьев

и А. В. Кудрявцева, В. А. Халкин, А. А. Григорьев

и А. В. Кудрявцева, В. А. Халкин, А. А. Григорьев

и А. В. Кудрявцева, В. А. Халкин, А. А. Григорьев

Таблица № I

Энергия конверсионных электронов Тм<sup>163</sup>, найденных  
в области энергии 570-1860 кэВ.

| №<br>пп | $E_e$<br>КэВ | Предположительная<br>идентификация |
|---------|--------------|------------------------------------|
| I.      | 602          | K 659                              |
| 2.      | 647          | L 657                              |
| 3.      | 694          | K 752                              |
| 4.      | 719          | K 777                              |
| 5.      | 741          | K 799                              |
| 6.      | 764          | -                                  |
| 7.      | 784          | -                                  |
| 8.      | 830          | K 888                              |
| 9.      | 881          | L 890                              |
| 10.     | 926          | K 984                              |
| II.     | 997          | K I054                             |
| I2.     | I022         | K I080                             |
| I3.     | I081         | K II38                             |
| I4.     | III6         | K II73                             |
| I5.     | II39         | K II96                             |
| I6.     | I206         | K I263                             |
| I7.     | I230         | K I287                             |
| I8.     | I335         | K I392                             |
| I9.     | I373         | K I430                             |
| 20.     | I403         | K I460                             |
| 21.     | I524         | K I581                             |
| 22.     | I607         | K I664                             |
| 23.     | I751         | K I808                             |

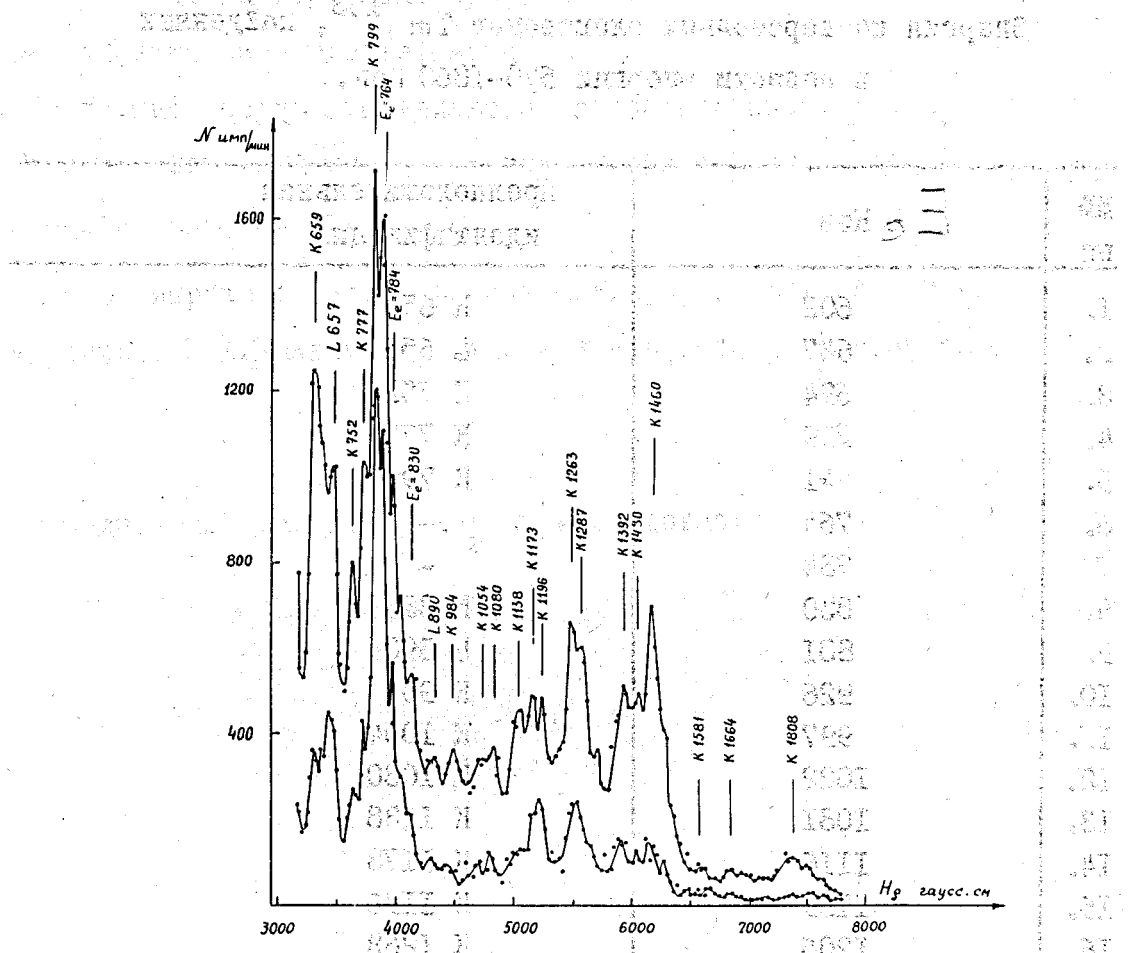


Рис. I Экспериментальный спектр конверсионных электронов  $T_m$  в области энергии 570-1860 Кэв (точки не приведены по периоду распада). Верхняя кривая снималась от 20-й до 140-й минуты после выделения, нижняя - от 300 до 420-й минуты.

I63

### Цитированная литература

1. Б.С.Джелепов, Ж.Т.Желев, А.В.Кудрявцева, О.В.Ларионов,  
М.К.Никитин, Р.Степич. Препринт ОИЯИ Р-587, Дубна 1960.

2. Б.Далхсурен, Л.М.Гвоздева, М.Я.Кузнецова, И.Ю.Левенберг,  
Д.В.Норсеев, В.Н.Покровский, И.А.Ютландов.

Материалы третьего совещания по нейтронодефицитным изотопам,  
т. I. Препринт 613, Дубна 1960.

К. Я. Громов, Б. С. Джелепов, В. Звольска

ПОИСКИ  $Tm^{162}$  В ТУЛИЕВОЙ ФРАКЦИИ

О существовании изотопа  $Tm^{162}$  с периодом полураспада 77 минут сообщили Вильсон и Пул в работе [1]. Облучая протонами с энергией 6 Мэв мишень из окиси эрбия, обогащенной до 14%  $Er^{162}$ , они получили активность, которая содержала 77-минутную компоненту. На основе предположения, что активность с периодом полураспада 77 минут возникла из  $Er^{162}$  по реакции ( $p, n$ ), авторы приписывают ее  $Tm^{162}$ . Изучая  $\gamma$ -спектр в области энергии 0-3000 Кэв при помощи 100-канального сцинтилляционного спектрометра, они нашли  $\gamma$ -лучи с энергией  $102 \pm 2$  Кэв и  $236 \pm 4$  Кэв. Других  $\gamma$ -лучей не замечали. Поскольку  $Er^{162}$ , возникающий при распаде  $Tm^{162}$ , является четно-четным ядром и первый ротационный уровень следует ожидать при энергии  $\sim 100$  Кэв, Вильсон и Пул предположили, что  $\gamma$ -лучи 102 Кэв разряжают первый ротационный уровень со спином 2+ и приписали им мультипольность  $E\ 2$ . Совпадения ( $\gamma$  102,  $\gamma$  236) стали поводом для введения в схему распада  $Tm^{162}$  уровня 338 Кэв, которому были приписаны характеристики  $4^+$ , поскольку отношение энергий уровней 338 Кэв и 102 Кэв имеет значение, характерное для первых двух ротационных уровней четно-четного ядра.

В работе Хармаша и др. [2], посвященной исследованию нейтронодефицитных изотопов  $Tm$ , указывалось, что  $Tm^{162}$  и  $Tm^{164}$

ими не обнаружены. Авторы дали следующее объяснение: либо период полураспада этих изотопов  $< 30$  минут, либо при распаде указанных изотопов не возбуждаются  $\gamma$ -переходы таких энергий, чтобы их можно было заметить по конверсии. Действительно, как было установлено позднее в раб. Абдуразакова и др. [3] и Вильсона и Пула [1],  $Tm^{164}$  имеет очень короткий период (2 мин.). В предварительных опытах по исследованию тулиевой фракции, выполненных в Дубне, не наблюдалось конверсионные и  $\gamma$ -линии переходов, приписанных Вильсоном и Пулом  $Tm^{162}$ . В этих опытах наблюдалась  $\gamma$ -переходы изотопов  $Tm$  с массовыми числами 161, 163, 165-168.

На первый взгляд представляется непонятным, что  $Tm^{162}$  с периодом полураспада 77 минут не наблюдался, хотя были замечены  $Tm^{161}$  ( $T_{1/2} = 37 \pm 5$  мин) и  $Tm^{163}$  ( $T_{1/2} = 122$  мин). Кривая зависимости выходов изотопов в реакции глубокого отщепления от массового числа A имеет плавный характер. Мы сделали оценку отношения кумулятивных выходов  $Tm^{161}$ ,  $Tm^{162}$ ,  $Tm^{163}$ , следя работе [4]. Оно равно соответственно 0,49 : 0,75 : 1. Естественно, что обнаружение в тулиевой фракции  $\gamma$ -переходов с энергией 102 и 236 Кэв, указанных Вильсоном и Пулом, затруднено. Эти энергии очень близки к энергиям 104,4, 239,6 и 241,4 Кэв очень интенсивных  $\gamma$ -переходов  $Tm^{163}$ .

Мы предприняли поиски конверсионных линий, возникающих при распаде  $Tm^{162}$ , с помощью  $\beta$ -спектрометра типа  $\text{P}V2$  со сравнительно хорошей разрешающей способностью (0,2%). Магнитное поле в приборе измерялось методом протонного резонанса. Тулиевая фракция получалась хроматографическим выделением из смеси редких земель,

возникающих при облучении мишени  $Ta$  протонами 660 Мэв.

Мы начинали измерения спустя 4 часа после конца облучения.

Для измерения были выбраны участки спектра, где должны быть расположены  $L_{\alpha}$  конверсионные линии переходов  $I02$  Кэв и  $K$  конверсионная линия перехода  $236$  Кэв. С учетом указанных Вильсоном и Пулом погрешностей измерения энергии переходов, измерения производились в интервалах энергии электронов  $88-97$  и  $175-188$  Кэв. На рисунках 1 и 2 представлены результаты измерения. Как видно из рисунков, в этих интервалах спектра обнаружены только линии  $Tm^{163}$  и  $Tm^{165}$ . Из полученных данных можно сделать вывод, что если переходы  $\gamma I02$  и  $\gamma 236$  кэв, указанные Вильсоном и Пулом существуют, то их энергия весьма точно совпадает с энергией переходов в ядре  $Er^{163}$ . Анализировать данные в участке спектра  $175-188$  Кэв трудно ввиду сложности спектра, а также ввиду малости коэффициента конверсии для перехода с энергией около  $236$  Кэв. Больше шансов обнаружить линию  $L_{\alpha}$  перехода с энергией около  $I02$  Кэв. Участок спектра, где мы искали  $L_{\alpha}$  и  $L_{\beta}$  линии перехода  $I02$  Кэв, мы снимали в семи сериях, первую серию - спустя 4 часа после конца облучения, последнюю серию спустя  $\sim 14$  часов. Форма линии  $\gamma L_{\alpha} I04$  во всех сериях оставалась одинаковой, не наблюдалось ее уширение в первых сериях. Для нескольких точек на линии  $L_{\alpha} I04, 4$ , указанных на рисунке стрелками, были построены скрипные распада. Среднее значение периода полураспада равно  $-108 \pm 6$  мин. Энергия  $\gamma$  ( $88,0$ ) изображена на рисунке в единицах квантовой энергии, основные единицы измерения показаны в скобках. Абсолютные единицы измерения можно получить из номинальных значений констант, изображенных в скобках.

В пределах ошибок это значение согласуется со значением  $T_{I/2} = 122 \pm 15$  мин полученным в раб. Далхсурена и др [5]. Мы сделали оценку верхнего предела интенсивности  $L_{II}$  или  $L_{III}$  конверсионной линии перехода с энергией около 102 Кэв. Мы исходили из того, что  $\gamma$ -переход с энергией около 102 Кэв в  $Er^{162}$  должен быть типа E2. Это значит, что  $L_{II}$  и  $L_{III}$  линии имеют приблизительно одинаковую интенсивность, а  $L_I$  слабая. Был выбран худший случай расположения линий  $L_{II}$  и  $L_{III}$  относительно линии  $L_I$ , 104 Кэв  $T_m^{165}$ . По данным работы [6] этот переход является переходом типа M1, т.е.  $L_I$  линия должна быть значительно интенсивнее чем  $L_{II}$  и  $L_{III}$ . Этот предел  $\frac{J_{L_{II}} 102}{J_{L_I} 104} < 0.1$ . Приводя это значение к моменту конца облучения, получаем значение  $< 0.2$ . Используя значение отношения кумулятивных выходов,  $T_m^{162}$  и  $T_m^{163}$  приведенное выше, и данные по мультипольностям переходов и интенсивностям в % на распад, мы вычислили ожидаемое отношение  $\frac{J_{L_{II}} 102}{J_{L_I} 104}$  в момент конца облучения по формуле:

$$\frac{J_{L_{II}} 102}{J_{L_I} 104} = \frac{\sigma_1}{\sigma_2} \cdot \frac{\omega_{L_{II}} 102}{\omega_{L_I} 104} \cdot \frac{\delta_1}{\delta_2} \cdot \frac{T^2}{T_m} = 0.75 \cdot \frac{0.15}{0.11} \cdot \frac{100}{85} \cdot \frac{120}{77} \simeq 2,$$

где  $\frac{\sigma_1}{\sigma_2}$  - отношение кумулятивных выходов  $T_m^{162}$  и  $T_m^{163}$

$\omega$  - вероятность конверсии,

$\sigma$  - интенсивность соответствующего перехода в % на распад,

$T$  - период полураспада данного изотопа.

Индекс I и 2 в соотношении (I) относится к массовым числам 162 и 163, соответственно.

Как видно, расхождение между экспериментальным и расчетным значением отношения  $\frac{\sigma_{\gamma, 102}}{\sigma_{\gamma, 104}}$  значительно.

Таким образом, в нашей работе, так же как и в выше упомянутых работах, получается расхождение с работой [I].

Для его объяснения можно сделать следующие предположения.

I. Действительное значение отношения  $\frac{\sigma_1}{\sigma_2}$  значительно меньше расчетного, хотя расхождение на порядок является странным.

2.  $\gamma$ -линии 102 и 236 Кэв, наблюдаемые авторами работы [I], являются линиями  $\gamma$  104 и  $\gamma$  (239+241) Кэв  $Tm^{163}$ , возникающего при реакции  $(p, \gamma)$ . Отношение  $\frac{\sigma(p, \gamma)}{\sigma(p, n)}$  трудно оценить, поскольку нет соответствующих работ в области  $Z = 69$ . Но если мы примем  $\frac{\sigma(p, \gamma)}{\sigma(p, n)} \approx \frac{1}{100}$ , значение полученное в работе [7], где облучался протонами энергии II Мэв  $^{142}Ce_{84}$ , то получение заметной активности  $Tm^{163}$  в раб. [I] нельзя исключить. Совпадения ( $\gamma$  102) ( $\gamma$  236) наблюдавшиеся в раб. [I] тогда можно отнести за счет совпадений ( $\gamma$  104) ( $\gamma$  239) в согласии со схемой уровней  $Er^{163}$ , приведенной в раб. [2]. Но тогда остается непонятным а) за счет чего следует отнести такое сильное занижение периода полураспада в работе Вильсона и Пула; б) почему отношение  $\frac{\sigma_{\gamma, 104}}{\sigma_{\gamma, (239+241)}} < 1$ , как можно оценить из данных Хармаца и др. [2], между тем как в работе Вильсона и Пула приводится  $\frac{\sigma_{\gamma, 102}}{\sigma_{\gamma, 236}} = 2$ .

Авторы приносят благодарность А. Скабскому и В. Калинникову за участие в измерениях.

Объединенный институт ядерных исследований

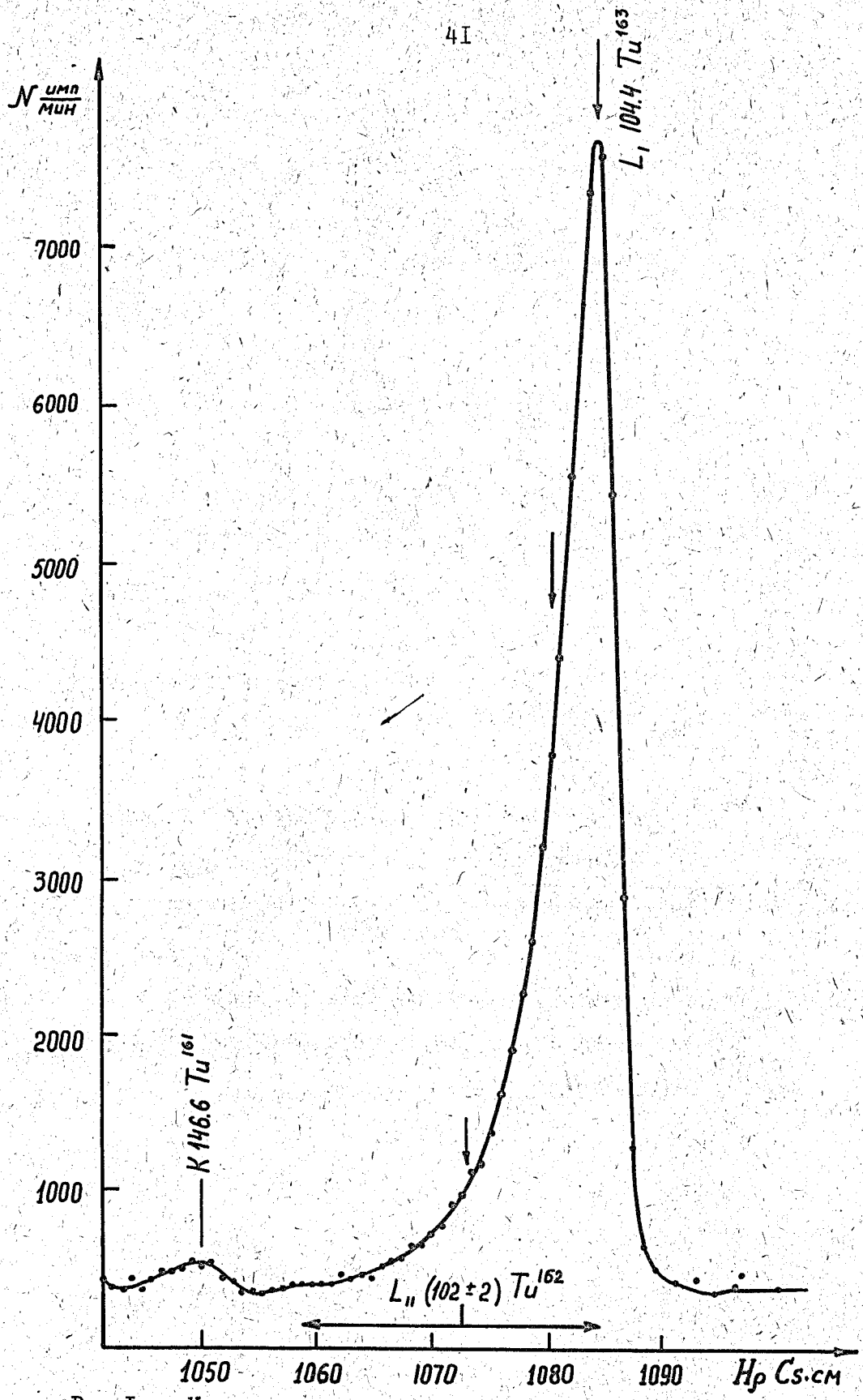


Рис. I Участок спектра, где должны быть расположены  
 $\text{L}_{\text{II}}$ -конверсионные линии перехода с энергией 102 Кэв.

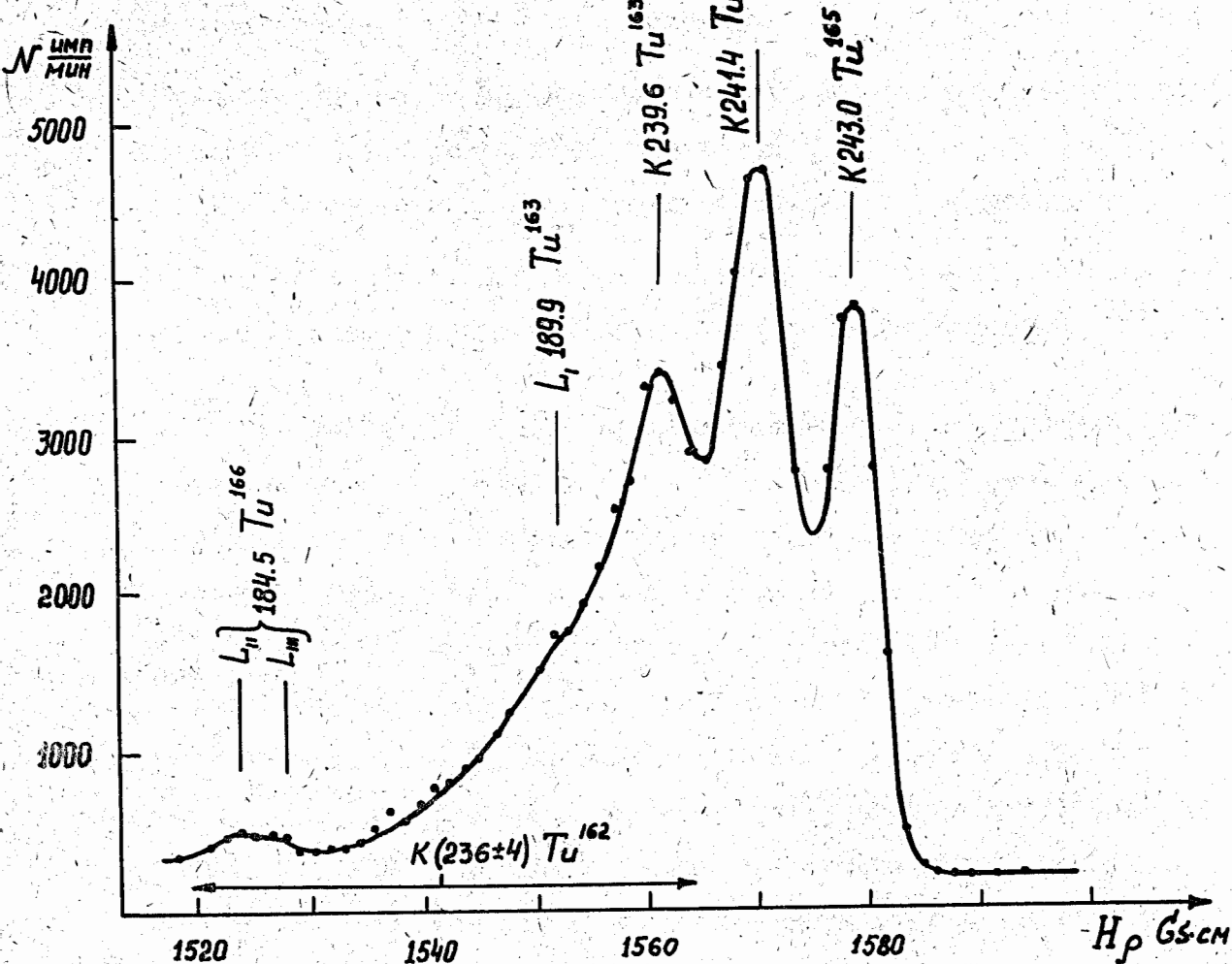


Рис.2 Участок спектра, где должна быть расположена  
К-конверсионная линия перехода с энергией 236 Кэв.

### Цитированная литература

1. R.G.Wilson, M.L.Pool, Phys.Rev., 120, 1827, 1960.
2. B.Harmatz, T.Handley, J.Michelich. Phys.Rev. 114,
3. А.Абдуразаков, К.Громов, Б.Далхсурен, Б.Джелепов, И.Левенберг,  
А.Мурин, Ю.Норсеев, В.Покровский, В.Чумин, И.Ютландов,  
Nucl. Phys. 21, I64, 1960.
4. В.И.Барановский, А.Н.Мурин, Б.К.Преображенский.  
Материалы III совещания по ядерной спектроскопии в Дубне, 1960.
5. Далхсурен Б., Гвоздева Л.Н., Кузнецова М.Я., Левенберг И.Ю.,  
Норсеев Ю.В., Покровский В.Н., Ютландов И.А..  
Материалы третьего совещания по ядерной спектроскопии в  
Дубне, 1960.
6. Громов К.Я., Джелепов Б.С., Звольска В., Звольский И.,  
Доклад на IV совещании по ядерной спектроскопии в Дубне,  
1961.

Б.С. Джелепов, В.Звольска, И.Звольский,  
В.Г. Калинников

О СПЕКТРЕ КОНВЕРСИОННЫХ ЭЛЕКТРОНОВ ДИСПРОЗИЕВОЙ  
ФРАКЦИИ

На  $\beta$ -спектрометре с двойной фокусировкой на угол  $\pi\sqrt{2}$  и с прямым измерением магнитного поля методом ядерного резонанса продолжалось исследование конверсионных электронов диспрозиевой фракции. Разрешающая способность прибора в этих опытах была 0,2%.

Источники диспрозия получались хроматографическим выделением из смеси редкоземельных элементов, возникающих при облучении tantalовой мишени протонами с энергией 660 Мэв.

В работах [I-4] было установлено, что в реакции глубокого отщепления на tantalе в заметном количестве образуются изотопы диспрозия с массовыми числами I59, I57, I55, I53 и I52, периоды полураспада которых I44 дн., 8 ч., 10 ч., 6,4 ч. и 2,6 ч. соответственно.

В предыдущей нашей работе [5] приведены результаты изучения конверсионного спектра диспрозиевой фракции до энергии 370 Кэв. В настоящей работе исследовались конверсионные электроны, возникающие при распаде изотопов диспрозия, в области энергий выше 370 Кэв. Использование более интенсивных источников дало возможность выяснить и некоторые слабые эффекты в спектре конверсионных электронов более низкой энергии. Результаты наших измерений сведены в таблице I и 2 и иллюстрируются рис. I-3.

В таблице I приведены наши данные о конверсионных электронах, которые мы отнесли к распаду  $Dy \rightarrow T\beta$ . Интенсивности линий этих электронов убывали с периодом полураспада от 5,5 до II часов и поэтому их следует отнести к изотопам  $Dy^{153}$ ,  $Dy^{155}$  и  $Dy^{157}$ . Большинство конверсионных линий более высокой области энергий обладало малой интенсивностью, и отношение  $\frac{N_{\text{линия}}}{N_{\text{фон}}}$  в этих случаях колебалось от I до 3. Поэтому определение периода полураспада не могло быть всегда сделано с такой точностью, чтобы решить, к которому из трех изотопов с довольно близкими периодами  $T_{1/2} = 6,4$  ч. ( $Dy^{153}$ ), 8 ч. ( $Dy^{157}$ ) и 10 ч ( $Dy^{155}$ ) отнести отдельные линии. В тех случаях, когда принадлежность конверсионных электронов к определенному изотопу установлена более надежно, приводятся относительные интенсивности в единицах, в которых интенсивность К 254,3  $Dy^{153}$  принята за 100 и К 226,9  $Dy^{155}$  за 1000.

В таблице 2 приведены энергии наблюдавшихся нами конверсионных электронов  $T\beta^{152}$  ( $T_{1/2} = 18$  часов), возникающего из  $Dy^{152}$  ( $T_{1/2} = 2,6$  часа).

На рис. I-3 показан общий вид спектра конверсионных электронов диспрозиевой фракции в области энергий 170–880 Кэв и трех участков, в интервале энергий от 900 до 1150 Кэв, в которых по предварительному опыту, проведенному Ж.Т. Желевым на  $\beta$ -спектрометре с трехкратной фокусировкой, было замечено присутствие конверсионных линий. Фон на рис. I-3 вычен. Спектр приведен к одному времени. Для "сшивания" результатов измерений, полученных

с разными источниками, служили конверсионные линии К 254,3  
 $Dy^{153}$ , К 226,9  $Dy^{155}$  и К 326,4  $Dy^{157}$ . В тех случаях,  
когда в силу большой погрешности в определении периода полураспада  
оказалось невозможным отнести конверсионную линию к определенно-  
му изотопу диспрозия, использовался при вычислении поправки на  
распад "средний" период  $T_{1/2} = 8$  часов. Возникшие при этом  
ошибки в интенсивностях конверсионных линий, представленных на  
рис. I-3, не превышают 20%.

Авторы выражают благодарность К. Я. Громову и В. А. Халкину  
за содействие и постоянный интерес при выполнении настоящей  
работы и А. А. Скабскому за помощь в измерениях.

**Объединенный институт ядерных исследований**

Таблица № I

Конверсионные электроны, возникающие при распаде  
изотопов  $Dy$  ( $T_{1/2} = 5,5 - 12$  ч.)

| №<br>пп | $E_e$<br>КэВ | Иденти-<br>фикация | $h\nu$<br>КэВ | Относит.<br>интенсив-<br>ности | Изотоп<br>диспро-<br>зия (A) |
|---------|--------------|--------------------|---------------|--------------------------------|------------------------------|
| I       | 2            | 3                  | 4             | 5                              | 6                            |
| I.      | 152,2        | K                  | 204,2         | 9                              | I53                          |
| 2.      | 153,6        | K                  | 205,6         | 89                             | I55                          |
| 3.      | 161,6        | K                  | 213,6         | 26                             | I53                          |
| 4.      | 195,5        | L                  | 204,2         | I,2                            | I53                          |
| 5.      | 196,9        | L                  | 205,6         | 7,2                            | I55                          |
| 6.      | 231,9        | L                  | 240,6         | I,5                            | I53                          |
| 7.      | 239,1        | K                  | 291,1         | 6,I                            | I53                          |
| 8.      | 242,4        | M                  | 244,3         | 4                              | I53                          |
| 9.      | 269,3        | M                  | 271,3         |                                | I55                          |
| I0.     | 311,9        | K                  | 363,9         | 3,8                            | I53                          |
| II.     | 353,7        | K                  | 405,7         |                                |                              |
| I2.     | 358,1        | K                  | 410,1         |                                |                              |
| I3.     | 367,8        | K                  | 419,8         |                                |                              |
| I4.     | 389,3        | K                  | 441,3         |                                |                              |
| I5.     | 392,3        | K                  | 444,3         |                                |                              |
| I6.     | 396,7        | K                  | 448,7         |                                |                              |
| I7.     | 400,0        | K                  | 452,0         |                                |                              |
| I8.     | 406,9        | K                  | 458,9         | 2;4                            | I55                          |
| I9.     | 410,6        | K                  | 462,6         |                                |                              |
| 20.     | 432,1        | K                  | 484,1         | I3                             | I55                          |
| 21.     | 435,7        | L                  | 444,3         |                                |                              |
| 22.     | 439,3        | K                  | 491,3         |                                |                              |
| 23.     | 440,5        | L                  | 448,7         |                                |                              |
| 24.     | 443,7        | K                  | 495,7         |                                |                              |
| 25.     | 446,5        | K                  | 498,5         | I9                             |                              |
| 26.     | 456,3        | K                  | 508,3         | II                             | I55                          |
| 27.     | 453,7        | L                  | 462,6         |                                |                              |
| 28.     | 460,4        | K                  | 512,4         | 3,8                            | I53                          |
| 29.     | 475,4        | L                  | 484,1         | 2,6                            | I55                          |

| I       | 2         | 3         | 4         | 5         | 6   |
|---------|-----------|-----------|-----------|-----------|-----|
|         | GESCHÄFTS | GESCHÄFTS | GESCHÄFTS | GESCHÄFTS |     |
| 30.     | 484       | K         | 536       |           |     |
| 31.     | 490,0     | L         | 498,5     | 3,6       | I55 |
| 32.     | 492,7     | K         | 544,7     | I,9       | I53 |
| 33.     | 499,6     | L         | 508,3     | 2,5       | I55 |
| (A) 34. | 503,8     | L         | 512,3     |           | I53 |
| 35.     | 497,9     | K         | 549,9     | II        | I55 |
| 36.     | 507,      | K         | 559       |           |     |
| 37.     | 510       | K         | 562       |           |     |
| 38.     | 518,8     | K         | 570,8     |           |     |
| 39.     | 527,6     | K         | 579,6     |           |     |
| 40.     | 541,2     | L         | 549,9     |           | I55 |
| 41.     | 543,2     | K         | 595,2     |           |     |
| 42.     | 612,7     | K         | 664,7     |           | I55 |
| 43.     | 621,2     | K         | 673,2     |           |     |
| 44.     | 633,3     | K         | 685,3     |           |     |
| 45.     | 643,6     | K         | 695,6     |           |     |
| 46.     | 651,5     | K         | 708,5     |           |     |
| 47.     | 656,0     | L         | 664,7     |           | I55 |
| 48.     | 670,2     | K         | 722,2     |           |     |
| 49.     | 674,0     | K         | 726,0     |           |     |
| 50.     | 692,9     | K         | 744,9     | 3,9       | I55 |
| 51.     | 709,2     | K         | 761,2     | 2,6       | I55 |
| 52.     | 736,2     | L         | 744,9     |           | I55 |
| 53.     | 760,2     | K         | 812,2     | I,8       | I55 |
| 54.     | 784,I     | K         | 836,I     | 2,0       | I55 |
| 55.     | 790       | K         | 842,0     | I,6       | I55 |
| 56.     | 797,5     | K         | 849,5     |           |     |
| 57.     | 854,5     | K         | 906,5     | 6,I       | I55 |
| 58.     | 948,5     | K         | I000,5    | 2,0       | I55 |
| 59.     | 962,2     | K         | I014,2    |           |     |
| 60.     | I039,I    | K         | I091,I    | 2,3       | I55 |
| 61.     | II04,6    | K         | II56,6    |           |     |
| 62.     | III4,8    | K         | II66,8    |           |     |
|         | 8,8       | 8,8       |           |           |     |
|         | 8,8       | 8,8       |           |           |     |

Таблица 2  
Конверсионные электроны Тв I52

| №<br>пп | $E_e$<br>КэВ | Идентификация |
|---------|--------------|---------------|
| I.      | 294,2        | K-344,4       |
| 2.      | 336,0        | L-344,4       |
| 3.      | 342,5        | M-344,4       |
| 4.      | 361,0        | K-4II,2       |
| 5.      | 382,3        | K-432,5       |
| 6.      | 402,8        | L-4II,2       |
| 7.      | 423,7        | L-432,5       |
| 8.      | 536,5        | K-586,7       |
| 9.      | 565,4        | K-6I5,6       |
| IO.     | 578,3        | L-586,7       |
| II.     | 585,0        | M-586,7       |
| I2.     | 607,2        | L-6I5,6       |
| I3.     | 613,7        | M-6I5,6       |
| I4.     | 653,7        | K-703,9       |
| I5.     | 715,4        | K-765,6       |
| I6.     | 729,2        | K-779,4       |

Рис. 1.

Рис. 2.

N-N<sub>ФОН</sub>

ИМПАЛЬСЫ

## Спектрограмма

стабилизации синхронизацией

динамической

20000

15000

10000

5000

0

1600

1800

2000

2200

Gs. cm

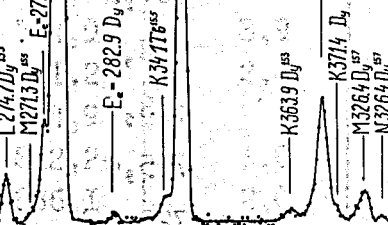
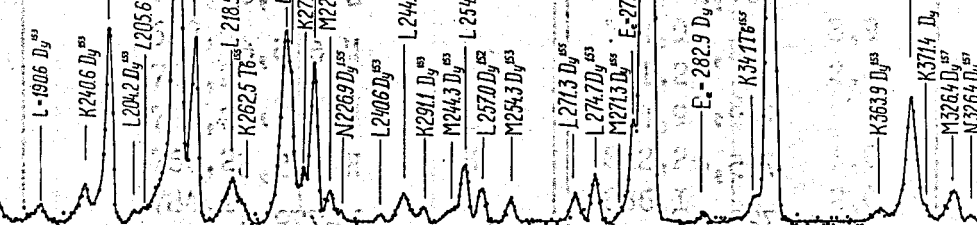


Рис. I.

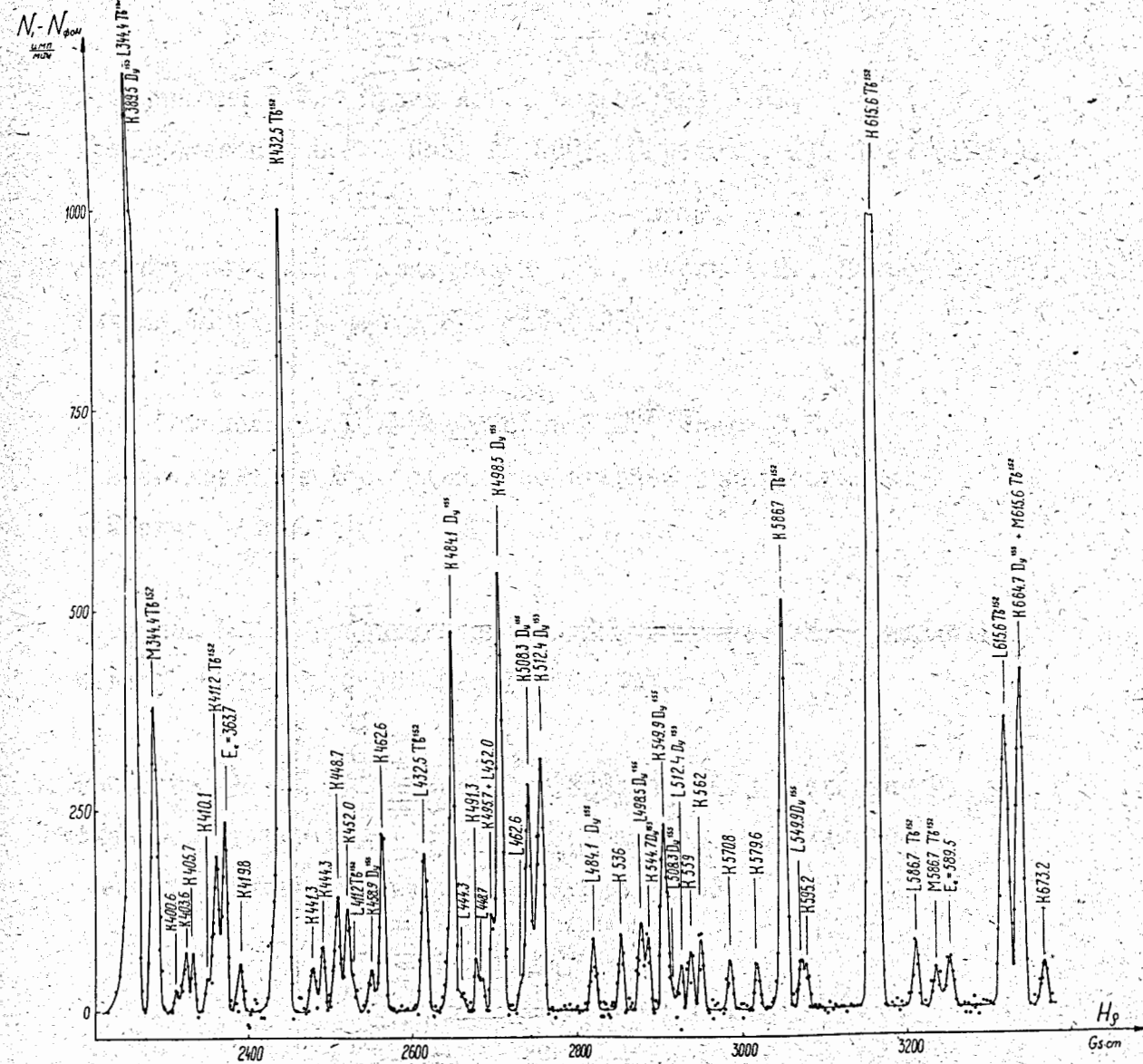


Рис. 2.

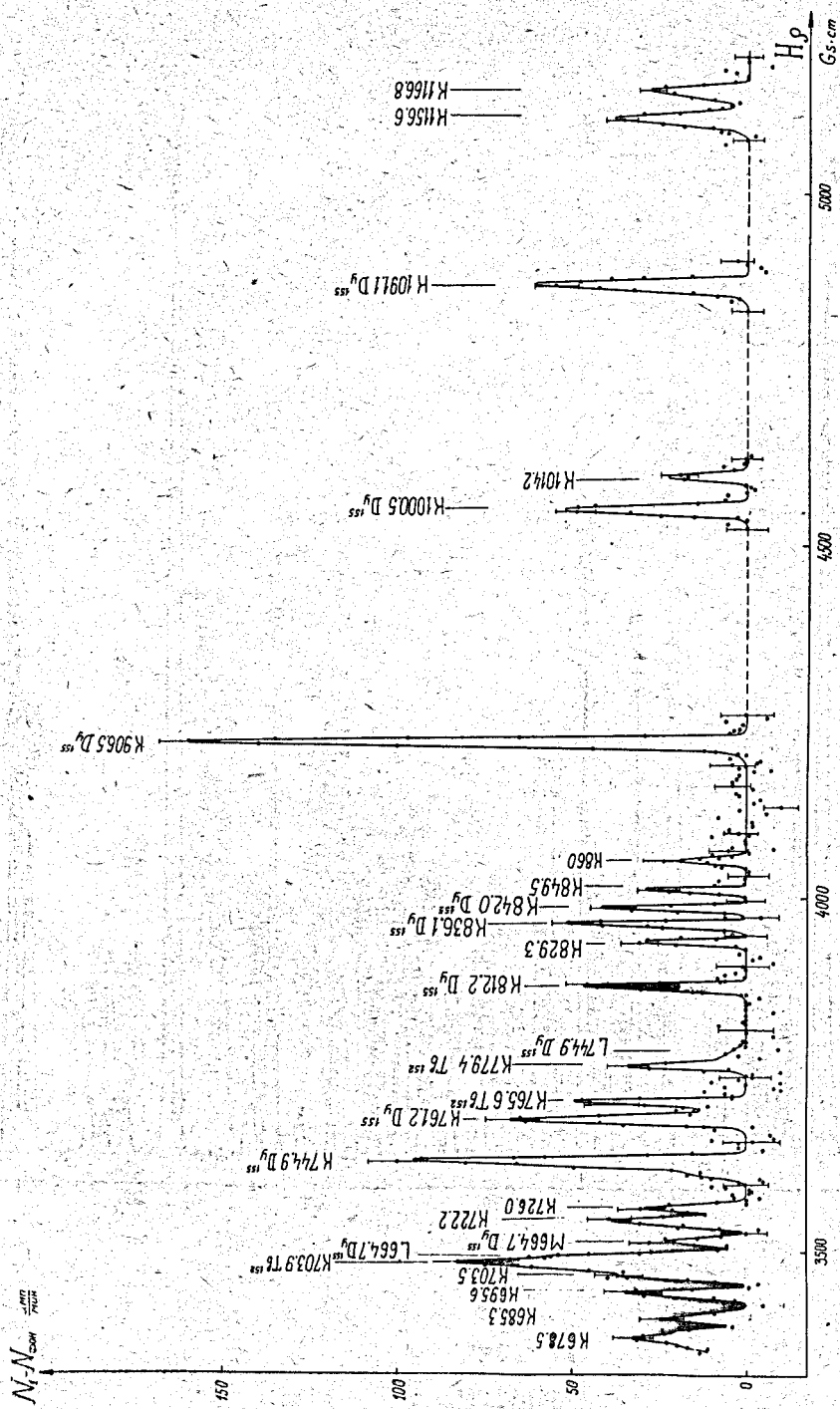


Рис. 3.

Цитированная литература:

1. Городинский Г.М., Мурин А.Н., Покровский В.Н.,  
Преображенский Б.К. Изв. АН СССР. Сер. физ., 21, I624 (1957).
2. Добронравова А.Н., Крижанский Л.К., Мурин А.Н., Покровский В.Н.  
Изв. АН СССР. Сер. физ., 22, 815 (1958).
3. Бонч-Осмоловская Н.А., Джелепов Б.С., Крафт О.Е.  
Тезисы докладов X совещания по ядерной спектроскопии  
в Москве, 1960.
4. Джелепов Б.С., Преображенский Б.К., Рогачев И.М., Тиштин П.А.  
Изв. АН СССР, сер. физ. 22, I26 (1958).
5. Григорьев Е.П., Джелепов Б.С., Звольска В., Звольский И.,  
Адам И., Халкин В.А. Материалы третьего совещания по  
нейтронодефицитным изотопам. Дубна, 1960.

А.Т.Стригачев, А.А.Сорокин и В.С.Шпинель

### ИССЛЕДОВАНИЕ ФРАКЦИИ Тв

На бета-спектрометре с двойной фокусировкой - БПП и методом  $\gamma$  -  $\gamma$  -совпадений было продолжено изучение фракции Тв, которая выделялась радиохимическим методом из tantalовой мишени, облученной протонами с энергией 660 Мэв на синхроциклотроне в Объединенном институте ядерных исследований в Дубне. Приготовление источника и аппаратура, использованная для измерений, были описаны раньше (1,2).

#### Измерения спектров фракции Тв на бета-спектрометре с поперечным полем - БПП.

Конверсионный спектр фракции Тв измерялся в областях от 10 до 100 Кэв с разрешением 1-2% и от 530 до 3000 Кэв с разрешением 0,4%. В таблице № I показаны результаты измерений конверсионного спектра от 10 до 100 Кэв.

Таблица № I

| Энергия конверсии Еэв | Конверсионная линия | Энергия $\beta$ -перехода Кэв | Период полураспада Т 1/2 | Относительная интенсивность | Идентификация |
|-----------------------|---------------------|-------------------------------|--------------------------|-----------------------------|---------------|
| 33                    | Л                   | 41                            | ~2,5 дн.                 | ~110 <sup>1)</sup>          | Тв. 153       |
| 55,0                  | К                   | 105,5                         |                          | ~40                         | Тв. 155       |
| 58,1                  | К                   | 108,3                         | 19±1 ч                   | 1000<br>400 <sup>2)</sup>   | Тв. 151       |
| 100,1                 | Л                   |                               |                          |                             |               |
| 60,1                  | К                   | 110,3                         | ~2,5 дн.                 | 100                         | Тв. 153       |
| 72,6                  | К                   | 122,8                         | 20 ч.                    | ~20                         | Тв. 154       |

|      |   |      |        |      |                   |
|------|---|------|--------|------|-------------------|
| 78,7 | K | 86,8 | ~ 5 дн | ~ 30 | Tb <sup>I55</sup> |
| 81,0 | K | 88,9 | ~ 5 дн | ~ 15 | Tb <sup>I56</sup> |

Примечание: 1) Накладываются линии K 86,8 Tb<sup>I55</sup> и K88,9 Tb<sup>I56</sup>, поэтому эта интенсивность несколько завышена.  
 2) Накладываются линии L I05,5 Tb<sup>I55</sup> и L I10,3 Tb<sup>I53</sup>.

Для градуировки БПП в этом интервале энергий использовались значения энергий K и L электронов  $\gamma$ -перехода I08,3, Tb<sup>I51</sup>, которые были определены раньше по измерениям на магнитном спектрографе типа Даныш (2). Значения энергий даны с погрешностью не более чем 0,2%, за исключением линии L 4I Tb<sup>I53</sup>.

Все эти линии были идентифицированы Михеликом (3). Конверсионная линия K I22,8 Tb<sup>I54</sup>, которая согласно Михелику является самой сильной в конверсионном спектре Tb<sup>I54</sup>, в спектре тербийевой фракции проявляется весьма слабо. По-видимому, Tb<sup>I54</sup> с периодом полураспада  $\sim 20$  ч. присутствует во фракции Tb в незначительном количестве.

В области от 530 Кэв и выше наблюдались четыре конверсионные линии с энергиями электронов: 587,5, 629,3, 600,5 и 643 Кэв, интенсивность которых убывала с периодом полураспада  $\sim 3\text{--}4$  часа. Первые две из них интерпретированы как K и L -линии  $\gamma$ -перехода 637,7 Кэв Tb<sup>I50</sup> (4), а остальные - K и L -линии  $\gamma$ -перехода с энергией 650,7 Кэв, который может относиться либо к Tb<sup>I49</sup>, либо к Tb<sup>I50</sup>.

Интенсивность других конверсионных линий в этой области убывала с периодом полураспада  $I9\pm 1$  ч. В таблице № 2 показаны результаты измерений.

Таблица № 2

| Энергия конверсионной линии Ее-Кэв | Конверсионная линия | Энергия $\gamma$ -перехода Кэв | Относительная интенсивность | Идентификация     |
|------------------------------------|---------------------|--------------------------------|-----------------------------|-------------------|
| 535,3                              | K                   | 585,5                          | 270                         | Tb <sup>152</sup> |
| 577,6                              | L                   | { 585,5<br>614,7               | 40                          |                   |
| 564,5                              | K                   | { 585,5<br>614,7               | 1000                        |                   |
| 606,8                              | L                   | { 585,5<br>614,7               | 120                         | Tb <sup>152</sup> |
| 613                                | M                   | { 585,5<br>614,7               | 35                          |                   |
| 625,5                              | K                   | { 614,7<br>675,5               | ~ 15                        |                   |
| 667                                | L                   | { 614,7<br>675,5               | ~ 4                         |                   |
| 640,3                              | K                   | 675,5                          | 20                          |                   |
| 652,4                              | K                   | 690,5                          | 40                          | Tb <sup>152</sup> |
| 694                                | L                   | 702,5                          | ~ 10                        |                   |
| 679,7                              | K                   | 702,5                          | 40                          | Tb <sup>151</sup> |
| 722                                | L                   | 730                            |                             |                   |
| 701                                | K                   | 730                            | ~ 5                         |                   |
| 714                                | K                   | 751                            |                             |                   |
| 728                                | K                   | 764                            | ~ 20                        |                   |
| 924                                | K                   | 778                            | ~ 10                        | Tb <sup>152</sup> |
| 996,4                              | K                   | 974                            | 10                          | Tb <sup>152</sup> |
|                                    |                     | I047                           | 20                          | Tb <sup>152</sup> |

Исследования конверсионного спектра проводились до энергий ~3 Мэв, но выше 1 Мэв нельзя было надежно установить присутствие конверсионных линий. В этой области градуировка БПП производилась по конверсионным линиям  $\gamma$ -переходов 585,5 и 614,7 Кэв  $Tb^{152}$ . Погрешность в определении значений энергий не более чем 0,2%. Значения интенсивностей даются относительно линии K 614,7  $Tb^{152}$ .

$\gamma$ -переходы: 585,5; 614,7; 702,5; 778; 947 и 1047 Кэв относятся к распаду  $Tb^{152}$  согласно данным Тота и др. (4,5).

$\gamma$ -переход с энергией 730 Кэв должен быть отнесен к распаду  $Tb^{151}$  (4,6). Переходы с энергиями: 675,5; 690,5; 751 и 764 Кэв пока идентифицировать нельзя, т.к. во фракции тербия имеются 3 изотопа с периодом полураспада 20 ч. Но поскольку  $Tb^{154}$  присутствует в очень малом количестве, то можно считать, что эти  $\gamma$ -переходы относятся либо к  $Tb^{151}$ , либо к  $Tb^{152}$ .

На бета-спектрометре измеряли также спектр фотоэлектронов фракции  $Tb$ . Для этой цели перед источником ставился свинцовый радиатор толщиной 5 мгр/см<sup>2</sup>, наклеенный на фольге из латуни (~120 мгр/см<sup>2</sup>). Как видно из рис. I, над фоном выделяются фото-пики от самых сильных  $\gamma$ -переходов: 251,3 Кэв  $Tb^{151}$ , 287,3 Кэв  $Tb^{151}$  и 344 Кэв  $Tb^{152}$ . По интенсивностям K-конверсионных линий этих  $\gamma$ -переходов и по интенсивностям соответствующих им фотопиков можно найти коэффициенты внутренней конверсии  $\alpha_K$ . В качестве репера использовался  $\gamma$ -переход 344 Кэв  $Tb^{152}$ , который является чистым E2 переходом и имеет теоретический коэффициент внутренней конверсии  $\alpha_K = 3,2 \cdot 10^{-2}$  (9). Для площадей фотопиков вводилась поправка на сечение фото-эффекта

в зависимости от энергии (10). Определенные таким образом коэффициенты внутренней конверсии  $\alpha_k$  для  $\gamma$ -переходов 251,3 и 287,3 Кэв приведены в таблице № 3.

Исследование спектров  $\gamma$  -  $\gamma$  -совпадений  
и построение схемы распада  $Tb^{151}$

Измерения спектров  $\gamma$  -  $\gamma$  -совпадений начинались спустя сутки после облучения мишени. К этому времени короткоживущие изотопы  $Tb^{149}$  и  $Tb^{150}$  практически полностью распадались и основной вклад в интенсивность источника давали изотопы  $Tb^{151}$  и  $Tb^{152}$ . Схема распада  $Tb^{152}$  была подробно изучена в работе (5), где измерения проводились с чистым изотопом  $Tb^{152}$ . Учитывая данные этой работы, можно было выделить  $\gamma$  -  $\gamma$  -каскады, относящиеся к  $Tb^{151}$ . При этом мы также опирались на данные о  $\gamma$  -спектре  $Tb^{151}$ , известные к настоящему времени.

Согласно данным работ (3, 4, 6) и нашим измерениям спектров электронов конверсии (1, 2), к распаду  $Tb^{151}$  относятся следующие  $\gamma$ -переходы: 108,3; 180,1; 192,1; 251,3; 287,3; 442,5 и 478,3 Кэв. Кроме того в (4) при измерениях чистого изотопа  $Tb^{151}$  на сцинтилляционном спектрометре были обнаружены  $\gamma$ -лучи с энергиями 600, 720 и 870 Кэв.

Ранее (1, 2) нами было установлено наличие  $\gamma\gamma$ -каскадов: 108,3 - 180,1 Кэв (или, возможно, 180,1 + 192,1 Кэв); 108,3 - 251,3 Кэв и 108,3 - 287,3 Кэв. Было также показано, что переходы 251,3 и 287,3 Кэв не находятся в каскаде. В спектрах совпадений наблюдались также пики от  $\gamma$ -лучей больших энергий, однако эти

измерения требовали уточнения. Кроме того, разделение спектров совпадений с  $\gamma$ -лучами 251,3 Кэв и 287,3 Кэв было сделано недостаточно надежно.

На рис.2 показан спектр, измеренный в том случае, когда схема совпадений управлялась импульсами, соответствующими интервалу энергий 105-115 Кэв, т.е., в основном, от  $\gamma$ -лучей 108,3 Кэв. Спектр был исследован в диапазоне энергий 300-1300 Кэв. В нем видны пики при энергиях 460, 590 и 700 Кэв. Нужно отметить, что пики 460 и 700 Кэв являются сложными.

На рис. 3 показаны спектры, измеренные при управлении импульсами, соответствующими энергиям 240-260 Кэв (кривая I) и 275-295 Кэв (кривая 2). Этим достигалось, хотя и неполное, разделение пиков от  $\gamma$ -лучей 251,3 и 287,3 Кэв. В обоих случаях видны пики 460 Кэв и 590 Кэв. Пик 460 Кэв является сложным, причем на кривой I усилен его правый край (около 480 Кэв), а на кривой 2 - левый (около 440 Кэв). Пик 590 Кэв имеет большую интенсивность на кривой I.

Появление пика с энергией 590 Кэв в спектрах совпадений (рис.2,3) не может быть объяснено интерференцией каскада 344 - 585,5, известного из схемы распада  $Tb^{152}$ , что было установлено, специальными контрольными измерениями. Этот пик по-видимому, соответствует  $\gamma$ -лучам с энергией 600 Кэв  $Tb^{151}$ , которые наблюдались в работах Тота и др. (4,6). В конверсионном спектре фракции  $Tb$  (см.табл.2) в диапазоне энергий 600 $\pm$ 20 Кэв наблюдаются только K и L-конверсионные линии от  $\gamma$ -переходов с энергиями 585,5 и 614,7 Кэв, причем их форма соответствует одиночным линиям. Такие переходы известны в  $Yd^{152}(5)$ , причем по данным этой работы

отношения интенсивностей  $I_1$  к  $585,5$  /  $I_2$  к  $614,7 = 0,22$ . По данным настоящих измерений (см.табл. № 2) эта величина равна  $0,27$ . Близкая величина  $0,28$  была получена в работе (7), где исследовался спектр электронов конверсии франции  $T_{\text{B}}$ , полученной таким же способом, как и в настоящей работе. Из сопоставления этих значений можно заключить, что  $\sim 20\%$  конверсионной линии К  $585,5$  Кэв обусловлено вкладом от  $T_{\text{B}}^{151}$ . Малая величина этого вклада, несмотря на большую интенсивность  $\gamma$ -лучей  $600$  Кэв  $T_{\text{B}}^{151}$  (4) может быть объяснена, если учесть, что  $\gamma$ -переход  $585,5$  Кэв в  $Yd^{152}$  имеет большой коэффициент конверсии ( $\omega_k = 2,6 \cdot 10^{-2}$ ) за счет примеси  $E0$ -перехода (5) и если  $\gamma$ -переход  $585,5$  Кэв в  $Yd^{151}$  конвертирован слабо, например, если этот переход типа  $E1$  или  $E2$ .

Ранее мы сообщали, что  $\gamma$ -лучи  $180$  Кэв, кроме  $\gamma$ -лучей  $108,3$  Кэв, дают совпадения с  $\gamma$ -лучами  $251,3$  Кэв, и не дают совпадений с  $\gamma$ -лучами  $287,3$  Кэв. Однако проверка, сделанная в настоящей работе, показала, что скорее имеет место обратная ситуация. В спектре совпадений, измеренном при управлении импульсами  $170-190$  Кэв (рис.4) пик  $290$  Кэв значительно усилен по сравнению с пиком  $250$  Кэв.

На рис.5 показана схема уровней  $Yd^{151}$ , которая может быть построена на основании имеющихся к настоящему времени сведений. Уровни  $108,3$ ,  $359,6$  и  $395,6$  Кэв были введены нами ранее (2) на основании наличия интенсивных каскадов  $108,3-251,3$  Кэв и  $108,3-287,3$  Кэв и отсутствия совпадений  $251,3-287,3$  Кэв. Переход  $180,1$  Кэв (или переходы  $180,1$  Кэв и  $192$  Кэв), дающий совпадения с  $\gamma$ -лучами  $287,3$  Кэв, должен приводить к уровню  $395,6$  Кэв непосредственно или через какой-либо каскадный переход. В спектре

совпадений (рис.4) кроме пиков 110 и 290 Кэв, виден слабый пик 400 Кэв. Этот пик может соответствовать прямому переходу с уровня 395,6 Кэв в основное состояние. Переход такой энергии наблюдается в спектре электронов конверсии (2).

Пикам 440 и 480 Кэв, проявившимся в спектрах совпадений (рис.3), могут быть сопоставлены  $\gamma$ -переходы 442,5 и 478,3 Кэв, известные из спектров электронов конверсии. Разность их энергий с точностью 0,2 Кэв равна разности энергий уровней 395,6 и 359,6 Кэв. Этот факт может быть объяснен введением уровня 838 Кэв. Между этим уровнем и уровнем 108,3 Кэв может быть размещен переход 730,0 Кэв, который наблюдается в спектре электронов конверсии и, по-видимому, дает вклад в сложный пик  $\sim 700$  Кэв в спектре совпадений с  $\gamma$ -лучами 108,3 Кэв (рис.2). В этот же пик, видимо, дают вклад и другие малоинтенсивные

$\gamma$ -переходы в районе  $700 \pm 50$  Кэв, электроны которых наблюдаются в конверсионных спектрах фракции Тв. Для их размещения требуется введение дополнительных уровней.

Наличие совпадений  $\gamma$ -лучей 590 (585,5) Кэв с  $\gamma$ -лучами 108,3 и 251,3 Кэв заставляет ввести уровень 945 Кэв. Пик в области энергии  $\sim 870$  Кэв, наблюдавшийся в сцинтилляционном спектре  $\gamma$ -лучей  $Tb^{151}$  (4) может быть обусловлен прямым переходом с уровня 838 Кэв. Конверсионные электроны, соответствующие этому переходу, в наших измерениях замечены не были.

В работе (4) даны относительные интенсивности  $\gamma$ -переходов, которые наблюдались в сцинтилляционном спектре при распаде чистого изотопа  $Tb^{151}$ . Используя эти данные и наши данные об интенсивностях конверсионных линий в спектре  $Tb^{151}$  (2), можно

девять из десяти для ОРЭ и ОИТ были получены для определения найти экспериментальные значения для коэффициентов конверсии, если принять во внимание, что согласно измерениям Михелика (3)  $\gamma$ -переход с энергией 108,3 Кэв имеет мультипольность  $M1+E2$ .

Согласно данным Михелика, конверсионные линии  $L_1$ ,  $L''_1$  и  $L'''_1$  этого перехода имеют почти одинаковые интенсивности и по этому можно заключить, что он является  $\gamma$ -переходом типа E2 с малой примесью M1. Тогда, если будем считать, что коэффициент внутренней конверсии для него имеет значение  $\alpha_k = 9,0 \cdot 10^{-1}$  (9), получаются следующие коэффициенты внутренней конверсии для других  $\gamma$ -переходов, принадлежащих распаду  $T_{\text{в}}^{151}$  (см. табл. № 3).

Затем в котелоконической системе было добавлено небольшое количество сухого топлива, а также соли и фторидного щелочного реагента (5,0 г) для снятия анионов из кипящего водяного пара. В результате этого в конверсионном котле и дальше было снято тепло, но в отличие от предыдущего кипячения оно не было выделено в виде тепла в кипящем щелочном растворе, а оно было выделено в виде тепла в кипящем щелочном растворе.

Время кипячения было выбрано таким образом, чтобы избежать перегрева кипящего щелочного раствора, а также из-за опасности образования в кипящем щелочном растворе кипящего щелочного раствора.

После кипячения щелочного раствора в кипящем щелочном растворе было добавлено некоторое количество щелочного реагента, чтобы избежать перегрева щелочного раствора, а также из-за опасности образования в кипящем щелочном растворе кипящего щелочного раствора.

После этого щелочного раствора в кипящем щелочном растворе было добавлено некоторое количество щелочного реагента, чтобы избежать перегрева щелочного раствора, а также из-за опасности образования в кипящем щелочном растворе кипящего щелочного раствора.

После этого щелочного раствора в кипящем щелочном растворе было добавлено некоторое количество щелочного реагента, чтобы избежать перегрева щелочного раствора, а также из-за опасности образования в кипящем щелочном растворе кипящего щелочного раствора.

Таблица № 3

| Энергия<br>γ перехода<br>Кэв | Коэффициент конверсии<br>d <sub>k</sub><br>объектом. знач.<br>по Тот"у | теоретические значения       |                        |                      | Г <sub>k</sub> /Г <sub>0</sub><br>экспер. | теор. знач.<br>EI | Г <sub>k</sub> /Г <sub>0</sub><br>EI | теор. знач.<br>E2 | Г <sub>k</sub> /Г <sub>0</sub><br>E2 | Г <sub>k</sub> /Г <sub>0</sub><br>MI+<br>E2 |
|------------------------------|--|------------------------------|------------------------|----------------------|---|-------------------|--------------------------------------|-------------------|--------------------------------------|---|
|                              |  | γ-интен.<br>по фоно-<br>дат. | γ-интен.<br>по фотонам | Электр.              |   |                   |                                      |                   |                                      |   |
| 108,3                        | 9.10 <sup>-1</sup>   | 1,8.10 <sup>-1</sup>         | 1,2.10 <sup>0</sup>    | 8,0.10 <sup>-1</sup> | 2,5                                       | 6,6               | 6,8                                  | 1,2               | 63                                   | MI+E2                                       |
| 180,1                        | 2,4.10 <sup>-1</sup>   | 5,5.10 <sup>-1</sup>         | 3,5.10 <sup>-1</sup>   | 2,2.10 <sup>-1</sup> | 6,7+0,5                                   | 6,9               | 6,9                                  | 2,6               |                                      | MI+(E2)                                     |
| 251,3                        | 1,1.10 <sup>-1</sup>   | 2,2.10 <sup>-2</sup>         | 1,4.10 <sup>-1</sup>   | 8,5.10 <sup>-2</sup> | 7,5                                       | 7,1               | 6,9                                  | 3,6               |                                      | MI+(E2)                                     |
| 287,3                        | 4,2.10 <sup>-2</sup>   | 1,6.10 <sup>-2</sup>         | 9,5.10 <sup>-2</sup>   | 5,7.10 <sup>-2</sup> | 6,8                                       | 7,1               | 6,9                                  | 4,0               |                                      | MI+(E2)                                     |
| 395,6                        | 5,7.10 <sup>-2</sup>   | 6,7.10 <sup>-3</sup>         | 4,0.10 <sup>-2</sup>   | 2,0.10 <sup>-2</sup> | 7,9                                       | 7,3               | 7,0                                  | 5,1               |                                      |   |
| 443,5                        | 1,5.10 <sup>-2</sup>   | 5,2.10 <sup>-3</sup>         | 3,0.10 <sup>-2</sup>   | 1,6.10 <sup>-2</sup> | 7,9                                       | 7,3               | 7,0                                  | 5,1               |                                      |   |
| 478,5                        | 7,0.10 <sup>-3</sup>   | 4,4.10 <sup>-3</sup>         | 2,5.10 <sup>-2</sup>   | 1,2.20 <sup>-2</sup> | 7   | 7,3               | 7,0                                  | 5,3               |                                      |   |

Как видно из этой таблицы, значения  $\alpha_k$  для  $\gamma$ -переходов 25I,3 и 287,3 Кэв, которые были получены путем использования данных о  $\gamma$ -интенсивностях, удовлетворительно согласуются со значениями для  $\alpha_k$ , полученными на основании наших измерений фотоэлектронов для этих  $\gamma$ -переходов. Рядом даны теоретические значения  $\alpha_k$ (9) для мультипольностей EI, MI и E2 . Экспериментальные значения отношений интенсивностей K и L -конверсионных линий соответствующих  $\gamma$ -переходов взяты из предыдущей нашей работы (2). Для сравнения приведены теоретические значения  $\alpha_k/\alpha_L$  для переходов типа EI, MI и E2 . Значения  $\alpha_k$  для переходов 180,I, 25I,3 и 287,3 Кэв недостаточно точны, (вероятная ошибка ~30%), чтобы сделать выбор между мультипольностями MI и E2, однако позволяют отбросить возможность EI. Отношения интенсивностей K и L конверсионных линий этих  $\gamma$ -переходов ~ 7, и поэтому можно думать, что они являются преимущественно дипольными переходами. Таким образом, можно считать, эти  $\gamma$ -переходы имеют мультипольность MI с вероятной примесью E2.

Для остальных  $\gamma$ -переходов данные недостаточно надежны, и поэтому об их мультипольностях ничего определенного сказать нельзя.

По данным сцинтилляционного  $\gamma$ -спектра (4) и конверсионного спектра можно оценить полные интенсивности  $\gamma$ -переходов при распаде  $Tb^{151}$ . Приведенная на рис.5 схема распада не противоречит балансу интенсивностей переходов. Из этого баланса можно заключить, в частности, что уровень 108,3 Кэв питается за счет переходов, идущих с вышележащих уровней, а не за счет прямого электронного захвата  $Tb^{151}$ .

Хотя предлагаемая схема уровней  $Yd^{151}$  не является полной, можно сказать, что уровни  $Yd^{151}$  имеют не ротационную природу. По-видимому, форма ядра  $Yd^{151}$  еще близка к сферической. В таком случае основное состояние  $Yd^{151}$  может быть  $f_{7/2}$  или  $h_{9/2}$ , согласно модели Майер. В работе Н.М. Антоньевой и др. исследовавших распад  $Yd^{151}$  в  $Eu^{151}$  (8), дается предпочтение состоянию  $7/2$ . Возможно, что первый возбужденный уровень с энергией 108,3 Кэв имеет характеристику  $h_{9/2}$ . Это не противоречит мультипольности  $M1 + E2 \rightarrow \gamma$  - перехода 108,3 Кэв.

Авторы выражают благодарность радиохимическому коллективу ЛЯП ОИЯИ с руководителем В.А. ХАЛКИНЫМ за выделение фракции Тв, К.Я. ГРОМОВУ и И.А. ЮТЛАНДОВУ за содействие при выполнении настоящей работы.

Объединенный институт ядерных исследований.

Научно-исследовательский институт ядерной физики Московского Государственного Университета.

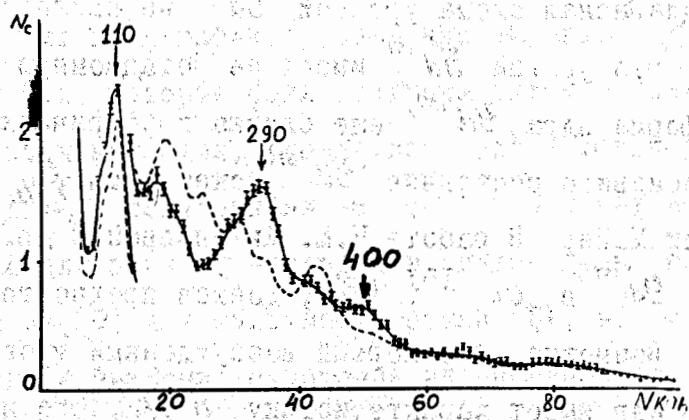


Рис. 4. Совпадения с  $\gamma$ -лучами 180 Кэв.

Пунктиром показан одиночный спектр.

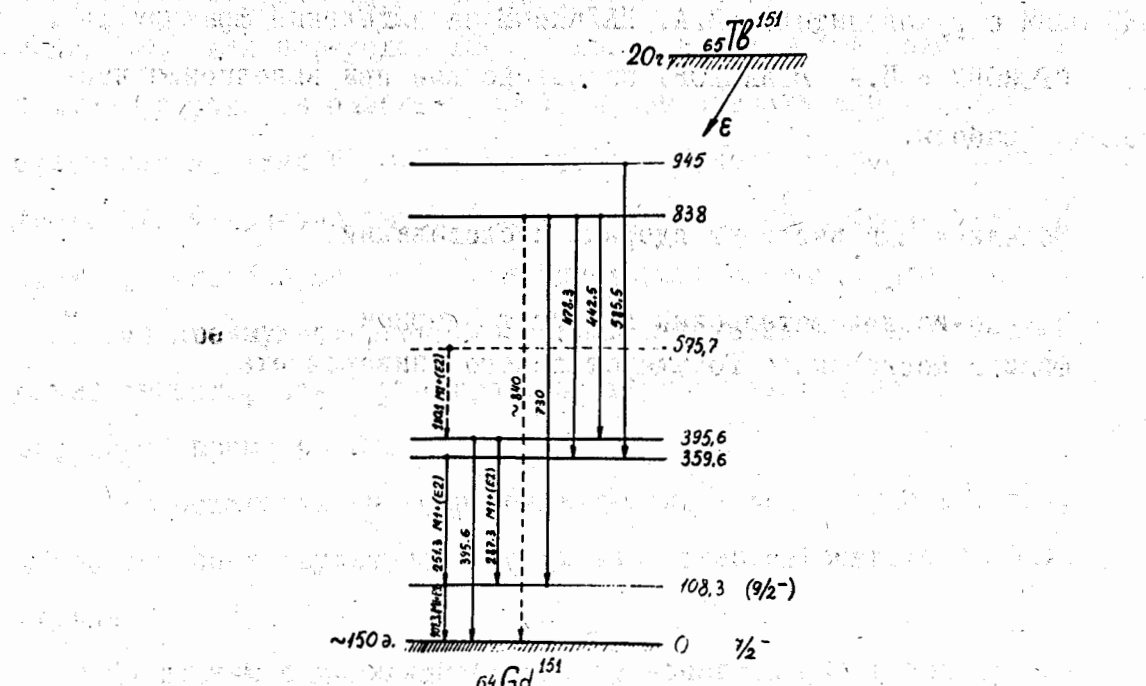


Рис. 5. Схема уровней  $Yd\ ^{151}$ .

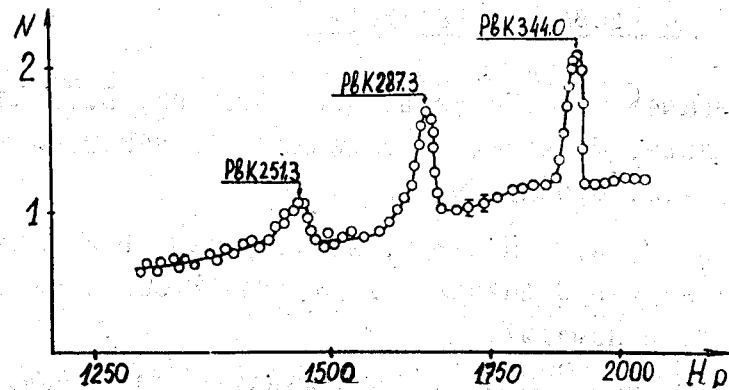


Рис. 1 Спектр фотоэлектронов фракции Тв.

График изображает спектр без поправки на период полураспада. Радиатор - Pb, 5 мгр/см<sup>2</sup>.

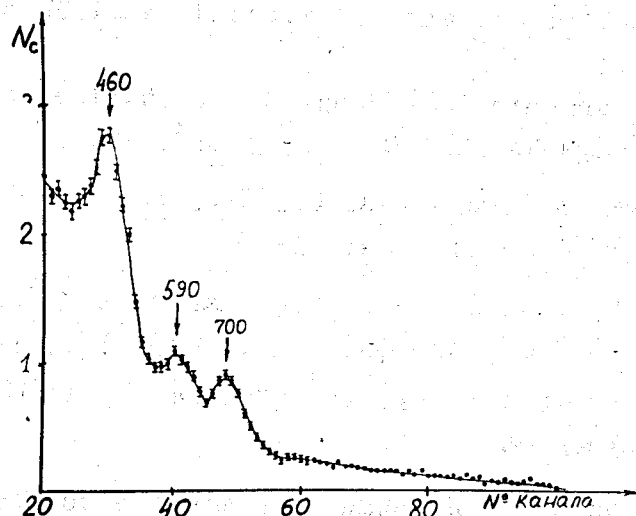


Рис. 2 Совпадения с  $\gamma$ -лучами IIO КэВ.

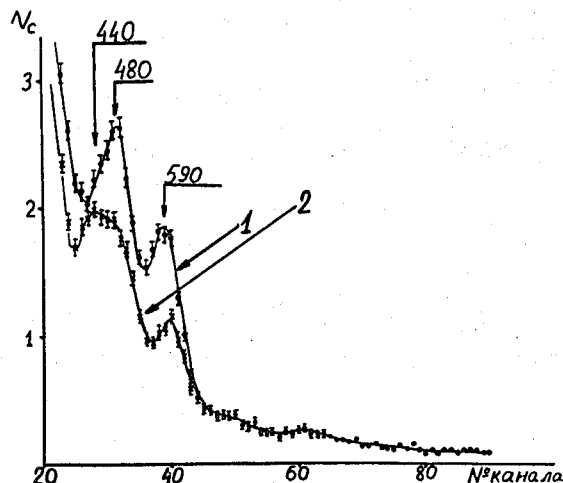


Рис. 3 Совпадения с  $\gamma$ -лучами: 1) 250 КэВ, и  
2) 290 КэВ.

ЦИТИРОВАННАЯ ЛИТЕРАТУРА

1. А.Т. Стригачев, Л.С.Новиков, А.А. Сорокин, В.С. Шпинель и В.А. Халкин. Материалы III совещания по нейтронодефицитным изотопам, т.2, Дубна, 1960 гг.
2. А.Т.Стригачев, Л.С. Новиков, А.А.Сорокин, В.А. Халкин, Н.В.Цветкова и В.С.Шпинель. Известия АН СССР, сер.физ. т.XXY, № 7, /в печати/.
3. J.W.Mihelich, B.Harmatz and T.H.Handley, Phys.Rev., 108, 4, p. 989, 1957.
4. K.S.Toth, S.Bjørnholm, M.H.Jørgensen, O.B.Nielsen, O.Skilbreid and A.Svanheden. J.Inorg.Nucl.Chem., 14, 1/2, p.1, 1960.
5. K.S.Toth, O.B.Nielsen, and O.Skilbreid. Nucl.Phys., 19, 4, p.389, 1960.
6. K.S.Toth, S.Bjørnholm. M.Jørgensen, O.B.Nielsen and O.Skilbreid. Phys.Rev., 116, 1, p.118, 1959.
7. Н.М. Антоньева, А.А. Башилов, Б.С.Джелепов и Б.К.Преображенский ДАН, II9, 2, стр. 24I, 1958.
8. Н.М. Антоньева, А.А. Башилов, Б.С. Джелепов и Б.К.Преображенский Изв. АН СССР, сер.физ., 22,2 стр. I35, 1958.
9. M.R.Rose, Internal Conversion Coefficients, North-Holland Publ.Comp., Amsterdam, 1958.
- 10.Н.А. Бонч-Осмоловская, Атомный фотоэффект в области  $\gamma$ -лучей, издательство Академии наук СССР, Москва-Ленинград, 1959 г.

Данагулян А. С.

ИССЛЕДОВАНИЕ СПЕКТРА КОНВЕРСИОННЫХ ЭЛЕКТРОНОВ  
ГАДОЛИНИЕВОЙ ФРАКЦИИ

Исследован спектр конверсионных электронов нейтронодефицитных изотопов, содержащихся в препарате гадолиниевой фракции, полученной после двухчасового облучения tantalовой мишени протонами с энергией 660 Мэв на синхроциклотроне ОИЯИ.

Исследования велись с помощью двух спектрографов с однородным магнитным полем в энергетических диапазонах 100-700 Кэв (малый спектрограф  $R_{max} = 23$  см) и 10 - 450 Кэв (большой спектрограф  $R_{max} = 50$  см). Разрешающая способность приборов 0,3 - 0,5%. Оба спектрографа градуировались по  $F$  линии  $TbB$ .

Обнаружены известные ранее  $\gamma$ -переходы изотопов  $Gd^{146}$ ,  $Gd^{147}$ ,  $Gd^{149}$ , некоторые  $\gamma$ -переходы  $Gd^{151}$  и  $Gd^{153}$ , а также ряд линий дочерних изотопов тербия.

Обнаружена также слабая конверсионная линия, которую можно идентифицировать как  $K$ -линию  $\gamma$ -перехода с энергией 290 Кэв, впервые наблюденного Сорокиным и др. [5] в опытах по  $\gamma$ - $\gamma$  - совпадениям.

Кроме известных линий в спектре наблюдается также около 20 слабых новых линий, принадлежащих, по-видимому, изотопам гадолиния или дочерним изотопам (см. таблицу I).

Научно-исследовательский институт ядерной физики  
Московского Государственного Университета.

Т а б л и ц а I

| №<br>пп | Энергия<br>конверсион.<br>линий |
|---------|---------------------------------|
| I       | 62,69                           |
| 2       | 120,05                          |
| 3       | 160.618 $\pm$ 0,33              |
| 4       | 212.72                          |
| 5       | 125.71                          |
| 6       | 130.88                          |
| 7       | 136.15                          |
| 8       | 145.64 $\pm$ 0,32               |
| 9       | 184.10                          |
| 10      | 185.08                          |
| II      | 185.73                          |
| I2      | 188.89                          |
| I3      | 190.31                          |
| I4      | 203.20                          |
| I5      | 206.56                          |
| I6      | 241.25                          |
| I7      | 206.89 $\pm$ 0,47               |
| I8      | 269.79 $\pm$ 0,37               |
| I9      | 310,29 $\pm$ 0,43               |
| 20      | 318.18 $\pm$ 0,54               |
| 21      | 328.0 $\pm$ 0,56                |
| 22      | 335.2 $\pm$ 0,6                 |
| 23      | 508.8 $\pm$ 0,6                 |
| 24      | 550.1 $\pm$ 0,6                 |
| 25      | 581.37 $\pm$ 0,7                |
| 26      | 651.0 $\pm$ 0,9                 |

## Л и т е р а т у р а

1. Н.А.Антоньева, Башилов и др. ЖЭТФ, 36 вып. I /1959/
2. Н.А.Антоньева, А.А. Башилов и др. Изв.АН СССР Серия физ. раз. 22, 895
3. Н.А. Антоньева, А.А. Башилов идр.ПАН СССР, сер.физ.22,906
4. Rasmussen Sharley. Nucl.Phys., 4, 395 (1957).
5. А.А. Сорокин, Н.П. Митрофанов

Программа и тезисы докладов XI ежегодного совещания  
по ядерной спектроскопии в Риге (1961г.)

Громов К.Я., Джелепов Б.С., Желев Ж.Т., Звольска В.

### О МУЛЬТИПЛЬНОСТИ ПЕРЕХОДА 22 КЭВ В ЯДРЕ $S_{m}^{149}$

В работе Ван Фу-цзынь и др./I/, в которой изучался спектр конверсионных электронов, возникающих при распаде  $E_{u}^{149} \rightarrow S_{m}^{149}$ , был обнаружен новый переход в ядре  $S_{m}^{149}$  с энергией 22 Кэв.

Целью настоящей работы было определение мультипльности этого перехода.

На  $\beta$ -спектрометре с двойной фокусировкой на угол  $\pi\sqrt{2}$  и приборной шириной линии 0,2% измерялся участок конверсионного спектра, на котором находятся  $L$  и  $M$  линии перехода 22 Кэв  $E_{u}^{149}$  (см. рис.I).

Источником служил препарат  $E_{u}$ , выделенный из гадолиниевой фракции спустя 20 суток после конца разделения. Нами было определено отношение интенсивностей линий  $L_1$ ,  $L_2$ ,  $L_3$  и  $M$  по счету на максимумах линий. Поглощение в пленке окна счетчика не учитывалось. Пленка пропускала электроны с энергией  $\sim 8$  Кэв. В связи с этим возможно, что интенсивность  $M$ -линии несколько завышена.

Сравнение отношения коэффициентов конверсии на подоболочках  $L_1$ ,  $L_2$ ,  $L_3$  и  $M$  с теоретическим значением, которое приведено в табл. I, показывает, что экспериментальное отношение хорошо согласуется с теоретическим для перехода типа M1 с небольшой примесью E2 ( $< 0,5\%$ ). Поскольку характеристики основного состояния  $S_{m}^{149} \frac{7}{2} - 2,3$ , можно на основе определения мультипльности перехода 22 Кэв и оболочечной модели приписать уровню 22 Кэв (см. схему распада  $E_{u}^{149}$ , приведенную в работе I) характеристики  $\frac{5}{2} -, \frac{7}{2} -, \frac{9}{2} -$ .

Таблица I

Сравнение экспериментальных отношений коэффициентов конверсии на  $L_1$ ,  $L_{\mu}$ ,  $L_{\tau}$  и  $M$  подоболочках с теоретическими для различных мультипольностей перехода 22 КэВ.

| Мультипольность                              | $E_1$            | $E_2$                                      | $\bar{E}_3$                 |
|--|------------------|--|-----------------------------|
| Теоретическое значение                       | I:0,68:I,08:I,14 | I:250:320:330                              | I:I00:I20:I00               |
| $d_{L_1} : d_{L_{\mu}} : d_{L_{\tau}} : d_M$ |                  |  |                             |
| Мультипольность                              | $M_1$            | $M_2$                                      | $M_3$                       |
| Теоретич.значение                            | I:0,09:0,02:0,59 | I:0,06:0,52:                               | I:0,07:5,4:<br>: 0,8I : 4,3 |
| $J_{L_1} : J_{L_{\mu}} : J_{L_{\tau}} : J_M$ |                  |  |                             |
| Экспериментальное значение                   |                  | I:(0,24±0,12):<br>(0,20±0,17): (1,15±0,50) |                             |

Объединенный институт ядерных исследований

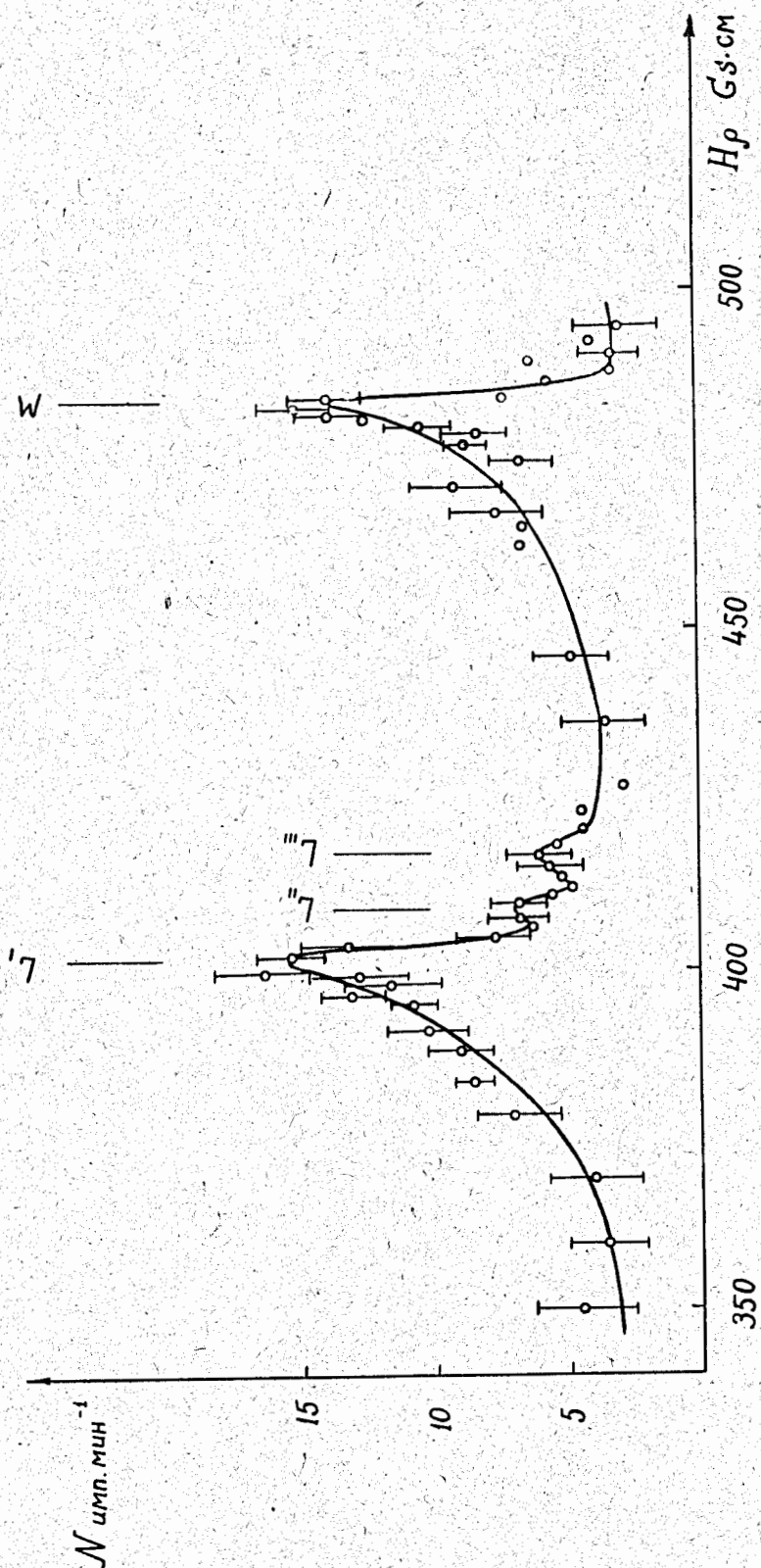


Рис. I.

ЦИТИРОВАННАЯ ЛИТЕРАТУРА

- /1/ Ван Фу-цзюнь , И.Визи, К.Громов, Б.Джелепов,  
А.Кудрявцева, Ю.Язвицкий. ИАН сер.физ.т.26 № 1, 1962.
- /2/ Murakawa K. Phys.Rev., 93, 1232 (1954).
- /3/ Bogle G.S. and Scovil H.E.D. Proc.Phys.Soc., 65A, 360  
(1952).

Б.С. Джелепов, А.И. Медведев, Л.Н. Москвин,  
И.Ф. Учеваткин и С.А. Шестопалова

ИССЛЕДОВАНИЕ СПЕКТРА КОНВЕРСИОННЫХ ЭЛЕКТРОНОВ  $\text{Te}^{II9}$   
В ОБЛАСТИ ЭНЕРГИИ ВЫШЕ 600 Кэв

Нейтронодефицитные изотопы  $\text{Te}^{II8}$  и  $\text{Te}^{II9}$  получались одновременно в реакции глубокого расщепления при облучении мишени  $\text{CsCl}$  протонами с энергией 300 Мэв на синхроциклофоне ОИЯИ.

Приготовление источника

Мишень растворялась в 0,1  $N$  растворе  $\text{NaOH}$  с последующим добавлением: 1) носителей  $\text{As}$  (10 мг) в виде  $\text{Na}_3\text{AsO}_3\text{Se}$  (5 мг) в виде  $\text{Na}_2\text{SeO}_3$ , и 2) 10% раствора  $\text{Na}_2\text{S}$  (2 мл).

Образовавшиеся тиосоли разлагались подкислением раствора соляной кислотой; осадок сульфидов  $\text{As}$  и  $\text{Se}$  при этом практически нацело захватывает  $\text{Te}$  и  $\text{Sb}$  ( $\text{Sb}$  также образуется при бомбардировке). Использованный метод осаждения сульфидов дает лучшую коагуляцию осадка, чем осаждение сероводородом из кислых растворов. После центрифugирования осадок растворялся в концентрированной  $\text{HCl}$  с добавлением  $\text{KClO}_3$ ; полученный раствор нагревался для удаления выделившегося хлора и наносился на хроматографическую микроколонку, наполненную анионитом Дауэкс-І. В условиях нанесения  $\text{As}$  и  $\text{Se}$  очень слабо сорбируются смолой, и после промывки  $6\text{NHCle}$  на колонке остается только  $\text{Te}$  и  $\text{Sb}$ .

Нами было установлено, что  $\text{Sb}_{\text{IV}}$  в микролитерных количествах полностью восстанавливается смолой до  $\text{Sb}_{\text{III}}$ , которая прочно удерживается анионитом при всех концентрациях соляной кислоты.

При этом первый  $\text{Te}$  элюировался в 0,5 Мнс $\ell$ , причем ширина пика не превышала одного свободного объема колонки. При использовании перегнанной соляной кислоты метод позволяет получить очень тонкие препараты теллуровой фракции. В качестве подкладки использовалась алюминиевая фольга толщиной 5 мкм.

Размеры источника 0,5 x 14 мм.

### Аппаратура

Изучение конверсионного спектра теллуровой фракции производилось с помощью двух  $\beta$ -спектрометров с двукратной фокусировкой электронного пучка, построенных во ВНИИМе.

Спектрометры обладают малым фоном и предназначены для исследования спектров конверсионных электронов малой интенсивности в области больших энергий.

С помощью  $\beta$ -спектрометра с двукратной фокусировкой на угол 180° (разрешающая способность - 0,5%, фон совпадений - 0,2 совп./час.) исследовался спектр короткоживущего изомера  $\text{Te}^{119}$ . Изучение спектра долгоживущего изомера  $\text{Te}^{119}$  выполнено на спектрометре с двукратной фокусировкой на угол

$\pi \sqrt{2}$ , в условиях, когда разрешающая способность равнялась 0,3%. Фон совпадений спектрометра меньше 1 совпадения за 40 часов.

### Результаты измерений

В работах (I, 3), посвященных изучению конверсионного и  $\gamma$ -спектров  $\text{Te}^{118}$  и  $\text{Te}^{119}$ , не было обнаружено  $\gamma$ -переходов, соответствующих  $T_{1/2} = 6$  дней, и принадлежащих  $\text{Te}^{118}$ . В настоящей работе также не замечено  $\gamma$ -переходов  $\text{Te}^{118}$ : участок спектра в области  $\geq 1,600$  Кэв ослаблялся с периодами полураспада, принадлежащими изомерам  $\text{Te}^{119}$ .  $\text{Te}^{119}$  ( $T_{1/2} = 17$  час.). Изучение конверсионного спектра короткоживущего изомера  $\text{Te}^{119}$  производилось в интервале энергий 600-700 Кэв. Кроме того, впервые промежуточная конверсионная линия, соответствующая переходу с  $E_\gamma \sim 1760$  Кэв;  $\gamma$ -лучи этого перехода наблюдались в работах [1,2]. Результаты измерений представлены на рис. I и сведены в табл. I.

В интервале энергий 600-700 Кэв отчетливо видны четыре конверсионные линии. Линия с  $E_e = 613,8$  Кэв наблюдалась ранее в работе [2] и соответствует известному  $\gamma$ -переходу с  $E_\gamma = 644$  Кэв [1,2]. По спаданию интенсивности этой линии в течение 5,5 суток мы уточнили значение периода полураспада:  $T_{1/2} = 17,1 \pm 0,7$  часа. Остальные три линии в спектре конверсионных электронов обнаружены впервые. Для всех трех линий измерен период полураспада, который оказался равным  $\sim 18$  часам. При определении энергий этих линий в качестве реперных служили линии: 1)  $E_e = 613,8 \pm 1,2$  Кэв (значение энергии получено на  $\beta$ -спектрометре с двукратной фокусировкой на угол  $\pi\sqrt{2}$ ) и 2)  $E_e = 1190,5 \pm 1,0$  Кэв [2], изображенная на рис. 2.

Разности энергий  $E_{e_1} - E_{e_2} = 26,7$  Кэв и  $E_{e_3} - E_{e_4} = 26,0$  Кэв в пределах ошибок измерений совпадают между собой и близки к разности энергий связи для  $K$ -и  $L$ -оболочек  $S6$ . Это дает основание идентифицировать группу  $e_2$  как  $L$ -конверсию перехода с  $E_r = 645$  Кэв, а  $e_3$  и  $e_4$ , соответственно, как  $K$  и  $L$ -конверсионные электроны перехода с  $E_r = 701$  Кэв, неизвестного ранее. Относительные интенсивности измеренных линий приведены в табл. I.

**$\text{Te}^{119}$**  ( $T_{1/2} = 4,75$  дня [1]). Изучение конверсионного спектра долгоживущего изомера  $\text{Te}^{119}$  производилось в интервале энергий 600-1200 Кэв. Кроме того, впервые промерена конверсионная линия с  $E_e = 1344$  Кэв; соответствующий переход ( $E_r \sim 1370$  Кэв) наблюдался по  $\gamma$ -лучам в работе [1].

Результаты измерений представлены на рис.2 и сведены в табл.2.

В районе 600-700 Кэв после того, как распался семнадцатичасовый  $\text{Te}^{119}$ , линий, принадлежащих долгоживущему изомеру, не обнаружено. В интервале энергий 700-1200 Кэв наблюдаются семь конверсионных линий, интенсивность которых спадала с периодом, близким к пяти дням. Линия с  $E_e = 1025,9$  Кэв наблюдается впервые; остальные шесть линий уже наблюдались в спектре электронов конверсии в работе [3]. Если идентифицировать найденные линии как  $K$ -конверсионные электроны, то для соответствующих переходов получим значения энергий, равные: 921, 951, 988, 1056, 1104, 1146 и 1221 Кэв.

Четыре из этих переходов обнаружены по  $\gamma$ -лучам в работах [1,2] (см.табл.2).

Мы не обнаружили конверсионных линий с энергиями 717 и 763 Кэв, замеченных в работах [1, 3], и линию с энергией 823 Кэв, замеченную в работе [3]. Если они и присутствовали, то их интенсивность на порядок меньше, чем в работах [1, 3].

В заключение авторы выражают благодарность В.Л. Чихладзе за помощь в измерениях периода полураспада короткоживущего изомера, а также студентке ЛГУ И. Павловой, принимавшей участие в измерении спектра конверсионных электронов долгоживущего изомера  $\text{Te}^{119}$ .

**Всесоюзный Научно-Исследовательский Институт  
имени Д.И. МЕНДЕЛЕЕВА**

Таблица № 2

| №<br>пп | Данная работа  |  |                         | С.У. Колес   | И. др. [2] | А.А. Сорокин и др. [1] | Б.С. Джелепов и др. [3] |
|---------|--|--|-------------------------|--------------|------------|------------------------|-------------------------|
|         | Энергия<br>конвер-<br>сионных<br>электро-<br>нов, Кэв<br>(х) | Относи-<br>тельная<br>интен-<br>сивность | Иден-<br>тифи-<br>кация |              |            |                        |                         |
| I.      | 717  | $\leq 0,5$                               | -                       | -            | -          | 760 $\pm$ 10           | 717                     |
| 2.      | 763  | $\leq 0,2$                               | -                       | -            | -          | 800                    | 763                     |
| 3.      | 823  | $\leq 1$                                 | -                       | -            | -          | -                      | 823                     |
| 4.      | 890,8  | $21\pm 2$                                | К                       | 921 $\pm$ 3  | 22         | 920 $\pm$ 10           | 888                     |
| 5.      | 920,1  | $14\pm 2$                                | К                       | 951 $\pm$ 3  | -          | 950 $\pm$ 10           | 915                     |
| 6.      | 957,2  | $11\pm 2$                                | К                       | 988 $\pm$ 3  | -          | 980 $\pm$ 20           | 951                     |
| 7.      | 1025,9   | $8\pm 1$                                 | К                       | 1056 $\pm$ 3 | -          | 1100 $\pm$ 10          | 1070                    |
| 8.      | 1073,8   | $13\pm 2$                                | К                       | 1104 $\pm$ 3 | 21         | -                      | 1112                    |
| 9.      | 1115,6   | $14\pm 2$                                | К                       | 1146 $\pm$ 3 | -          | -                      | 1190,5xx                |
| 10.     | 1190,5   | 100                                      | К                       | 1221 $\pm$ 1 | 100        | 1220 $\pm$ 5           | -                       |
| II.     | 1343,8   | $2,6\pm 0,3$                             | К                       | 1374 $\pm$ 4 | -          | 1370                   | $\leq 1$                |

х) - период полураства всех приведенных линий составляет  $\sim 5$  дней.

xx) - значение энергии принято по работе /2/.

Таблица I

| №<br>пп | Данная работа | Энергия конверсионной линии, Кэв | Относительная интенсивность | $T_{1/2}$ часы | Идентификация | Энергия перехода, Кэв |
|---------|---------------|----------------------------------|-----------------------------|----------------|---------------|-----------------------|
| I       | 613,8         | 100                              | $17,1 \pm 0,1$              | K              |               | $644,3 \pm 1,2$       |
| 2       | 640,5         | $17 \pm 2$                       | $18,3 \pm 1,5$              | L              |               | $645 \pm 2$           |
| 3       | 670,5         | $13 \pm 2$                       | $18,4 \pm 1,5$              | K              |               | $701 \pm 2$           |
| 4       | 696,5         | $2,2 \pm 0,3$                    | $\sim 18$                   | L              |               | $701 \pm 2$           |
| 5       | I730          | $0,6 \pm 0,2$                    | $\sim 18$                   | K              |               | $1760 \pm 10$         |

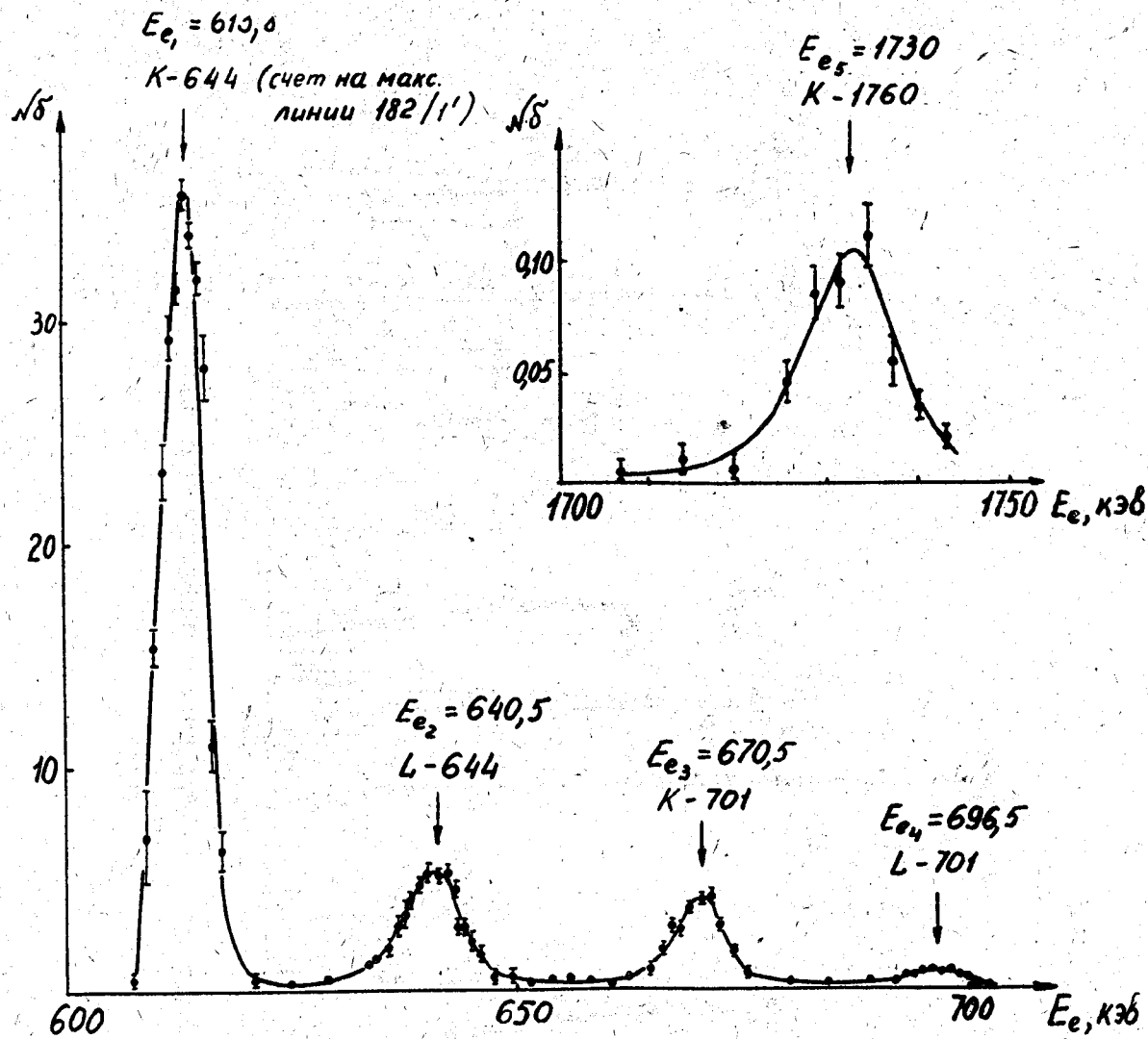


Рис. I. Спектр конверсионных электронов  $\text{Te}^{119}$   
 $(T_{1/2} = 17$  час.)

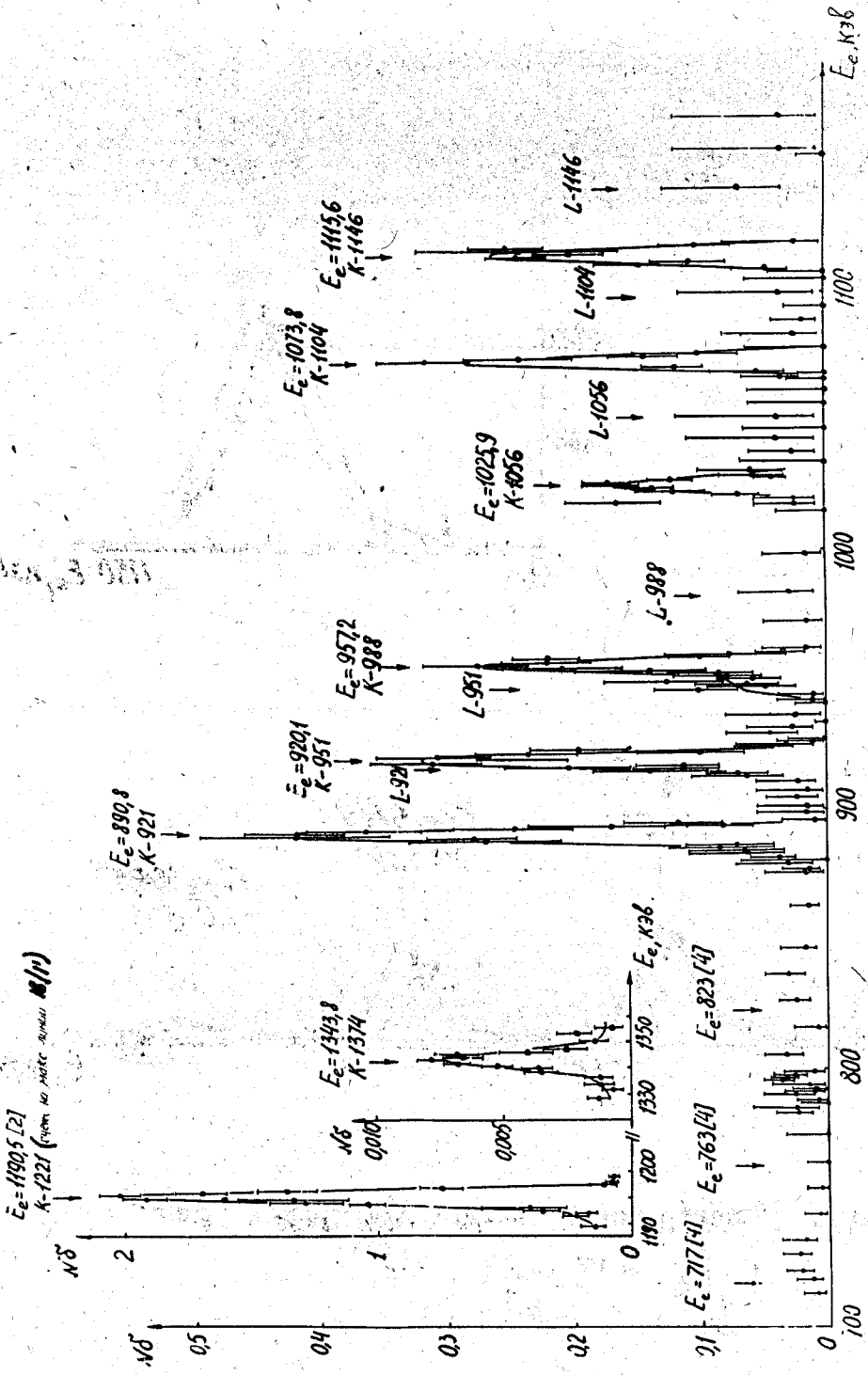


Рис. 2. Спектр конверсионных электронов  $\text{Te-119}$  ( $T_{1/2} = 4,75$  дня).

### ЦИТИРОВАННАЯ ЛИТЕРАТУРА

1. А.А. Сорокин, А.Б. Эдеску, М.В. Климентовская, Л.Н. Крюкова, К.П. Митрофанов, В.В. Муравьева, В.Н. Рыбаков, Г.Чандра и В.С. Шпинель. Изв. АН СССР Сер. физ. Т. XXI, № 12, 1484.

2. C.W.Kocker, Allan C.G., Mitchell, C.B.Creager and T.D.Nainan. Phys.Rev., 120, 1348 (1960).

3. Б.С. Джелепов, И.Ф. Учеваткин, В.Л. Чихладзе и С.А. Шестопалова, тезисы докладов XI ежегодного совещания по ядерной спектроскопии в Риге, 1961 г.

4. Б.С. Джелепов, А.И. Медведев, И.Ф. Учеваткин и С.А. Шестопалова, материалы XI ежегодного совещания по ядерной спектроскопии в Риге, 1961.

Зайцева Н.Г., Ким Хон Сил.

РАДИОХИМИЧЕСКОЕ ВЫДЕЛЕНИЕ ТЕЛЛУРА БЕЗ НОСИТЕЛЯ.

С целью изучения  $\beta$ -спектров короткоживущих изотопов  $\text{Te}$  ( $\text{Te}^{116}$  - 2,5 часа и  $\text{Te}^{117}$  - 1,7 часа) была разработана методика выделения препарата радиоактивного теллура без носителя с большей активностью. Радиоактивные изотопы  $\text{Te}$  получались при облучении мишени  $KJ$  протонами с энергией 660 Мэв. Выделение основано на соосаждении радиоактивного теллура с неизотопным носителем ( $S6^{60}$ ) и дальнейшем их разделении и очистке препарата  $\text{Te}$ , заключающимся в сбросе сурьмы и возможных загрязнений осаждением сульфидов из раствора, в котором теллур находится в шестивалентном состоянии.

Мишень  $KJ$  растворялась в 2-3  $N\text{HCl}$ , через раствор пропускался ток  $H_2S$  и затем вводилось  $\sim 2-3 \text{мг}$  носителя  $S6^{60}$  ( $S6^{60}$  в 6  $N\text{HCl}$ ) при непрерывном токе  $H_2S$ . Как показали опыты с индикаторными количествами, радиоактивный  $\text{Te}$  полностью осаждается на свежеобразующейся поверхности осадка сульфида сурьмы. Осадок сульфидов фильтровался, промывался 2  $N\text{HCl}$ , растворялся в конц.  $\text{HCl}$  с бромом. Раствор упаривался до небольшого объема ( $\sim 0,5$  мл), при этом добавлялась конц.  $\text{HCl}$  (1-2 капли) для полного удаления брома. К полученному после такого упаривания горячему раствору добавлялся раствор 0,1  $N KMnO_4$  для окисления  $\text{Te}^{4+}$  до  $\text{Te}^{6+}$ . Через этот раствор (1,5 - 2  $N$  по  $\text{HCl}$ ) после охлаждения пропускался ток  $H_2S$ , выпавший осадок сульфида сурьмы отфильтровывался. Осаждение сульфида из раствора повторялось дважды при введении свежих порций носителя. Эта операция дает полную

очистку препарата теллура. Затем следует этап подготовки препарата для нанесения на мишень. Для этого теллур нужно отделить от макроличества марганца, для чего раствор кипятился в течение 20-30 мин. с  $CuNCS$  для восстановления  $Te^{6+}$  до  $Te^{4+}$  и  $Te$  еще раз соосаждался с носителем  $Se(\sim 1me)$  при пропускании тока

$H_2S$ . Осадок сульфидов фильтровался через фильтр с диаметром фильтрующей поверхности  $\sim 10$  мм. Сурьма отделялась от теллура растворением осадка на фильтре в конц.  $HCl$ . После тщательной промывки фильтра конц.  $HCl$  теллур, оставшийся на фильтре, растворялся в конц.  $HCl$  (несколькими) каплями ( $V_{2\omega}$ ). Раствор упаривался почти досуха, теллур смывался несколькими каплями  $CuNCS$  (3-4 капли) и наносился на мишень для дальнейших измерений. Следует отметить, что для этих последних операций использовалась микропосуда. Выход радиоактивного  $Te$  - 80-90%, чистота препарата подтверждалась измерениями на  $\beta$ -спектрометре и одноканальном

$\gamma$ -спектрометре, которые показывают линии, соответствующие радиоактивным изотопам  $Te$  и дочерним сурьмы. Продолжительность методики  $\sim 2$  часа.

Использованием склонен склоняется к различию в способах, с помимо которых предполагают различные изотопные линии.

#### Объединенный институт ядерных исследований.

Микрофизикальному колледжу хим. кафедры в Азии химии Физ. факультета ФГУПИ

| Номер | Сурьма | Теллур | Сульфиды | Сурьма | Теллур |
|-------|--------|--------|----------|--------|--------|
| 1     | 1463   | 1639   | 1566     | 1545   | 1547   |
| 2     | 1464   | 1636   | 1564     | 1547   | 1548   |
| 3     | 1465   | 1633   | 1561     | 1545   | 1547   |
| 4     | 1466   | 1631   | 1561     | 1545   | 1547   |
| 5     | 1467   | 1629   | 1556     | 1545   | 1547   |
| 6     | 1468   | 1627   | 1553     | 1545   | 1547   |
| 7     | 1469   | 1624   | 1550     | 1545   | 1547   |

Г.Ф.Драницына

### Массы ядер в области редких земель

При вычислении масс ядер использована полуэмпирическая формула Камерона:  $M - A = \Pi(z, N) + T(z) + T(N)$ .

Плавная функция  $\Pi(z, N)$  оставлена без изменений, а  $T(N)$  и  $T(z)$  рассчитаны заново. Наиболее достоверные значения параметров  $T(N)$  и  $T(z)$  получены на основе экспериментальных данных, опубликованных до 1 мая 1961 года, из которых можно почерпнуть сведения о массах в области редких земель. Все эти данные, с учетом их весов, обработаны по упрощенному методу наименьших квадратов.

В работе приводится таблица дефектов масс и энергий распада.

В 1-ой, 2-ой и 3-ей колонках таблицы указаны число протонов, атомный вес и число нейтронов, соответственно. В 4-ой и 5-ой колонках приведены дефекты масс, вычисленные Камероном и нами. В последних двух колонках указаны полные энергии

$\beta$  - распада и  $e$  - захвата, которые следуют из наших расчетов.

ТАБЛИЦА

## МАСС ЯДЕР В ОБЛАСТИ РЕДКИХ ЗЕМЕЛЬ

| Z  | A   | N  | M - A по<br>Камерону в кэв | M - A<br>новое кэв | Энергия распада<br>в кэв | β-<br><br>e-захв. |
|----|-----|----|----------------------------|--------------------|--------------------------|-------------------|
|    |     |    |                            |                    |                          |                   |
| 56 |     |    | Ba                         |                    |                          |                   |
|    | I42 | 86 | -35937                     | -36817             | +1884                    |                   |
|    | I41 | 85 | -38796                     | -39161             | +2889                    |                   |
|    | I40 | 84 | -42825                     | -42864             | +1221                    |                   |
|    | I39 | 83 | -45397                     | -45255             | +2128                    |                   |
|    | I38 | 82 | -48350                     | -48912             | -1983                    |                   |
|    | I37 | 81 | -48699                     | -48820             | -838                     |                   |
|    | I36 | 80 | -49669                     | -50238             | -3830                    |                   |
|    | I35 | 79 | -48546                     | -49033             | -2168                    |                   |
|    | I34 | 78 | -49374                     | -49861             | -4636                    |                   |
|    | I33 | 77 | -48109                     | -48596             | -3122                    |                   |
|    | I32 | 76 | -48735                     | -49222             | -5546                    |                   |
|    | I31 | 75 | -47318                     | -47805             | -4049                    |                   |
|    |     |    | La                         |                    |                          |                   |
| 57 | I42 | 85 | -38684                     | -38701             | 4749                     | -1884             |
|    | I41 | 84 | -42359                     | -42050             | 3081                     | -2889             |
|    | I40 | 83 | -44575                     | -44085             | 3985                     | -1221             |
|    | I39 | 82 | -47169                     | -47383             | -128                     | -2128             |
|    | I38 | 81 | -47156                     | -46929             | 1015                     | 1983              |
|    | I37 | 80 | -47761                     | -47982             | -1979                    | 838               |
|    | I36 | 79 | -46269                     | -46408             | -318                     | 3830              |
|    | I35 | 78 | -46726                     | -46865             | -2787                    | 2168              |
|    | I34 | 77 | -45086                     | -45225             | -1274                    | 4636              |
|    | I33 | 76 | -45335                     | -45474             | -3700                    | 3122              |
|    | I32 | 75 | -43537                     | -43676             | -2205                    | 5546              |
|    | I31 | 74 | -43617                     | -43756             | -5308                    | 4049              |
|    |     |    | Ce                         |                    |                          |                   |
| 58 | I50 | 92 | -20758                     | -20957             | 2626                     |                   |
|    | I49 | 91 | -22834                     | -22766             | 4813                     |                   |
|    | I48 | 90 | -26617                     | -27097             | 1804                     |                   |
|    | I47 | 89 | -28663                     | -28757             | 3721                     |                   |
|    | I46 | 88 | -32289                     | -32674             | 1382                     |                   |
|    | I45 | 87 | -34479                     | -34594             | 3331                     |                   |

| $Z$           | $A$ | $N$ | <u>М - А по<br/>Камерону в<br/>кэв</u> | <u>М - А<br/>новое в<br/>кэв</u> | Энергия распада в<br>кэв |              |
|---------------|-----|-----|--|----------------------------------|--------------------------|--------------|
|               |     |     |  |                                  | $\beta^-$                | $e^-$ -захв. |
|               | I44 | 86  | -38171                                 | -38809                           | 412                      |              |
|               | I43 | 85  | -40331                                 | -40454                           | I412                     |              |
|               | I42 | 84  | -43653                                 | -43450                           | -258                     | -4749        |
|               | I41 | 83  | -45515                                 | -45131                           | 644                      | -3081        |
|               | I40 | 82  | -47750                                 | -48070                           | -3470                    | -3985        |
|               | I39 | 81  | -47376                                 | -47255                           | -2328                    | I28          |
|               | I38 | 80  | -47617                                 | -47944                           | -5324                    | -1015        |
|               | I37 | 79  | -45758                                 | -46003                           | -3664                    | I979         |
|               | I36 | 78  | -45845                                 | -46090                           | -6135                    | 318          |
|               | I35 | 77  | -43833                                 | -44078                           |                          | 2787         |
|               | I34 | 76  | -43706                                 | -43951                           |                          | I274         |
|               | I33 | 75  | -41529                                 | -41774                           |                          | 3700         |
|               | I32 | 74  | -41226                                 | -41471                           |                          | 2205         |
|               | I31 | 73  | -38203                                 | -38448                           |                          | 5308         |
|               | I30 | 72  | -37542                                 | -37787                           |                          | 3330         |
| <br><u>Pr</u> |     |     |  |                                  |                          |              |
| 59            | I50 | 91  | -23549                                 | -23583                           | 6512                     | -2626        |
|               | I49 | 90  | -26997                                 | -27579                           | 3502                     | -4813        |
|               | I48 | 89  | -28705                                 | -28901                           | 5416                     | -1804        |
|               | I47 | 88  | -31991                                 | -32478                           | 3075                     | -3721        |
|               | I46 | 87  | -33839                                 | -34056                           | 5022                     | -1382        |
|               | I45 | 86  | -37185                                 | -37925                           | 2101                     | -3331        |
|               | I44 | 85  | -38996                                 | -39221                           | 3101                     | -412         |
|               | I43 | 84  | -41967                                 | -41866                           | I429                     | -1412        |
|               | I42 | 83  | -43474                                 | -43192                           | 2330                     | 258          |
|               | I41 | 82  | -45353                                 | -45775                           | -1786                    | -644         |
|               | I40 | 81  | -44619                                 | -44600                           | -646                     | 3470         |
|               | I39 | 80  | -44498                                 | -44927                           | -3643                    | 2328         |
|               | I38 | 79  | -42273                                 | -42620                           | -1985                    | 5324         |
|               | I37 | 78  | -41992                                 | -42339                           | -4457                    | 3664         |
|               | I36 | 77  | -39608                                 | -39955                           | -2948                    | 6135         |



| Z  | A   | N  | М - А по<br>Камерону в<br>кэв | М - А<br>НОВОЕ в<br>кэв | Энергия распада в<br>кэв |           |
|----|-----|----|-------------------------------|-------------------------|--------------------------|-----------|
|    |     |    |                               |                         | $\beta^-$                | e - захв. |
|    |     |    |                               | <i>Sm</i>               |                          |           |
| 62 | I59 | 97 | -I4960                        | -I5544                  | 2954                     |           |
|    | I58 | 96 | -I8636                        | -I8353                  | I592                     |           |
|    | I57 | 95 | -I9987                        | -20120                  | 3012                     |           |
|    | I56 | 94 | -23208                        | -23628                  | I63                      |           |
|    | I55 | 93 | -24206                        | -24611                  | I642                     | -3683     |
|    | I54 | 92 | -27048                        | -27399                  | -990                     | -5163     |
|    | I53 | 91 | -27800                        | -27884                  | II90                     | -2533     |
|    | I52 | 90 | -30249                        | -30881                  | -I825                    | -4715     |
|    | I51 | 89 | -30950                        | -31196                  | 85                       | -I701     |
|    | I50 | 88 | -33220                        | -33757                  | -2260                    | -3612     |
|    | I49 | 87 | -34045                        | -34312                  | -318                     | -I268     |
|    | I48 | 86 | -36361                        | -37151                  | -3243                    | -3213     |
|    | I47 | 85 | -37133                        | -37408                  | -2248                    | -289      |
|    | I46 | 84 | -39058                        | -39007                  | -3925                    | -I285     |
|    | I45 | 83 | -39510                        | -39278                  | -3028                    | 390       |
|    | I44 | 82 | -40326                        | -40798                  | -7148                    | -508      |
|    | I43 | 81 | -38521                        | -38552                  | -6013                    | 36II      |
|    | I42 | 80 | -37319                        | -37798                  |                          | 2474      |
|    | I41 | 79 | -34007                        | -34404                  |                          | 5474      |
|    | I40 | 78 | -32630                        | -33027                  |                          | 3818      |
|    |     |    |                               | <i>Eu</i>               |                          |           |
| 63 | I59 | 96 | -I9171                        | -I8498                  | 3628                     | -2954     |
|    | I58 | 95 | -20202                        | -I9945                  | 5047                     | -I592     |
|    | I57 | 94 | -23102                        | -23132                  | 2I96                     | -3012     |
|    | I56 | 93 | -23776                        | -23791                  | 3673                     | -I63      |
|    | I55 | 92 | -26292                        | -26253                  | I040                     | -I642     |
|    | I54 | 91 | -26715                        | -26409                  | 32I9                     | 990       |
|    | I53 | 90 | -28832                        | -29074                  | 203                      | -II90     |
|    | I52 | 89 | -29200                        | -29056                  | 2III                     | I825      |
|    | I51 | 88 | -3II34                        | -3I281                  | -236                     | -85       |
|    | I50 | 87 | -3I620                        | -3I497                  | I705                     | 2260      |
|    | I49 | 86 | -33594                        | -33994                  | -I221                    | 3I8       |
|    | I48 | 85 | -34023                        | -33908                  | -228                     | 3243      |
|    | I47 | 84 | -35601                        | -35160                  | -I906                    | 2248      |

| Z         | A   | N   | M - A по<br>Камерону<br>в Кэв | M - A<br>новое в<br>Кэв | Энергия распада<br>в Кэв |         |
|-----------|-----|-----|-------------------------------|-------------------------|--------------------------|---------|
|           |     |     |                               |                         | $\beta^-$                | e-/захв |
|           | I46 | 83  | -35704                        | -35082                  | -I0I0                    | 3925    |
|           | I45 | 82  | -36I68                        | -36250                  | -5I32                    | 3028    |
| <i>Gd</i> |     |     |                               |                         |                          |         |
| 64        | I65 | I0I | -8030                         | -85I4                   | 394I                     |         |
|           | I64 | I00 | -II974                        | -II986                  | 2034                     |         |
|           | I63 | 99  | -I3559                        | -I3859                  | 3038                     |         |
|           | I62 | 98  | -I7054                        | -I7047                  | I3I2                     |         |
|           | I6I | 97  | -I8204                        | -I882I                  | I398                     |         |
|           | I60 | 96  | -2I247                        | -20997                  | 34                       |         |
|           | I59 | 95  | -2I960                        | -22I26                  | I45I                     | -3628   |
|           | I58 | 94  | -24539                        | -24992                  | -I40I                    | -5047   |
|           | I57 | 93  | -24890                        | -25328                  | 74                       | -2I96   |
|           | I56 | 92  | -27080                        | -27464                  | -2560                    | -3673   |
|           | I55 | 9I  | -27I76                        | -27293                  | -383                     | -I040   |
|           | I54 | 90  | -28963                        | -29628                  | -340I                    | -32I9   |
|           | I53 | 89  | -28998                        | -29277                  | -I494                    | -203    |
|           | I52 | 88  | -30597                        | -3II67                  | -3842                    | -2III   |
|           | I5I | 87  | -30745                        | -3I045                  | -I902                    | 236     |
|           | I50 | 86  | -32379                        | -33202                  | -4830                    | -I705   |
|           | I49 | 85  | -32465                        | -32773                  | -3838                    | I22I    |
|           | I48 | 84  | -33698                        | -33680                  | -55I7                    | 228     |
|           | I47 | 83  | -33453                        | -33254                  |                          | I906    |
|           | I46 | 82  | -33567                        | -34072                  |                          | I0I0    |
|           | I45 | 8I  | -3I054                        | -3II8                   |                          | 5I32    |
| <i>Tc</i> |     |     |                               |                         |                          |         |
| 65        | I65 | I00 | -I2737                        | -I2455                  | 3265                     | -394I   |
|           | I64 | 99  | -I40I4                        | -I4020                  | 4267                     | -2034   |
|           | I63 | 98  | -I7I98                        | -I6897                  | 2539                     | -3038   |
|           | I62 | 97  | -I8036                        | -I8359                  | 2623                     | -I3I2   |
|           | I6I | 96  | -20763                        | -202I9                  | I258                     | -I398   |
|           | I60 | 95  | -2II59                        | -2I03I                  | 2673                     | -34     |
|           | I59 | 94  | -234I8                        | -23577                  | -I80                     | -I45I   |
|           | I58 | 93  | -23447                        | -2359I                  | I294                     | I40I    |
|           | I57 | 92  | -253I2                        | -25402                  | -I34I                    | -74     |

| Z         | A   | N   | M - A по<br>Камерону<br>в Кэв | M - A<br>новое<br>в Кэв | Энергия распада в<br>Кэв |          |
|-----------|-----|-----|-------------------------------|-------------------------|--------------------------|----------|
|           |     |     |                               |                         | $\beta^-$                | e - захб |
|           | I57 | 92  | -253I2                        | -25402                  | -I34I                    | -74      |
|           | I56 | 91  | -2508I                        | -24904                  | 834                      | 2560     |
|           | I55 | 90  | -26539                        | -269I0                  | -2I85                    | 383      |
|           | I54 | 89  | -26242                        | -26227                  | -279                     | 340I     |
|           | I53 | 88  | -27507                        | -27783                  | -2629                    | I494     |
|           | I52 | 87  | -273I9                        | -27325                  | -690                     | 3842     |
|           | I51 | 86  | -286I4                        | -29I43                  | -3620                    | I902     |
|           | I50 | 85  | -28358                        | -28372                  | -2628                    | 4830     |
|           | I49 | 84  | -29247                        | -28935                  | -4308                    | 3838     |
|           | I48 | 83  | -28656                        | -28I63                  | -34I5                    | 55I7     |
| <i>Dy</i> |     |     |                               |                         |                          |          |
| 66        | I7I | I05 | -469                          | -964                    | 4564                     |          |
|           | I70 | I04 | -4548                         | -4588                   | 2960                     |          |
|           | I69 | I03 | -6338                         | -6908                   | 3778                     |          |
|           | I68 | I02 | -I0054                        | -I0346                  | I294                     |          |
|           | I67 | I0I | -II454                        | -II603                  | 2592                     |          |
|           | I66 | I00 | -I4786                        | -I4463                  | 682                      |          |
|           | I65 | 99  | -I5755                        | -I5720                  | I682                     | -3265    |
|           | I64 | 98  | -I8629                        | -I8287                  | -47                      | -4267    |
|           | I63 | 97  | -I9I54                        | -I9436                  | 37                       | -2539    |
|           | I62 | 96  | -2I567                        | -20982                  | -I330                    | -2623    |
|           | I6I | 95  | -2I646                        | -2I477                  | 84                       | -I258    |
|           | I60 | 94  | -23586                        | -23704                  | -277I                    | -2673    |
|           | I59 | 93  | -23294                        | -23397                  | -I298                    | I80      |
|           | I58 | 92  | -24836                        | -24885                  | -3935                    | -I294    |
|           | I57 | 9I  | -24279                        | -2406I                  | -I76I                    | I34I     |
|           | I56 | 90  | -25408                        | -25738                  | -4780                    | -834     |
|           | I55 | 89  | -2478I                        | -24725                  | -2877                    | 2I85     |
|           | I54 | 88  | -257I3                        | -25948                  | -5227                    | 279      |
|           | I53 | 87  | -25I89                        | -25I54                  | -3289                    | 2629     |
|           | I52 | 86  | -26I47                        | -26635                  |                          | 690      |
|           | I51 | 85  | -25550                        | -25523                  |                          | 3620     |
|           | I50 | 84  | -26097                        | -25744                  |                          | 2628     |
|           | I49 | 83  | -25I6I                        | -24627                  |                          | 4308     |
|           | I48 | 82  | -24578                        | -24748                  |                          | 34I5     |

| Z         | A   | N   | M - A по<br>Камерону<br>в Кэв | M - A<br>новое<br>в Кэв | Энергия распада в<br>Кэв |          |
|-----------|-----|-----|-------------------------------|-------------------------|--------------------------|----------|
|           |     |     |                               |                         | $\beta^-$                | e -захв. |
| <i>Ho</i> |     |     |                               |                         |                          |          |
| 67        | I7I | I04 | -5356                         | -5528                   | 376I                     | -4564    |
|           | I70 | I03 | -6846                         | -7548                   | 4579                     | -2960    |
|           | I69 | I02 | -I0262                        | -I0686                  | 2093                     | -3778    |
|           | I68 | I0I | -II359                        | -II640                  | 3389                     | -I294    |
|           | I67 | I00 | -I4386                        | -I4I95                  | I478                     | -2592    |
|           | I66 | 99  | -I5048                        | -I5I45                  | 2477                     | -682     |
|           | I65 | 98  | -I76I2                        | -I7402                  | 748                      | -I682    |
|           | I64 | 97  | -I7826                        | -I8240                  | 830                      | 47       |
|           | I63 | 96  | -I9926                        | -I9473                  | -540                     | -37      |
|           | I62 | 95  | -I9689                        | -I9652                  | 873                      | I330     |
|           | I6I | 94  | -2I3II                        | -2I56I                  | -I983                    | -84      |
|           | I60 | 93  | -20698                        | -20933                  | -5I0                     | 277I     |
|           | I59 | 92  | -2I9I8                        | -22099                  | -3I50                    | I298     |
|           | I58 | 9I  | -2I036                        | -20950                  | -976                     | 3935     |
|           | I57 | 90  | -2I838                        | -22300                  | -3997                    | I76I     |
|           | I56 | 89  | -20882                        | -20958                  | -2095                    | 4780     |
|           | I55 | 88  | -2I48I                        | -2I848                  | -4445                    | 2877     |
|           | I54 | 87  | -20624                        | -2072I                  | -25I0                    | 5227     |
| <i>Er</i> |     |     |                               |                         |                          |          |
| 68        | I78 | I10 | I0230                         | I0308                   | 35I0                     |          |
|           | I77 | I09 | 7773                          | 7594                    | 4458                     |          |
|           | I76 | I08 | 36I7                          | 3645                    | 2636                     |          |
|           | I75 | I07 | I583                          | I228                    | 3704                     |          |
|           | I74 | I06 | -2243                         | -2548                   | I62I                     |          |
|           | I73 | I05 | -3842                         | -4534                   | 2372                     |          |
|           | I72 | I04 | -7329                         | -7566                   | 765                      |          |
|           | I7I | I03 | -8522                         | -9289                   | I58I                     | -376I    |
|           | I70 | I02 | -II638                        | -I2I27                  | -907                     | -4579    |
|           | I69 | I0I | -I2433                        | -I2779                  | 388                      | -2093    |
|           | I68 | I00 | -I5I55                        | -I5029                  | -I524                    | -3389    |
|           | I67 | 99  | -I55II                        | -I5673                  | -526                     | -I478    |
|           | I66 | 98  | -I7767                        | -I7622                  | -2257                    | -2477    |
|           | I65 | 97  | -I767I                        | -I8I50                  | -2I77                    | -748     |

| Z  | A   | N   | M - A по<br>Камерону<br>в КэВ | M - A<br>новое<br>в КэВ | Энергия распада в<br>КэВ |           |
|----|-----|-----|-------------------------------|-------------------------|--------------------------|-----------|
|    |     |     |                               |                         | $\beta^-$                | e - захв. |
|    | I64 | 96  | -I9458                        | -I9070                  | -3547                    | -830      |
|    | I63 | 95  | -I8905                        | -I8933                  | -2135                    | 540       |
|    | I62 | 94  | -20210                        | -20525                  | -4992                    | -873      |
|    | I61 | 93  | -I9278                        | -I9578                  | -3522                    | I983      |
|    | I60 | 92  | -20177                        | -20423                  | -6162                    | 510       |
|    | I59 | 91  | -I8970                        | -I8949                  |                          | 3150      |
|    | I58 | 90  | -I9447                        | -I9974                  |                          | 976       |
|    | I57 | 89  | -I8162                        | -I8303                  |                          | 3997      |
|    | I56 | 88  | -I8431                        | -I8863                  |                          | 2095      |
|    | I55 | 87  | -I7241                        | -I7403                  |                          | 4445      |
|    | I54 | 86  | -I7526                        | -I82II                  |                          | 2510      |
|    |     |     |                               | Tm                      |                          |           |
| 69 | I78 | I09 | 6799                          | 6798                    | 5572                     | -3510     |
|    | I77 | I08 | 2930                          | 3136                    | 3748                     | -4458     |
|    | I76 | I07 | II86                          | I009                    | 4816                     | -2636     |
|    | I75 | I06 | -2349                         | -2476                   | -2730                    | -3704     |
|    | I74 | I05 | -3655                         | -4169                   | -3480                    | -1621     |
|    | I73 | I04 | -6847                         | -6906                   | I87I                     | -2372     |
|    | I72 | I03 | -7742                         | -833I                   | 2686                     | -765      |
|    | I71 | I02 | -I0559                        | -I0870                  | I97                      | -I58I     |
|    | I70 | I01 | -II052                        | -II220                  | I49I                     | 907       |
|    | I69 | I00 | -I347I                        | -I3I67                  | -422                     | -388      |
|    | I68 | 99  | -I352I                        | -I3505                  | 575                      | I524      |
|    | I67 | 98  | -I5470                        | -I5I47                  | -II58                    | 526       |
|    | I66 | 97  | -I5064                        | -I5365                  | -I079                    | 2257      |
|    | I65 | 96  | -I6539                        | -I5973                  | -2450                    | 2I77      |
|    | I64 | 95  | -I5673                        | -I5523                  | -I040                    | 3547      |
|    | I63 | 94  | -I666I                        | -I6798                  | -3897                    | 2I35      |
|    | I62 | 93  | -I54II                        | -I5533                  | -2428                    | 4992      |
|    | I61 | 92  | -I5988                        | -I6056                  | -5069                    | 3522      |
|    |     |     |                               | Yb                      |                          |           |
| 70 | I83 | II3 | I6747                         | I7243                   | 4796                     |           |
|    | I82 | II2 | I2592                         | I287I                   | 2756                     |           |

| Z   | A   | N   | АМ - А по<br>Камерону<br>с/в Кэв | АМ - А<br>новое<br>в Кэв | Энергия распада в<br>Кэв |          |
|-----|-----|-----|----------------------------------|--------------------------|--------------------------|----------|
|     |     |     |                                  |                          | $\beta^-$                | e-захв.  |
| 181 | 851 | III | I0273                            | I0257                    | 101                      | 3371 95  |
| 180 | 850 | II0 | -6394                            | -6745                    | 00                       | 1719 95  |
| 179 | 849 | I09 | 4508                             | 4602                     | 99                       | 2665 93  |
| 178 | 848 | I08 | 925                              | 1226                     | 89                       | 839 98   |
| 177 | 847 | I07 | -530                             | -612                     | 79                       | 1906 90  |
| 176 | 846 | I06 | -3775                            | -3807                    | 69                       | -181 96  |
| 175 | 845 | I05 | -4787                            | -5206                    | 59                       | -568     |
| 174 | 844 | I04 | -7685                            | -7649                    | 49                       | -2730    |
| 173 | 843 | I03 | -8283                            | -8777                    | 39                       | -3480    |
| 172 | 842 | I02 | -I0801                           | -II017                   | 29                       | -228     |
| 171 | 841 | I01 | -I0994                           | -II067                   | 19                       | -1871    |
| 170 | 840 | I00 | -I3II0                           | -I27II                   | 09                       | -2718 92 |
| 169 | 839 | 99  | -I2856                           | -I2745                   | 99                       | -2686    |
| 168 | 838 | 98  | -I4498                           | -I4080                   | 89                       | -197     |
| 167 | 837 | 97  | -I3783                           | -I3989                   | 79                       | -4079 99 |
| 166 | 836 | 96  | -I4947                           | -I4286                   | 69                       | -575     |
| 165 | 835 | 95  | -I3768                           | -I3523                   | 59                       | -4001 93 |
| 164 | 834 | 94  | -I4441                           | -I4483                   | 49                       | -1158    |
| 163 | 833 | 93  | -I2874                           | -I2901                   | 39                       | -1079    |
| 162 | 832 | 92  | -I3I32                           | -I3I05                   | 29                       | -3897    |
| 161 | 831 | 91  | -II28I                           | -I0987                   | 19                       | -2428    |
| 160 | 830 | 90  | -III09                           | -II363                   | 09                       | -5069    |
|     |     |     |                                  |                          |                          | 2898     |
|     |     |     |                                  |                          |                          |          |
|     |     |     |                                  |                          |                          |          |
| 71  | 183 | II2 | I2098                            | I2447                    | 601                      | 3437 94  |
| 182 | 832 | III | I0061                            | IOII5                    | 501                      | -4796    |
| 181 | 831 | II0 | 6465                             | 6886                     | 401                      | -2756    |
| 180 | 830 | I09 | 4862                             | 5026                     | 301                      | -3371    |
| 179 | 829 | I08 | -1566                            | -1937                    | 201                      | -1719    |
| 178 | 828 | I07 | -399                             | -387                     | 101                      | -2665    |
| 177 | 827 | I06 | -2556                            | -2518                    | 001                      | -839     |
| 176 | 826 | I05 | -3277                            | -3626                    | 90                       | -493 98  |
| 175 | 825 | I04 | -5880                            | -5774                    | 80                       | -1906    |
| 174 | 824 | I03 | -6183                            | -6607                    | 70                       | -1240 92 |
| 173 | 823 | I02 | -8403                            | -8549                    | 60                       | -568     |
|     |     |     |                                  |                          |                          | -370 90  |
|     |     |     |                                  |                          |                          | -442     |
|     |     |     |                                  |                          |                          | -2049    |
|     |     |     |                                  |                          |                          | 228      |

| З<br>д<br>е<br>н<br>и<br>и<br>ч<br>ес<br>тв<br>о | Н<br>р<br>и<br>ф<br>и<br>л<br>и<br>ч<br>ес<br>тв<br>о | Н<br>р<br>и<br>ф<br>и<br>л<br>и<br>ч<br>ес<br>тв<br>о | M - A по<br>Камерону | M - A<br>новое<br>в Кэв | Энергия распада<br>в Кэв |          |  |
|--|---|---|----------------------|-------------------------|--------------------------|----------|--|
|  |   |   |                      |                         | $\beta^-$                | e- захв. |  |
|  | I72   | I01   | -8296                | -8299                   | -758                     | 2718     |  |
|  | I71   | I00   | -10110               | -9641                   | -2673                    | I426     |  |
|  | I70   | 99  | -9552                | -9371                   | -1679                    | 3340     |  |
|  | I69   | 98  | -10888               | -10400                  | -3414                    | 2345     |  |
|  | I68   | 97  | -9865                | -10001                  | -3337                    | 4079     |  |
|  | I67   | 96  | -10719               | -9988                   | -4710                    | 4001     |  |
|  |   |   |                      |                         |                          |          |  |
|  |   |   | Hf                   |                         |                          |          |  |
|  |   |   |                      |                         |                          |          |  |
|  |   |   |                      |                         |                          |          |  |
| 72   | I90   | II8   | 29648                | 30488                   | 4964                     | 873      |  |
|  | I89   | II7   | 26613                | 26665                   | 4209                     | 473      |  |
|  | I88   | II6   | 22457                | 23326                   | 2808                     | 673      |  |
|  | I87   | II5   | 29802                | 2III6                   | 3748                     | 631      |  |
|  | I86   | II4   | 15930                | 17691                   | 2861                     | 361      |  |
|  | I85   | II3   | 13724                | 14877                   | 3585                     | 761      |  |
|  | I84   | II2   | 10126                | II062                   | 1542                     | 661      |  |
|  | I83   | II1   | 8369                 | 9010                    | 2157                     | 471      |  |
|  | I82   | II0   | 5054                 | 6062                    | 501                      | 461      |  |
|  | I81   | I09   | 3735                 | 4486                    | 1443                     | 661      |  |
|  | I80   | I08   | 725                  | 1683                    | -384                     | 601      |  |
|  | I79   | I07   | -155                 | 420                     | 681                      | -1517    |  |
|  | I78   | I06   | -2819                | -2194                   | -1409                    | 801      |  |
|  | I77   | I05   | -3249                | -30II                   | -663                     | -493     |  |
|  | I76   | I04   | -5559                | -4866                   | -2275                    | -1240    |  |
|  | I75   | I03   | -5567                | -5404                   | -1464                    | 370      |  |
|  | I74   | I02   | -7490                | -7049                   | -3956                    | 442      |  |
|  | I73   | I01   | -7084                | -6500                   | -2666                    | -2049    |  |
|  | I72   | I00   | -8597                | -754I                   | -4583                    | 758      |  |
|  | I71   | 99  | -7736                | -6968                   | -3590                    | 2673     |  |
|  | I70   | 98  | -8767                | -7692                   |                          | I679     |  |
|  | I69   | 97  | -7437                | -6986                   |                          | 3414     |  |
|  | I68   | 96  | -7982                | -6664                   |                          | 3337     |  |
|  | I67   | 95  | -6180                | -5278                   |                          | 4710     |  |
|  |   |   | Ta                   |                         |                          |          |  |
|  |   |   |                      |                         |                          |          |  |
| 73   | I90   | II7   | 26II4                | 25524                   | 456I                     | -4964    |  |
|  | I89   | II6   | 22229                | 22456                   | 3I58                     | -4209    |  |

| Z  | A   | W   | M - A по<br>Камерону<br>в Кэв | M - A<br>новое<br>в Кэв | Энергия распада<br>в Кэв |          |
|----|-----|-----|-------------------------------|-------------------------|--------------------------|----------|
|    |     |     |                               |                         | $\beta^-$                | e, захв. |
| 74 | I88 | II5 | 19846                         | 20518                   | 4097                     | -2808    |
|    | I87 | II4 | 16249                         | 17368                   | 3210                     | -3748    |
|    | I86 | II3 | 14319                         | 14830                   | 3932                     | -2861    |
|    | I85 | II2 | 10998                         | 11292                   | 1888                     | -3585    |
|    | I84 | III | 9521                          | 9520                    | 2501                     | -1542    |
|    | I83 | II0 | 6487                          | 6853                    | 844                      | -2157    |
|    | I82 | I09 | 5452                          | 5561                    | 1786                     | -501     |
|    | I81 | I08 | 2727                          | 3043                    | -43                      | -1443    |
|    | I80 | I07 | 2134                          | 2067                    | 1020                     | 384      |
|    | I79 | I06 | -244                          | -261                    | -1071                    | -681     |
|    | I78 | I05 | -381                          | -785                    | -325                     | 1409     |
|    | I77 | I04 | -2399                         | -2348                   | -1938                    | 663      |
|    | I76 | I03 | -2112                         | -2591                   | -1128                    | 2275     |
|    | I75 | I02 | -3739                         | -3940                   | -3621                    | 1464     |
|    | I74 | I01 | -3035                         | -3093                   | -2333                    | 3956     |
|    | I73 | I00 | -4248                         | -3834                   | -4251                    | 2666     |
|    | I72 | 99  | -3084                         | -2958                   | -3258                    | 4583     |
|    | I71 | 98  | -38II                         | -3378                   | -4995                    | 3590     |
|    |     |     |                               | W                       |                          |          |
|    |     |     |                               |                         |                          |          |
|    | I98 | I24 | 42496                         | 43634                   | 4334                     |          |
|    | I97 | I23 | 40II2                         | 40826                   | 4810                     |          |
|    | I96 | I22 | 36547                         | 37281                   | 3219                     |          |
|    | I95 | I21 | 34994                         | 35066                   | 4297                     |          |
|    | I94 | I20 | 32075                         | 3I5II                   | 1875                     |          |
|    | I93 | II9 | 30040                         | 30II2                   | 3276                     |          |
|    | I92 | II8 | 26343                         | 27046                   | 3226                     |          |
|    | I91 | II7 | 23846                         | 2376I                   | 2469                     |          |
|    | I90 | II6 | 2023I                         | 20963                   | 1065                     | -4561    |
|    | I89 | II5 | 1812I                         | 19298                   | 2004                     | -3158    |
|    | I88 | II4 | 14797                         | 1642I                   | III4                     | -4097    |
|    | I87 | II3 | 13I42                         | I4I58                   | I835                     | -3210    |
|    | I86 | II2 | 10099                         | I0898                   | -210                     | -3932    |
|    | I85 | III | 8900                          | 9404                    | 40I                      | -1888    |
|    | I84 | II0 | 6I48                          | 70I9                    | -I256                    | -250I    |
|    | I83 | I09 | 5395                          | 6009                    | -3I5                     | -844     |

| z  | A   | N   | М - А по<br>Камерону<br>в КэВ | М - А<br>новое<br>в КэВ | Энергия распада в<br>КэВ |           |
|----|-----|-----|-------------------------------|-------------------------|--------------------------|-----------|
|    |     |     |                               |                         | $\beta^-$                | e - захв. |
|    | I82 | I08 | 2954                          | 3775                    | -2I45                    | -I786     |
|    | I81 | I07 | 2648                          | 3086                    | -I083                    | 43        |
|    | I80 | I06 | 559                           | I047                    | -3I75                    | -I020     |
|    | I79 | I05 | 709                           | 8I0                     | -2432                    | I07I      |
|    | I78 | I04 | -I0I6                         | -460                    | -4045                    | 325       |
|    | I77 | I03 | -436                          | -4I0                    |                          | I938      |
|    | I76 | I02 | -I767                         | -I463                   |                          | II28      |
|    | I75 | I0I | -766                          | -3I9                    |                          | 362I      |
|    | I74 | I00 | -I679                         | -760                    |                          | 2333      |
|    | I73 | 99  | -2I4                          | 4I7                     |                          | 425I      |
|    | I72 | 98  | -638                          | 300                     |                          | 3258      |
|    | I7I | 97  | I303                          | I6I7                    |                          | 4995      |
| Re |     |     |                               |                         |                          |           |
| 75 | I98 | I23 | 39224                         | 39300                   | 5558                     | -4334     |
|    | I97 | I22 | 35920                         | 360I6                   | 3966                     | -48I0     |
|    | I96 | I2I | 34628                         | 34062                   | 5042                     | -32I9     |
|    | I95 | I20 | 3I97I                         | 30769                   | 26I8                     | -4297     |
|    | I94 | II9 | 30202                         | 29636                   | 40I8                     | -I875     |
|    | I93 | II8 | 2677I                         | 26836                   | 2968                     | -3276     |
|    | I92 | II7 | 24543                         | 23820                   | 32I0                     | -3226     |
|    | I9I | II6 | 2II98                         | 2I292                   | I805                     | -2469     |
|    | I90 | II5 | I9359                         | I9898                   | 2742                     | -I065     |
|    | I89 | II4 | I6308                         | I7294                   | I85I                     | -2004     |
|    | I88 | II3 | I4929                         | I5307                   | 257I                     | -III4     |
|    | I87 | II2 | I2I62                         | I2323                   | 525                      | -I835     |
|    | I86 | III | II242                         | III08                   | II35                     | 2I0       |
|    | I85 | II0 | 8770                          | 9003                    | -523                     | -40I      |
|    | I84 | I09 | 8299                          | 8275                    | 4I6                      | I256      |
|    | I83 | I08 | 6I4I                          | 6324                    | -I4I5                    | 3I5       |
|    | I82 | I07 | 6I20                          | 5920                    | -354                     | 2I45      |
|    | I8I | I06 | 43I9                          | 4I69                    | -2447                    | I083      |
|    | I80 | I05 | 4759                          | 4222                    | -I704                    | 3I75      |
|    | I79 | I04 | 3324                          | 3242                    | -33I9                    | 2432      |
|    | I78 | I03 | 4I97                          | 3585                    | -25I2                    | 4045      |

| Z  | A   | N   | M - A по<br>Камерону<br>в Кэв | M - A<br>новое в<br>Кэв | Энергия распада |           |
|----|-----|-----|-------------------------------|-------------------------|-----------------|-----------|
|    |     |     |                               |                         | $\beta^-$       | e - захв. |
| 76 | 202 | I26 | 44468                         | 44760                   | 3270            | -5558     |
|    | 201 | I25 | 41782                         | 42255                   | 3707            | -3966     |
|    | 200 | I24 | 38625                         | 39058                   | 2544            | -5042     |
|    | I99 | I23 | 36758                         | 36767                   | 3018            | -2618     |
|    | I98 | I22 | 33713                         | 33742                   | I425            | -4018     |
|    | I97 | I21 | 32683                         | 32050                   | 2500            | -3210     |
|    | I96 | I20 | 30289                         | 29020                   | 75              | -663      |
|    | I95 | II9 | 28784                         | 28151                   | I474            | -2544     |
|    | I94 | II8 | 25620                         | 25618                   | I423            | -1805     |
|    | I93 | II7 | 23658                         | 22868                   | 663             | -1851     |
|    | I92 | II6 | 20583                         | 20610                   | -743            | -2512     |
|    | I91 | II5 | 19015                         | 19487                   | I93             | -2742     |
|    | I90 | II4 | 16237                         | 17156                   | -699            | -3968     |
|    | I89 | II3 | 15132                         | 15443                   | 20              | -2912     |
|    | I88 | II2 | 12642                         | 12736                   | -2027           | -525      |
|    | I87 | III | II999                         | II798                   | -I418           | -3078     |
|    | I86 | II0 | 9807                          | 9973                    | -II35           | -9526     |
|    | I85 | I09 | 9617                          | 7859                    | -2140           | -416      |
|    | I84 | I08 | 7743                          | 7739                    | -3971           | 523       |
|    | I83 | I07 | 8006                          | 6274                    | -2912           | I415      |
|    | I82 | I06 | 6491                          | 6616                    | -5006           | 354       |
|    | I81 | I05 | 7220                          | 5926                    | 2447            | I704      |
|    | I80 | I04 | 6075                          | 6561                    | 3319            | 2512      |
|    | I79 | I03 | 7240                          | 6097                    |                 |           |
|    | I78 | I02 | 6498                          |                         |                 |           |
| 77 | 202 | I25 | 40969                         | 41490                   | 4448            | -3270     |
|    | 201 | I24 | 38067                         | 38548                   | 3283            | -3707     |
|    | 200 | I23 | 36457                         | 36514                   | 3755            | -2544     |
|    | I99 | I22 | 33672                         | 33749                   | 2161            | -3018     |
|    | I98 | I21 | 32902                         | 32317                   | 3235            | I425      |
|    | I97 | I20 | 30771                         | 29550                   | 809             | -2500     |
|    | I96 | II9 | 29530                         | 28945                   | 2207            | -75       |
|    | I95 | II8 | 26631                         | 26677                   | 2154            | I474      |
|    | I94 | II7 | 24937                         | 24195                   | I394            | -I423     |
|    | I93 | II6 | 22130                         | 22205                   | -14             | -663      |
|    | I92 | II5 | 20833                         | 21353                   | 921             | 743       |

| $Z$       | $A$ | $N$ | M - A по<br>Камерону | M - A<br>НОВОЕ в<br>Кэв | Энергия распада<br>в Кэв |              |
|-----------|-----|-----|----------------------|-------------------------|--------------------------|--------------|
|           |     |     | в Кэв                | Кэв                     | $\beta^-$                | $e^-$ -захв. |
|           | I91 | II4 | 18327                | 19294                   | 28                       | -I93         |
|           | I90 | II3 | 17496                | 17855                   | 746                      | 699          |
|           | I89 | II2 | 15281                | 15423                   | -I302                    | -20          |
|           | I88 | III | 14916                | 14763                   | -694                     | 2027         |
|           | I87 | II0 | 13002                | 13216                   | -2355                    | I418         |
|           | I86 | I09 | 13094                | 13051                   | -I416                    | 3078         |
|           | I85 | I08 | 11502                | 11666                   | -3250                    | I440         |
|           | I84 | I07 | 12049                | 11830                   | -2192                    | 3971         |
|           | I83 | I06 | 10820                | 10651                   | -4287                    | 2912         |
|           | I82 | I05 | 11836                | 11280                   | -3546                    | 5006         |
| <i>Pt</i> |     |     |                      |                         |                          |              |
| 78        | 205 | I27 | 46318                | 46613                   | 5730                     |              |
|           | 204 | I26 | 40932                | 41723                   | 2582                     |              |
|           | 203 | I25 | 38755                | 39727                   | 3016                     |              |
|           | 202 | I24 | 36110                | 37042                   | I850                     | -4448        |
|           | 201 | I23 | 34757                | 35265                   | 2322                     | -3283        |
|           | 200 | I22 | 32231                | 32759                   | 727                      | -3755        |
|           | I99 | I21 | 31722                | 31588                   | I800                     | -2161        |
|           | I98 | I20 | 29852                | 29082                   | -627                     | -3235        |
|           | I97 | II9 | 28875                | 28741                   | 769                      | -809         |
|           | I96 | II8 | 26241                | 26738                   | 716                      | -2207        |
|           | I95 | II7 | 24814                | 24523                   | -46                      | -2154        |
|           | I94 | II6 | 22275                | 22801                   | -I454                    | -I394        |
|           | I93 | II5 | 21248                | 22219                   | -521                     | I4           |
|           | I92 | II4 | 19014                | 20432                   | -I414                    | -921         |
|           | I91 | II3 | 18456                | 19266                   | -698                     | -28          |
|           | I90 | II2 | 16516                | I7109                   | -2747                    | -746         |
|           | I89 | III | 16427                | I6725                   | -2140                    | I302         |
|           | I88 | II0 | 14792                | I5457                   | -3801                    | 694          |
|           | I87 | I09 | 15163                | I5571                   | -2865                    | 2355         |
|           | I86 | I08 | 13852                | I4467                   | -4700                    | I416         |
|           | I85 | I07 | 14684                | I4916                   |                          | 3250         |
|           | I84 | I06 | 13740                | I4022                   |                          | 2192         |
|           | I83 | I05 | 15043                | I4938                   |                          | 4287         |
|           | I82 | I04 | 14476                | I4826                   |                          | 3546         |

| Z  | A   | N   | M - A по<br>Камерону<br>в КэВ | M - A<br>новое<br>в КэВ | Энергия распада |          |
|----|-----|-----|-------------------------------|-------------------------|-----------------|----------|
|    |     |     | Au                            | Hg                      | $\beta^-$       | e -захв. |
| 79 | 205 | I26 | 4073I                         | 40883                   | 3III            | -5730    |
|    | 204 | I25 | 38808                         | 39I4I                   | 3544            | -2582    |
|    | 203 | I24 | 364I8                         | 367II                   | 2377            | -30I6    |
|    | 202 | I23 | 35323                         | 35I92                   | 2848            | -I850    |
|    | 201 | I22 | 33054                         | 32943                   | I25I            | -2322    |
|    | 200 | I2I | 32805                         | 32032                   | 2323            | -727     |
|    | I99 | I20 | 3I197                         | 29788                   | -I05            | -I800    |
|    | I98 | II9 | 30482                         | 29709                   | I290            | 627      |
|    | I97 | II8 | 28II4                         | 27972                   | I236            | -769     |
|    | I96 | II7 | 26952                         | 26022                   | 473             | -7I6     |
|    | I95 | II6 | 24682                         | 24569                   | -936            | 46       |
|    | I94 | II5 | 23923                         | 24255                   | -4              | I454     |
|    | I93 | II4 | 2I96I                         | 22740                   | -898            | 52I      |
|    | I92 | II3 | 2I675                         | 2I846                   | -I83            | I4I4     |
|    | I9I | II2 | 200I0                         | I9964                   | -2232           | 698      |
|    | I90 | III | 20I97                         | I9856                   | -I626           | 2747     |
|    | I89 | II0 | 18839                         | I8865                   | -3289           | 2I40     |
|    | I88 | I09 | I9489                         | I9258                   | -2354           | 380I     |
|    | I87 | I08 | I8460                         | I8436                   | -4I88           | 2865     |
|    | I86 | I07 | I9574                         | I9I67                   | -3I3I           | 4700     |
| 80 | 208 | I28 | 47405                         | 47099                   | 3335            |          |
|    | 207 | I27 | 43953                         | 43647                   | 40I8            |          |
|    | 206 | I26 | 3907I                         | 3926I                   | 867             | -6260    |
|    | 205 | I25 | 3740I                         | 37772                   | I299            | -3III    |
|    | 204 | I24 | 35266                         | 35597                   | I3I             | -3544    |
|    | 203 | I23 | 34427                         | 34334                   | 60I             | -2377    |
|    | 202 | I22 | 324I7                         | 32344                   | -996            | -2848    |
|    | 20I | I2I | 32427                         | 3I692                   | 74              | -I25I    |
|    | 200 | I20 | 3I080                         | 29709                   | -2354           | -2323    |
|    | I99 | II9 | 30628                         | 29893                   | -960            | I05      |
|    | I98 | II8 | 28523                         | 284I9                   | -I0I6           | -I290    |
|    | I97 | II7 | 27628                         | 26736                   | -I779           | -I236    |
|    | I96 | II6 | 25624                         | 25549                   | -3I90           | -473     |
|    | I95 | II5 | 25I35                         | 25505                   | -2258           | 936      |

| Z         | A   | N   | M - А по<br>Камерону<br>в КэВ | M - А<br>НОВОЕ<br>в КэВ | Энергия распада<br>в КэВ |          |
|-----------|-----|-----|-------------------------------|-------------------------|--------------------------|----------|
|           |     |     |                               |                         | $\beta^-$                | e -захв. |
|           | I94 | II4 | 23442                         | 24259                   | -3154                    | 4        |
|           | I93 | II3 | 23429                         | 23638                   | -2439                    | 898      |
|           | I92 | II2 | 22037                         | 22029                   | -4490                    | 183      |
|           | I91 | III | 22499                         | 22196                   | -3885                    | 2232     |
|           | I90 | II0 | 21418                         | 21482                   | -5549                    | 1626     |
|           | I89 | I09 | 22347                         | 22154                   | -4614                    | 3289     |
|           | I88 | I08 | 21598                         | 21612                   |                          | 2354     |
|           | I87 | I07 | 22993                         | 22624                   |                          | 4188     |
|           | I86 | I06 | 22617                         | 22298                   |                          | 3131     |
| <i>Te</i> |     |     |                               |                         |                          |          |
| 81        | 210 | I29 | 51621                         | 51628                   | 4947                     | -3979    |
|           | 209 | I28 | 46959                         | 46966                   | 3238                     | -5044    |
|           | 208 | I27 | 43757                         | 43764                   | 3919                     | -3335    |
|           | 207 | I26 | 39126                         | 39629                   | 767                      | -4018    |
|           | 206 | I25 | 37710                         | 38394                   | II99                     | -867     |
|           | 205 | I24 | 35829                         | 36473                   | 29                       | -1299    |
|           | 204 | I23 | 35246                         | 35466                   | 498                      | -131     |
|           | 203 | I22 | 33493                         | 33733                   | -II01                    | -601     |
|           | 202 | I21 | 33762                         | 33340                   | -31                      | 996      |
|           | 201 | I20 | 32676                         | 31618                   | -2460                    | -74      |
|           | 200 | II9 | 32485                         | 32063                   | -I068                    | 2354     |
|           | I99 | II8 | 30644                         | 30853                   | -II24                    | 960      |
|           | I98 | II7 | 30014                         | 29435                   | -I889                    | I016     |
|           | I97 | II6 | 28277                         | 28515                   | -3300                    | I779     |
|           | I96 | II5 | 28056                         | 28739                   | -2369                    | 3190     |
|           | I95 | II4 | 26633                         | 27763                   | -3266                    | 2258     |
|           | I94 | II3 | 26891                         | 27413                   | -2552                    | 3154     |
|           | I93 | II2 | 25772                         | 26077                   | -4604                    | 2439     |
|           | I92 | III | 26509                         | 26519                   | -4000                    | 4490     |
|           | I91 | II0 | 25704                         | 26081                   | -5664                    | 3885     |
| <i>Pb</i> |     |     |                               |                         |                          |          |
| 82        | 208 | I26 | 38912                         | 39845                   |                          | -3919    |
|           | 207 | I25 | 37748                         | 38862                   |                          | -767     |

| Z | A   | N   | M - A по<br>Камерону<br>в КэВ | M - A<br>новое<br>в КэВ | Энергия распада |          |
|---|-----|-----|-------------------------------|-------------------------|-----------------|----------|
|   |     |     |                               |                         | $\beta^-$       | e- захв. |
|   | 206 | I24 | 36I2I                         | 37I95                   |                 | -II99    |
|   | 205 | I23 | 35794                         | 36444                   |                 | -29      |
|   | 204 | I22 | 34298                         | 34968                   |                 | -498     |
|   | 203 | I2I | 34826                         | 34834                   |                 | II0I     |
|   | 202 | I20 | 33999                         | 3337I                   |                 | 3I       |
|   | 20I | II9 | 34070                         | 34078                   |                 | 2460     |
|   | 200 | II8 | 32492                         | 33I3I                   |                 | I068     |
|   | I99 | II7 | 32I26                         | 3I977                   |                 | II24     |
|   | I98 | II6 | 30656                         | 3I324                   |                 | I889     |
|   | I97 | II5 | 30702                         | 3I8I5                   |                 | 3300     |
|   | I96 | II4 | 29548                         | 3II08                   |                 | 2369     |
|   | I95 | II3 | 30077                         | 3I029-                  |                 | 3266     |
|   | I94 | II2 | 29230                         | 29965                   |                 | 2552     |
|   | I93 | III | 3024I                         | 3068I                   |                 | 4604     |
|   | I92 | II0 | 297I2                         | 305I9                   |                 | 4000     |
|   | I9I | I09 | 3II95                         | 3I745                   |                 | 5664     |

А.К.Лаврухина, Г.М.Колесов

ИЗУЧЕНИЕ ВЫХОДОВ ИЗОТОПОВ РЕДКОЗЕМЕЛЬНЫХ ЭЛЕМЕНТОВ,  
ОБРАЗУЮЩИХСЯ ПРИ ОБЛУЧЕНИИ САМАРИЯ ПРОТОНАМИ С ЭНЕРГИЕЙ

660 МЭВ

Ранее было показано, что выходы изотопов редкоземельных элементов цериевой группы, образующихся при расщеплении европия<sup>/1/</sup>, значительно выше сечений их образования из гафния<sup>/2/</sup> или тантала<sup>/3/</sup>, что и послужило основой для разработки метода получения нейтронодефицитных изотопов элементов цериевой группы из облученного самария<sup>/4/</sup>, как наиболее доступной и дешевой редкой земли. В настоящем сообщении приводятся полученные результаты радиохимического исследования.

Окись самария в количестве 100–200 мг, содержащая по данным спектрального анализа кроме основного компонента ~0,5%  $\text{Eu}_2\text{O}_3$ , <0,01%  $\text{Yd}_2\text{O}_3$  и по 0,01–0,05%  $\text{Cu}, \text{Al}, \text{Fe}, \text{Si}, \text{Mg}$ , облучалась в пакете из алюминиевой фольги в течение 45–60 мин. во внутреннем пучке протонов с энергией 660 Мэв на синхроциклотроне Объединенного института ядерных исследований. Отделение вещества мишени от образовавшихся радиоактивных изотопов редких земель осуществлялось электролизом с ртутным катодом<sup>/4/</sup>, а их последующее разделение – хроматографическим методом (рис. I).

Из каждой фракции отбирались капли с максимальной активностью и производилось их измерение на установке Б-2 со счетчиком МСТ-17, на магнитном анализаторе, на  $\text{CsI}(\text{Fe})$ -сцинтилляционном счетчике с кристаллом  $\text{CsI}(\text{Fe})$  и на 100-канальном сцинтилляцион-

ном  $\gamma$ -спектрометре. На установке с торцовым счетчиком образцы измерялись в течение 3-24-х месяцев; ошибка счета не превышала  $\pm 3 - 5\%$ . Радиоизотопы редких земель идентифицировались по периодам полураспада, энергиям излучения, определяемым по поглощению в алюминии и на  $\gamma$ -спектрометре (рис.2), а также по типу распада (например, рис.3).

Сечения образования изотопов рассчитывались как и в работе /5/, число актов распада электронозахватных изотопов определялось по  $L$ -излучению, сопровождающему К-захват /6/, и в некоторых случаях с помощью  $4\pi$ -сцинтилляционного счетчика /7/. Ошибка в определении выходов составляла  $\sim 50\%$ . Выход  $Pr^{134}$  рассчитывался по активности дочернего  $Ce^{134}$ , выход  $Sm^{142}$  - в предположении, что позитронный распад составляет 10%. При определении выходов  $Ce^{132}$ ,  $Nd^{139}$ ,  $Nd^{140}$  учитывался вклад дочерних изотопов /8/, образующихся в процессе измерения образцов. При расчете выходов  $La^{132}$ ,  $Pr^{139}$  был учтен вклад соседних изобар; для изотопов  $Ce^{132}$ ,  $Nd^{139}$ ,  $Nd^{140}$  изобары с  $Z + 1$  не известны и поэтому их вклад оценить не удалось.

Мониторирование пучка протонов осуществлялось по активности  $Na^{24}$  из алюминиевой фольги; сечение реакции  $Ae^{27}(\mu, 3\rho p)$   $Na^{24}$  принималось равным 10 мбарн.

На основании экспериментальных данных, приведенных в таблице I и интерполированных - полученных из карты изотопов в координатах  $N, Z$  - построены кривые распределения выходов для каждого определяемого элемента по их массовым числам (рис.4). Куполообразное распределение наблюдается только у церия и празеодима; для

других элементов получена только правая ветвь этих куполов, что объясняется, по-видимому, отсутствием сведений об изотопах с большим недостатком нейтронов. Максимум выходов приходится на  $Ce^{132}$ ,  $Ce^{134}$ ,  $Pd^{137}$ ,  $Nd^{139}$ ,  $Pr^{141}$ ,  $Sm^{142}$  и для ядер с  $\Delta z = (z_{\text{исход.}} - z_{\text{продукта}}) \leq 3$  составляет  $\sim 65$  мбарн.

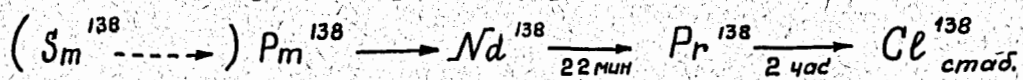
Выход изотопов с  $\Delta z > 3$  заметно снижается (рис. 4, табл. 2). Из кривых рис. 4 можно дополнитель но получить сведения еще о 15 радиоактивных и 14 стабильных изотопах; а куполообразный характер распределения позволяет предсказать выход более легких, пока неизвестных изотопов.

Кривая зависимости кумулятивных выходов изобар от  $A$  представлена на рис. 5, из которого видно, что максимальный выход приходится на массовые числа 138-146 и составляет для каждого  $A$  в этой области  $\sim 50$ -130 мбарн.

Суммарное сечение образования изотопов редкоземельных элементов, как следует из таблицы 2, равно  $\sim 1$  барн, т.е. 57% от геометрического сечения ядра. Изотопы с недостатком нейтронов составляют 76% от суммы выходов всех образующихся изотопов редких земель; вклад стабильных и нейтронизбыточных ядер равен 18 и 6% соответственно.

Следует также отметить, что во фракции лантана осталась неидентифицированной активность, возрастающая с периодом  $\sim 2$  часа. Возможно это  $Ba^{129}$  - дочерний продукт нового изотопа  $La^{129}$ .

Во фракции неодима через 11 часов после облучения обнаружена активность с  $T = \sim 25$  мин. Если это  $Nd^{138}$  (период полураспада по данным таблицы изотопов /9/ равен 22 мин.), то должны существовать изотопы (самария) и прометия, распадающиеся по цепочке:



Во фракции самария через 8,6 час. обнаружена активность с  $T = 15-20$  мин; может быть это  $Sm^{143}$ , полученный при распаде нового изотопа  $Eu^{143}$ .

Таблица I

Экспериментальные данные о радиоактивных изотопах  
редкоземельных элементов, образующихся при расщеплении самария

| Z  | Изотоп<br>A                          | Период полу-<br>распада | Тип рас-<br>пада  | Энергия   |                                       | Сечение<br>образова-<br>ния<br>мбарн. |
|----|--------------------------------------|-------------------------|-------------------|-----------|---------------------------------------|---------------------------------------|
|    |                                      |                         |                   | $\beta^+$ | $\beta^-$<br>излуче-<br>ния х)<br>Мэв |                                       |
| I  | 2                                    | 3                       | 4                 | 5         | 6                                     |                                       |
| 57 | $La^{131}$                           | 1 час.                  | $\beta^+$         |           |                                       |                                       |
|    | $La^{132}$                           | 4,6 час.                | $\beta^+$         | 3,4       | 515                                   | II                                    |
|    | $La^{135}$                           | 19 час.                 | $\alpha, \beta^+$ |           | 40,93,<br>224,306                     | 3                                     |
|    | $La^{140}$                           | 39 "                    | $\beta^-$         | 1,4       | 175                                   | 0,15                                  |
| 58 | $Ce^{132}$                           | 4 час.                  | $\beta^+$         | 3,0       |                                       | 3                                     |
|    | $Ce^{133}, Ce^{137}$                 | 9 час.                  | $\alpha, \beta^+$ |           | 662                                   |                                       |
|    | $Ce^{134}$                           | 71 "                    | $\alpha, \beta^+$ | 510       |                                       | 21                                    |
|    | $Ce^{135}$                           | 19,5 час.               | $\alpha, \beta^+$ | 0,6       | 217,277                               |                                       |
|    | $Ce^{139}$                           | 140 дн.                 | $\alpha, \beta^+$ |           | 810,1020<br>185                       | 3,4                                   |
| 59 | $P_{\gamma}^{134}$                   | 1 час.                  | $\beta^+$         |           |                                       | 2,9                                   |
|    | $P_{\gamma}^{136}, P_{\gamma}^{137}$ | 1,4 час.                | $\alpha, \beta^+$ |           | 80,305,<br>510,700,                   |                                       |
|    | $P_{\gamma}^{139}$                   | 4,2 "                   | $\alpha, \beta^+$ | 0,97      | 810,1060                              | I2                                    |
|    | $P_{\gamma}^{142}$                   | 18 "                    | $\beta^-$         | 2,3       |                                       | 2                                     |
|    | $P_{\gamma}^{143}$                   | 132 дн.                 | $\beta^-$         |           |                                       | 0,9                                   |
| 60 | $Nd^{138}$                           | 25 мин.                 | $\alpha, \beta^+$ |           |                                       |                                       |
|    | $Nd^{139}$                           | 6,3 часа                | $\alpha, \beta^+$ | 3,5       | 78,970 ?                              | 64                                    |
|    | $Nd^{140}$                           | 3,4 дн.                 | $\alpha, \beta^+$ |           |                                       | 40                                    |
|    | $Nd^{141}$                           | 2,2 час.                | $\alpha, \beta^+$ | 0,6       |                                       |                                       |
|    | $Nd^{147}$                           | 12 дн.                  | $\beta^-$         | 0,7       | 190,300,<br>510,690                   | 2                                     |

|    | I           | II                        | III                               | IV                                      | V                                       | VI                                      |
|----|-------------|---------------------------|-----------------------------------|---|---|---|
| 61 | Pm I41      | после 1 минуты<br>30 мин. | излучение $\beta^+$ с ослаблением | также излучение $\beta^+$ с ослаблением | также излучение $\beta^+$ с ослаблением | также излучение $\beta^+$ с ослаблением |
|    | Pm I45      | после 17 дн.              | $\beta^+$ с ослаблением 0,6       | также излучение $\beta^+$ с ослаблением | также излучение $\beta^+$ с ослаблением | также излучение $\beta^+$ с ослаблением |
|    | Pm I46      | 325 "                     | $\beta^-$                         | также излучение $\beta^-$               | также излучение $\beta^-$               | также излучение $\beta^-$               |
|    | Pm I47      | 2,2 года                  | $\beta^-$                         | также излучение $\beta^-$               | также излучение $\beta^-$               | также излучение $\beta^-$               |
|    | Pm I48      | 49 дн.                    | $\beta^-$                         | также излучение $\beta^-$               | также излучение $\beta^-$               | также излучение $\beta^-$               |
|    | Pm I48      | 5,1 дн.                   | $\beta^-$                         | также излучение $\beta^-$               | также излучение $\beta^-$               | также излучение $\beta^-$               |
|    | Pm I49      | 47 час                    | $\beta^-$                         | также излучение $\beta^-$               | также излучение $\beta^-$               | также излучение $\beta^-$               |
|    | Pm I51      | "                         | $\beta^-$                         | также излучение $\beta^-$               | также излучение $\beta^-$               | также излучение $\beta^-$               |
|    | Pm I50      | 24 "                      | $\beta^-$                         | также излучение $\beta^-$               | также излучение $\beta^-$               | также излучение $\beta^-$               |
|    | Pm I53 ?    | 35, 36, 37, 38, 39, 40    | $\beta^-$                         | также излучение $\beta^-$               | также излучение $\beta^-$               | также излучение $\beta^-$               |
| 62 | Sm I42      | 73 мин                    | 9.3, $\beta^+$                    | также излучение $\beta^+$               | также излучение $\beta^+$               | также излучение $\beta^+$               |
|    | Sm I45      | 340 дн.                   | 9.3, $\beta^-$                    | также излучение $\beta^-$               | также излучение $\beta^-$               | также излучение $\beta^-$               |
|    | Sm I58      | 31 47 час                 | $\beta^-$                         | также излучение $\beta^-$               | также излучение $\beta^-$               | также излучение $\beta^-$               |
|    | Sm          | "                         | 0,75                              | также излучение 0,75                    | также излучение 0,75                    | также излучение 0,75                    |
| 63 | Eu I44      | 20 мин                    | также излучение                   | также излучение                         | также излучение                         | также излучение                         |
|    | Eu I45, I46 | 5,1 дн.                   | также излучение                   | также излучение                         | также излучение                         | также излучение                         |
|    | Eu I47, I48 | 42,5 "                    | также излучение                   | также излучение                         | также излучение                         | также излучение                         |
|    | I50         | I4,5 час                  | также излучение                   | также излучение                         | также излучение                         | также излучение                         |
|    | Eu I52      | 10 "                      | также излучение                   | также излучение                         | также излучение                         | также излучение                         |

x) Среднее значение из 5-6 опытов

2 опыта.

Таблица 2

Содержание изотопов редкоземельных элементов в продуктах расщепления самария

| Элемент   | атомный номер Z | сече-<br>ние обра-<br>зования изо-<br>топов, мбарн | Сечение образования изотопов, мбарн |       |           |
|-----------|-----------------|--|-------------------------------------|-------|-----------|
|           |                 |  | $\beta^+$                           | стаб. | $\beta^-$ |
| лантан    | 57              | 43,1   | 0,7                                 | 0,2   | 44        |
| церий     | 58              | 62,4   | 17,8                                | —     | 80,2      |
| празеодим | 59              | 105  | 4                                   | 2,9   | III,9     |
| неодим    | 60              | 168  | 47,5                                | 2     | 217,5     |
| прометий  | 61              | 194  | —                                   | 44    | 238       |
| самарий   | 62              | 195  | 113                                 | II,5  | 319,5     |
| Всего:    | 6               | 767,5  | 183,0                               | 60,6  | 1011,1    |
|           | %               | 76   | 18                                  | 6     | 100       |

Активность с периодом полураспада ~ 80 мин во фракции европия можно объяснить либо примесь  $Sm^{142}$ , либо новым изотопом  $Eu^{143}$ .

Активность во фракции прометия, спадающая с периодом 13,5 час возможно относится к  $Pm^{153}$ , т.к. вычисленное сечение этого изотопа удовлетворительно укладывается на кривой распределения выходов по массовым числам (рис.4).

## Выводы

1. При расщеплении самария с энергией 660 Мэв образовавшиеся нейтронодефицитные изотопы составляют 76% от общего сечения образования изотопов редких земель. Установленный характер распределения выходов каждого элемента по их массовым числам дает возможность предсказать выход еще неизвестных, самых легких изотопов и оценить изотопный состав редких земель.

2. Сечения образования радиоизотопов редкоземельных элементов цериевой группы в 10-30 раз превышают сечения их образования из гафния или тантала. Кумулятивный выход для каждого A в области массовых чисел 138-146 составляет 50-130 мбарн, что может служить основой для получения высокоактивных препаратов, пригодных для целей ядерной спектроскопии.

3. Высказано предположение об образовании новых изотопов  $\text{La}^{129}$ ,  $\text{Pm}^{138}$ , ( $\text{Pm}^{153}$ ) и  $\text{Eu}^{143}$ .

Пользуемся случаем, чтобы поблагодарить Тан Сяо-ен и Т.И.Холодковскую за помощь в работе.

Институт Геохимии и Аналитической химии имени

В.И.Вернадского Академии наук СССР

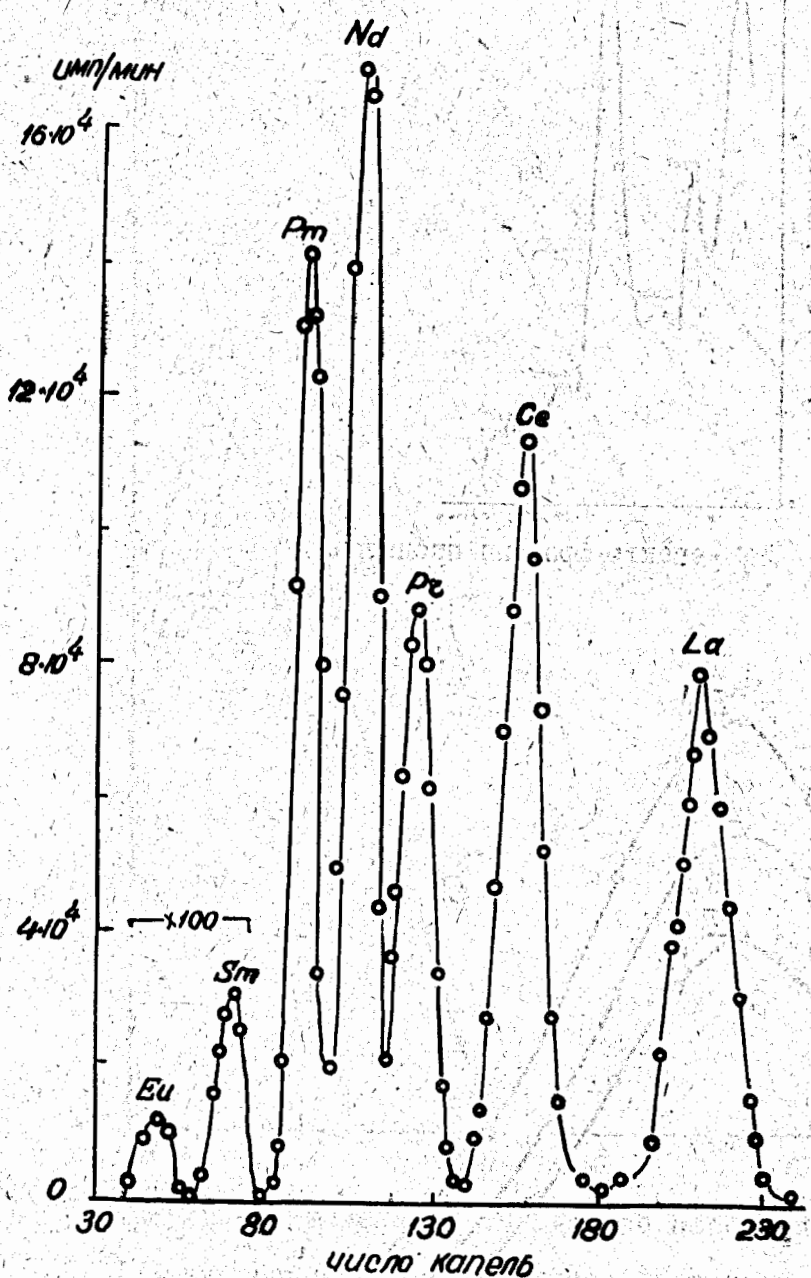


Рис. I Выходная кривая хроматографического разделения редкоземельных элементов, образующихся при расщеплении самария.

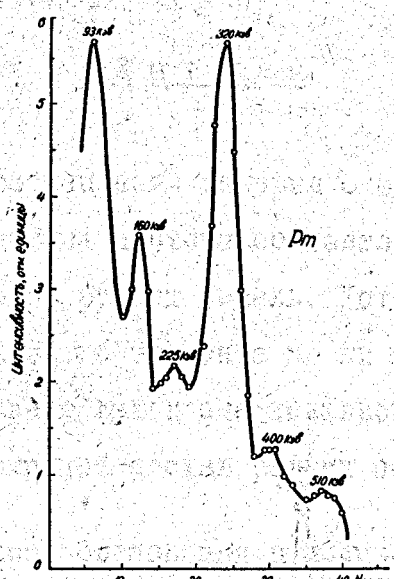
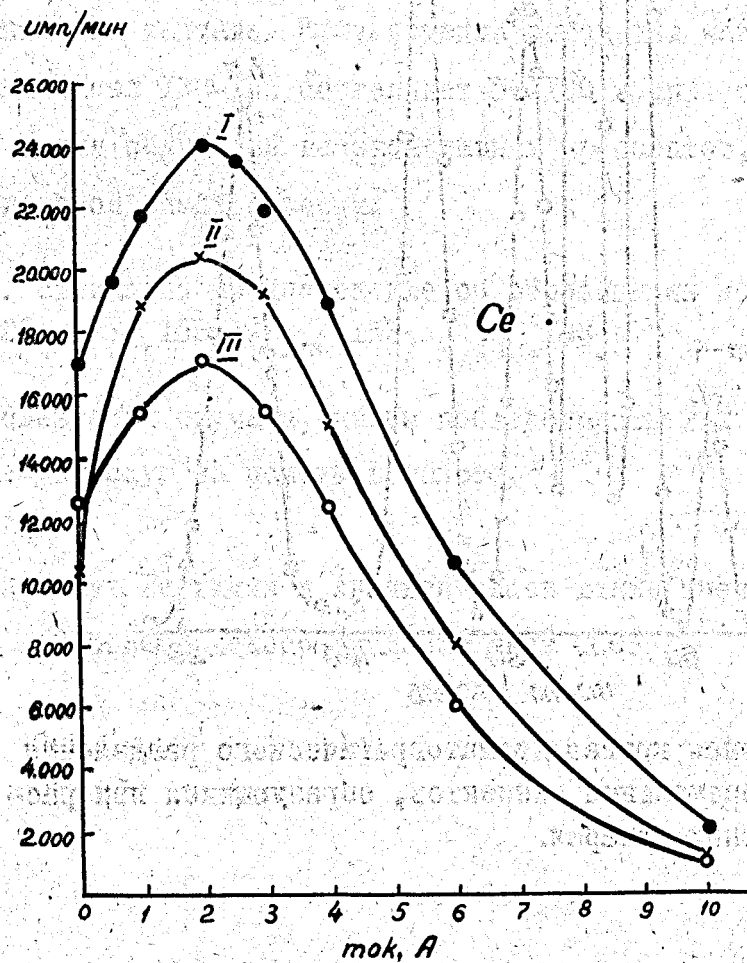
Рис.2  $\gamma$ -спектр фракции прометия.

Рис.3 Позитронный спектр фракции церия. Кривые I, II, III получены при измерении через определенные промежутки времени.

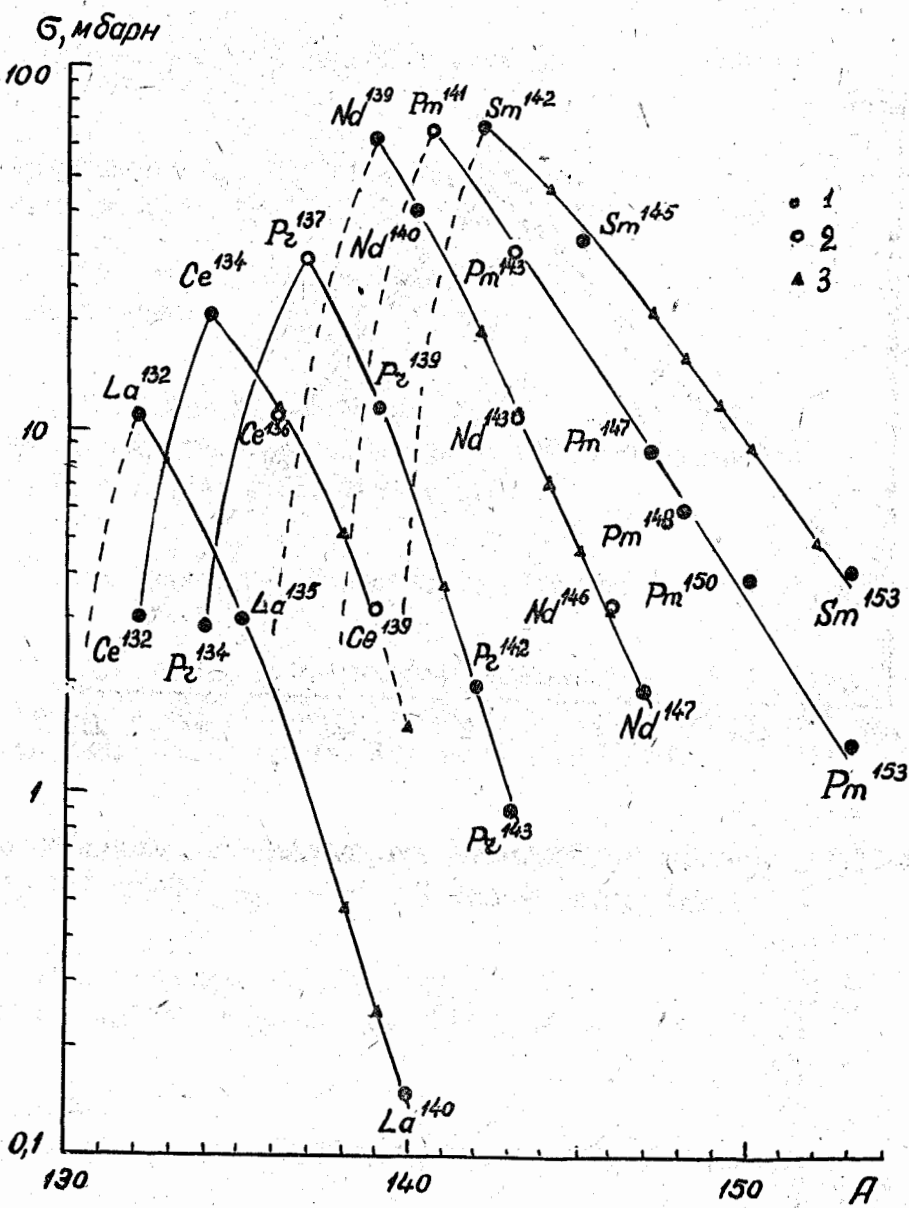


Рис. 4 Кривые распределения выходов по массовым числам:  
1 - экспериментальные данные; 2 - интерполированные  
данные; 3 - стабильные ядра.

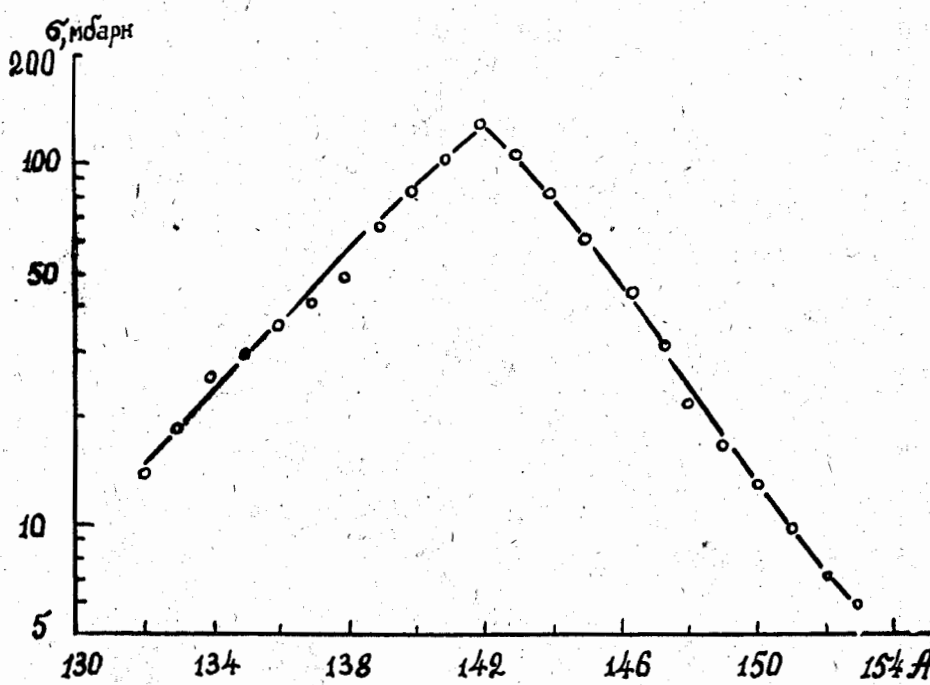


Рис.5 Кривая зависимости кумулятивного выхода изобар от массовых чисел.

Цитированная литература

1. Лаврухина А.К., Г.М. Колесов, Тан Сяо-ен  
Изв. АН СССР, сер. физ. 24, III З (1960).
2. А.К. Лаврухина, А.А. Поздняков.  
Атомная энергия, 7, 332 (1959).
3. В.И. Барановский, А.Н. Мурин, Б.К. Преображенский.  
Материалы третьего совещания по нейтронодефицитным изотопам,  
ОИЯИ, г. Дубна, 1961, том 2, стр. 87.
4. А.К. Лаврухина, Г.М. Колесов, Тан Сяо-ен. Там же, стр. I33.
5. А.П. Виноградов, И.В. Алимарин, В.И. Баранов, А.К. Лаврухина и др.  
Сессия АН СССР по мирному использованию атомной энергии,  
заседание ОХН, стр. 97, Изд-во АН СССР, 1955.
6. Т.В. Малышева, И.П. Алимарин. Ж. Экспериментальной и теорети-  
ческой физики, 35, II 03 (1958).
7. В.И. Барановский, Г.М. Городинский.  
Изв. АН СССР, сер. физ. 24, ЗIЗ (1960).
8. А.Н. Мурин.  
Введение в радиоактивность, Изд-во ЛГУ, 1955, гл. 3
9. D. Strominger, J.M. Hollander, G.T. Seaborg.  
Reviews of Modern Physics, 30, n.2 (1958).